

Вінницький національний технічний університет

(повне найменування вищого навчального закладу)

Факультет машинобудування та транспорту

(повне найменування інституту, факультету (поділів))

Кафедра технологій та автоматизації машинобудування

(точна назва кафедри (предмету), підгалузі)

МАГІСТЕРСЬКА КВАЛІФІКАЦІЙНА РОБОТА

на тему:

**«УДОСКОНАЛЕННЯ КОНСТРУКЦІЙ ТА ТЕХНОЛОГІЧНОГО ПРОЦЕСУ
ОБРОБКИ ЗАГОТОВКИ ДЕТАЛІ «РОБОЧА СЕКЦІЯ
ГІДРОРОЗПОДІЛЬНИКА»»**

08-64.МКР.017.00.000 ПЗ

Виконав: студент 2-го курсу, групи 2ПМ-22м
спеціальності 131 – Прикладна механіка

(ім'я, прізвище, післям'я, спеціальність)

Орленко В.Р.

(прізвище та ініціали)

Керівник к.т.н., доц. каф. ТАМ

Піонткевич О.В.

(прізвище та ініціали)

«07» грудня 2023 р.

Опонент: к.т.н., доц. каф. АТМ

Романюк С.О.

(прізвище та ініціали)

«14» грудня 2023 р.

Допущено до захисту

Завідувач кафедри ТАМ

д.т.н., проф. Козлов Л.Г.

(прізвище та ініціали)

«15» грудня 2023 р.

Вінницький національний технічний університет
Факультет Машинобудування та транспорту
Кафедра Технології та автоматизації машинобудування
Рівень вищої освіти II-й (магістерський)
Галузь знань – 13- Механічна інженерія
Спеціальність – 131- Прикладна механіка
Освітньо-професійна програма – Технології машинобудування

ЗАТВЕРДЖУЮ
Зав. кафедри ТАМ
д.т.н., проф. Л.Г. Козлов



(підпис)

«16» жовтня 2023 р.

З А В Д А Н И Я
НА МАГІСТЕРСЬКУ КВАЛІФІКАЦІЙНУ РОБОТУ СТУДЕНТУ

Орленко Вадим Русланович
(прізвище, ім'я, по батькові)

1. Тема роботи «Удосконалення конструкції та технологічного процесу обробки заготовки деталі «Робоча секція гідророзподільника»
керівник роботи к.т.н., доц. кафедри ТАМ Піонткевич О.В.
затверджені наказом вищого навчального закладу від 18.09.2023 року №274

2. Строк подання студентом роботи 15 грудня 2023 року

3. Вихідні дані до роботи: робоче креслення деталі «Робоча секція гідророзподільника», тривимірна модель аналога секційного гідророзподільника, максимальні робочі режими гідроприводу: подача робочої рідини 0,0016 м³/хв, робочий тиск 16 МПа.

4. Зміст текстової частини: огляд конструкцій та літературних джерел по дослідженню секційних гідророзподільників; розробка схеми гідроприводу мобільної робочої машини; аналіз розрахункової схеми та математичної моделі секційного гідроприводу та визначення його основних параметрів; удосконалення конструкції деталі «Робоча секція гідророзподільника»; розроблення нового технологічного процесу для його виготовлення; економічне обґрунтuvання розробки; охорона праці та безпека в надзвичайних ситуаціях при експлуатації секційних гідроприводів.

5. Перелік ілюстративного матеріалу (з точним зазначенням обов'язкових креслень): презентація із заявленими основними розрахунками та результатами роботи, креслення удосконаленої конструкції деталі «Робоча секція гідророзподільника» та плакат маршруту механічної обробки.

6. Консультанти розділів роботи

Розділ	Прізвище, ініціали та посада консультанта	Підпис, дата	
		завдання видає	виконав прийняв
Основна частина	к.т.н., доц. Піонткевич О. В.	16.10.2023	16.10.2023
Економічна частина	к.т.н., проф. Лесько О.Й.	16.10.2023	01.11.2023
Охорона праці та безпека в надзвичайних ситуаціях	д.пед.н., проф. Дембіцька С.В.	16.10.2023	16.10.2023

7. Дата видачі завдання 16 жовтня 2023 року

КАЛЕНДАРНИЙ ПЛАН

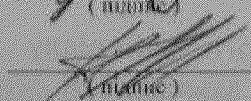
№ з/п	Назва етапів магістерської кваліфікаційної роботи	Строк виконання етапів роботи	Пр
1	Визначення об'єкту та предмету дослідження	20.10.2023	Вико
2	Аналіз відомих рішень, постановка задач	25.10.2023	Вико
3	Техніко-економічне обґрунтування методів досліджень	26.10.2023	Вико
4	Розв'язання поставлених задач	13.11.2023	Вико
5	Формування висновків по роботі, наукової новизни, практичної цінності результатів	20.11.2023	Вико
6	Виконання розділу «Охорона праці безпека в надзвичайних ситуаціях»	27.11.2023	Вико
7	Виконання розділу «Економічна частина»	04.12.2023	Вико
8	Перевірка роботи на plagiat	06.12.2023	Вико
9	Попередній захист МКР	07.12.2023	Вико
10	Нормоконтроль МКР	13.12.2023	Вико
11	Рецензування МКР	14.12.2023	Вико
12	Захист МКР	19.12.2023	Вико

Студент


Студент

В.Р. Орленко

Керівник роботи


Керівник

О.В. Піонткевич

АНОТАЦІЯ

УДК 621

Орленко В.Р. Удосконалення конструкції та технологічного процесу обробки заготовки деталі «Робоча секція гідророзподільника»: магістерська кваліфікаційна робота на здобуття освітньо-кваліфікаційного рівня «Магістр» за спеціальністю 43.03.01 «Прикладна механіка» / В. Р. Орленко. – Вінницький національний технічний університет. – Вінниця, 2023. 113 ст.

На укр. мові. Бібліогр.: 36 назв; рис.: 38; табл. 18.

Метою роботи є удосконалення конструкції та технологічного процесу виготовлення деталі «Робоча секція гідророзподільника» для зменшення місцевих втрат тиску в каналах секційного гідророзподільника.

Для досягнення поставленої мети проведено аналіз існуючих конструкцій та літературних джерел по секційним гідророзподільникам; розроблено схему гідроприводу мобільної робочої машини, розглянуто розрахункову схему та математичну модель з яких розраховані основні параметри деталі «Робоча секція гідророзподільника»; досліджено вплив ливарних радіусів деталі на місцеві втрати тиску в каналах секційного гідророзподільника; удосконалено його конструкцію і розроблено новий технологічний процес.

Отримала подальший розвиток методика імітаційного дослідження течій робочої рідини в каналах секційного гідророзподільника, що дозволило оцінити та зменшити місцеві втрати тиску.

В економічній частині роботи розраховані капітальні вкладення, собівартість механічної обробки заготовки деталі, термін окупності та економічний ефект. В роботі також розроблено заходи з охорони праці та безпеки у надзвичайних ситуаціях.

Графічна частина ілюстративно доповнює матеріали, які представлені в поясннювальній записці.

Ключові слова: секційний гідророзподільник, імітаційне моделювання, місцеві втрати тиску

ABSTRACT

Orlenko V.R. Improvement of the construction and technological process of processing the workpiece of the part "Working section of the hydraulic distributor": master's qualification work for the competition of the educational qualification level "Master" in specialty 131 "Applied mechanics" / V. R. Orlenko. – Vinnitsa National Technical University. Vinnitsa, 2023. 113 p.

In Ukrainian speech Bibliography: 35 titles; Fig.: 38; table 18.

The aim of the work is to improve the design and technological process of manufacturing the part "Working section of the hydraulic distributor" to reduce local pressure losses in the channels of the sectional hydraulic distributor.

To achieve the goal, an analysis of existing structures and literary sources on sectional hydraulic distributors was carried out, the scheme of the hydraulic drive of the mobile working machine was developed, the calculation scheme and mathematical model were considered, from which the main parameters of the part "Working section of the hydraulic distributor" were calculated; the influence of casting radii of the part on local pressure losses in the channel of the sectional hydraulic distributor was investigated; its design was improved and a new technological process was developed.

The method of simulating the flow of the working fluid in the channels of the sectional hydraulic distributor was further developed, which made it possible to estimate and reduce local pressure losses.

In the economic part of the work, capital investments, the cost of machining the workpiece of the part, the payback period and the economic effect are calculated. The work also developed measures for labor protection and safety in emergency situations.

The graphic part illustratively complements the materials presented in the explanatory note.

Key words: sectional hydraulic distributor, simulation modeling, local pressure losses

ЗМІСТ

ВСТУП.....	5
РОЗДІЛ 1 АНАЛІЗ РОЗВИТКУ ГІДРОРОЗПОДІЛЬНИКІВ СЕКЦІЙНОГО ТИПУ.....	7
1.1 Огляд розвитку конструкцій гідророзподільників секційного типу для гідроприводів робочих машин.....	7
1.2 Огляд робіт по дослідженню робочих процесів в гідророзподільниках.....	15
РОЗДІЛ 2 СХЕМА ГІДРОПРИВОДУ З РОБОЧОЮ СЕКЦІЄЮ ГІДРОРОЗПОДІЛЬНИКА ТА АНАЛІЗ ПРОЕКТНИХ ДОСЛІДЖЕНЬ....	19
2.1 Схема гідроприводу робочої машини з секційним гідророзподільником....	19
2.2 Аналіз проектних робіт по математичному моделюванню для гідроприводу мобільної робочої машини.....	21
2.3 Вплив параметрів деталі «Робоча секція гідророзподільника» на динамічні характеристики переходних процесів в гідроприводі робочої машини	26
РОЗДІЛ 3 УДОСКОНАЛЕННЯ КОНСТРУКЦІЇ СЕКЦІЙНОГО ГІДРОРОЗПОДІЛЬНИКА.....	35
3.1 Дослідження потоків робочої рідини через канали деталі «Робоча секція гідророзподільника».....	35
3.2 Конструкція удосконаленої деталі «Робоча секція гідророзподільника».....	51
РОЗДІЛ 4 РОЗРОБКА ТЕХНОЛОГІЧНОГО ПРОЦЕСУ ОБРОБКИ ДЛЯ УДОСКОНАЛЕНОЇ ЗАГОТОВКИ ДЕТАЛІ «РОБОЧА СЕКЦІЯ ГІДРОРОЗПОДІЛЬНИКА».....	54
4.1 Аналітичний огляд відомих маршрутів механічної обробки подібних деталей в умовах заданого типу виробництва.....	54
4.2 Розробка маршруту механічної обробки заготовки удосконаленої деталі «Робоча секція гідророзподільника».....	56
РОЗДІЛ 5 ЕКОНОМІЧНЕ ОБГРУНТУВАННЯ РОЗРОБКИ.....	60
5.1 Проведення наукового аудиту науково-дослідної роботи.....	60
5.2 Прогнозування витрат на виконання науково-дослідної роботи.....	62

5.3 Оцінювання важливості та наукової значимості науково-дослідної роботи фундаментального чи пошукового характеру.....	72
5.4 Розрахунок економічної ефективності науково-технічної розробки за її можливої комерціалізації потенційним інвестором.....	72
РОЗДІЛ 6 ОБОРОНА ПРАЦІ ТА БЕЗПЕКА В НАДЗВИЧАЙНИХ СИТУАЦІЯХ ПРИ УДОСКОНАЛЕНІ ДЕТАЛІ «РОБОЧА СЕКЦІЯ ГІДРОЗПОДІЛЬНИКА»	79
6.1 Технічні рішення з безпекного виконання робіт.....	79
6.2 Технічні рішення з гігієни праці та виробничої санітарії	82
6.2.1 Мікроклімат	82
6.2.2 Склад повітря робочої зони	83
6.2.3 Виробниче освітлення	84
6.2.4 Виробничий шум	85
6.2.5 Виробничі випромінювання	86
6.3 Дослідження безпеки роботи в умовах дії загрозливих факторів надзвичайних ситуацій хисту	87
6.3.1 Дія вогню на будівлі виробничих приміщень під час пожеж	87
6.3.2 Визначення кількості вогнегасників.....	89
6.3.3 Розробка превентивних заходів по підвищенню безпеки роботи в умовах дії надзвичайної ситуації.....	90
ВИСНОВКИ.....	91
СПИСОК ВИКОРИСТАНИХ ДЖЕРЕЛ.....	93
ДОДАТКИ.....	97
ДОДАТОК А – ПРОТОКОЛ ПЕРЕВІРКИ НАВЧАЛЬНОЇ (КВАЛІФІКАЦІЙНОЇ) РОБОТИ.....	98
ДОДАТОК Б – ІЛЮСТРАТИВНА ЧАСТИНА.....	99

ВСТУП

Актуальність теми дослідження. Мобільні робочі машини, що випускаються в Україні, на сьогоднішній день повномасштабно використовуються в будівництві, сільському господарстві та промисловості. Вони мають гарні показники по маневреності та продуктивності. Зазвичай основним виконавчим органом є стріла. Гідроприводи мобільних робочих машин в основному включають нерегульований гідронасос та моноблочні релейні гідророзподільники. Це призводить до того, що гідроприводи таких систем є мозально застарілим і не можуть забезпечувати якісні показники для мобільних робочих машин. А саме, відсутність регулювання швидкості в широких діапазонах.

Розроблені гідроприводи, що вирішують поставлені вище задачі також потребують удосконалення. Суттєвим їхнім недоліком може бути місцеві втрати тиску в гіdraulічних лініях. Тому задача удосконалення гідроприводу, а саме, деталі «Робоча секція гідророзподільника» для мобільної робочої машини є актуальною.

Мета та задачі роботи дослідження.

Метою роботи є удосконалення конструкції та технологічного процесу виготовлення деталі «Робоча секція гідророзподільника» для зменшення місцевих втрат тиску в каналах секційного гідророзподільника.

Для досягнення мети планується розв'язати такі задачі:

- провести аналіз існуючих секційних гідророзподільників та робіт над ними дослідженню;
- розробити схему гідроприводу мобільної робочої машини;
- використовуючи математичну модель визначити граничні умови для дослідження імітаційної моделі;
- дослідити вплив ливарних радіусів удосконалованої деталі на місцеві втрати тиску в каналах секційного гідророзподільника;
- розробити рекомендації по вибору ливарних радіусів;
- удосконалити конструкцію та технологічний процес виготовлення деталі «Робоча секція гідророзподільника».

Об'єкт дослідження – імітаційні процеси в конструкції деталі.

Предмет дослідження – деталь секційного гідророзподільника.

Методи дослідження. Імітаційне моделювання процесів в конструкції секційного гідророзподільника за допомогою програмного пакету SolidWorks Flow Simulation.

Наукова новизна одержаних результатів. Отримала подальший розвиток методика імітаційного дослідження течій робочої рідини в каналах секційного гідророзподільника, що дозволило оцінити та зменшити місцеві втрати тиску.

Практичне значення одержаних результатів. Результати кваліфікаційної роботи можуть бути впроваджені в виробництво з метою покращення технічних характеристик секційних гідророзподільників.

Вдалося зменшити масу заготовки на 36% та деталі «Робоча секція гідророзподільника» на 20% за рахунок удосконалення їх конструкції.

Розроблено рекомендації по вибору ливарних радіусів для удосконалення секційного гідророзподільника.

Особистий внесок магістра. Основні результати, розрахунки та залежності, що наведені у магістерській кваліфікаційній роботі, отримано самостійно.

Публікації: Трегубов В.О. Удосконалення конструкції секції гідророзподільника на основі інженерного аналізу / О.В. Трегубов, В.О. Никонайло, В.Р. Орленко // Міжнародна науково-практична інтернет-конференція «Молодь в науці: дослідження, проблеми, перспективи» (МН-2024). Вінниця: ВНТУ. – 2023. С. 3. Режим доступу: <https://conferences.vntu.edu.ua/index.php/mn/mn2024/paper/viewFile/19738/16344>

РОЗДІЛ 1 АНАЛІЗ РОЗВИТКУ ГІДРОРОЗПОДІЛЬНИКІВ СЕКЦІЙНОГО ТИПУ

1.1 Огляд розвитку конструкцій гідророзподільників секційного типу для гідроприводів робочих машин

Розглянемо деякі особливості конструкцій секційних гідророзподільників для робочих машин.

У праці [1] секційний гідророзподільник має декілька робочих секцій, одну переливну секцію та бокові кришки. Усі робочі секції за конструкцією, однакові для різних гідророзподільників (див. на рис. 1).

Секція складається з корпусу 1, в якому розміщений гідророзподільний золотник 2, блока регулятора із золотником 3, гільзи 4 і штовхача 5, а також механізму фіксації 6. Механізм фіксації включає поршень 7, шайбу 8, пружини 9 і 10 та шарики 11. Робоча секція має нагнітальну камеру 12, робочі камери 13 і 14, зливні камери 15 і 16, та канал 17.

Працює секційний гідророзподільник таким чином. Мінеральне оліва від насоса надходить до нагнітальної камери 12 і далі через гільзу 4, золотник 3 та канал 17 – до гідророзподільного золотника 2. При переміщенні гідророзподільного золотника 2 ліворуч мінеральна оліва через робочу камеру 13 буде надходити до гідродвигуна. Злив мінеральної оліви від гідродвигуна буде здійснюватися через робочу 14 і зливну 16 камери. При переміщенні гідророзподільного золотника 2 праворуч мінеральна оліва буде надходити до гідродвигуна через робочу камеру 14, а злив з гідродвигуна здійснюється через робочу 13 і зливну 15 камери. При переміщенні гідророзподільного золотника 2 в крайню ліву позицію канал 17 закривається від робочих камер 13 та 14 і мінеральна оліва до гідродвигуна від гідронасоса не підходить. Разом з тим, робочі камери 13 і 14 зв'язуються відповідно зі зливними камерами 15 і 16. Таким чином вхід і вихід гідродвигуна мають можливість з'єднання зі зливом, і буде діяти плаваючий режим роботи гідроприводу. Під час обератання штовхача 5 змінюється провідністю робочого

чина гільзи 4. Таким чином регулюється її величина потоку, що надходить від гідронасоса до гідродвигуна. Золотник 3 підтримує постійною величину потоку, що проходить через розглянуту секцію гідророзподільника. Перевагою цієї конструкції є наявність механізму фіксації 6 гідророзподільного золотника 2 в позиціях керування. Це відбувається за рахунок взаємодії профільного хвостовика гідророзподільного золотника 2 з шайбами 8, шариками 11 і поршнем 7. Недоліком цієї конструкції є її складність, що пов'язана з пристроєм регулятора.

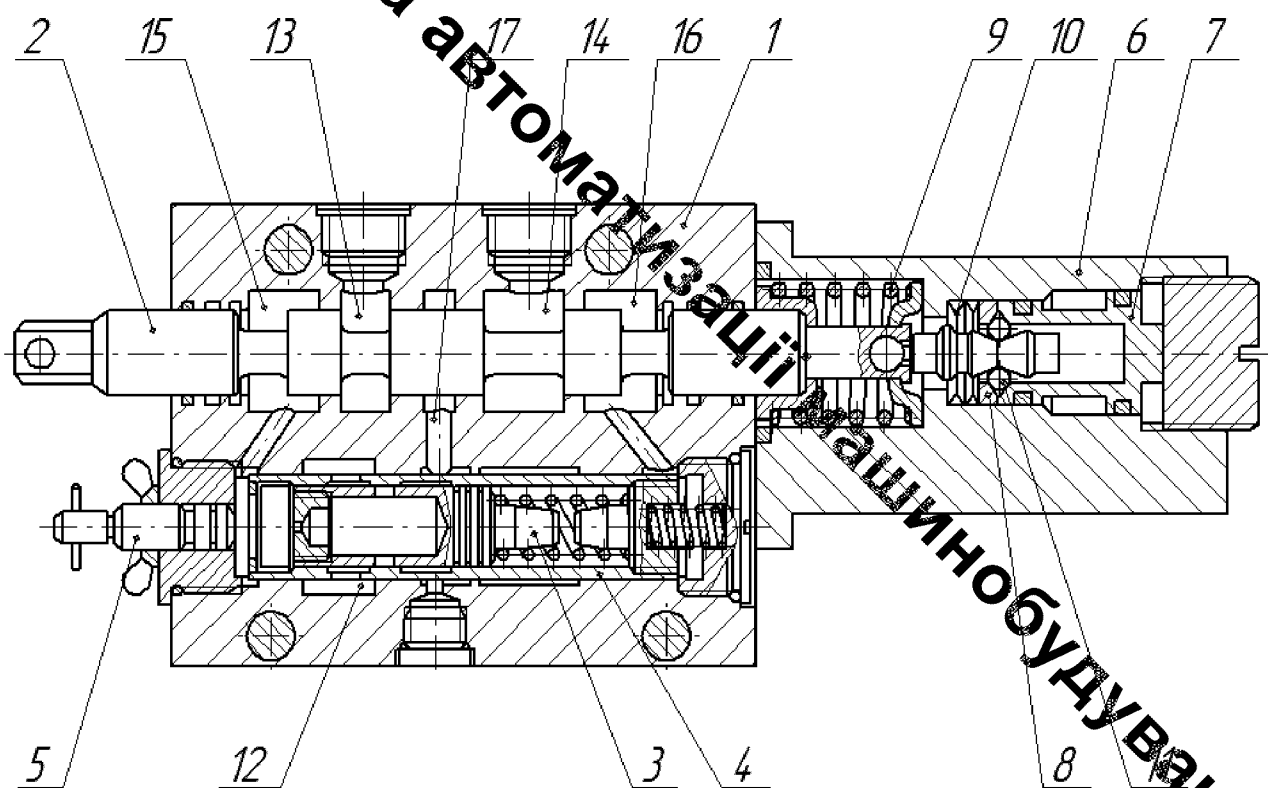


Рисунок 1.1 - Конструкція робочої секції секційного гідророзподільника розробленого в Вінницькому національному технічному університеті

У праці [2] подано конструкція секційного гідророзподільника фірми «Rexroth» (див. рис. 1.2). Він має спільні конструктивні риси з попередньо розглянутим секційним гідророзподільником (див. рис. 1.1). Важливим аспектом є серійність цього гідророзподільника і виготовлення литтям, що забезпечує можливість виготовити канали із спеціальними скругленнями, які зменшують вплив кавітаційних процесів на його роботу.

У металевому корпусі 1 в центрі знаходиться гідророзподільний золотник 2 та фіксуюча його нейтральному положенні пружина 3. До гідророзподільного золотника 2 підходить нагнітальна камера 4, робочі камери 5 та 6, зливні камери 7 та 8. Таким чином він забезпечує незалежне керування декількома гідродвигунами. Він має значне покращення характеристик через використання регулятора витрати. При цьому в нагнітальній гідролінії кожної із секцій встановлено зворотній клапан, пружинна камера якого через дренажну систему каналів з клапанами «АБО» з'єднуються з робочими гідролініями найбільш навантажених споживачів.

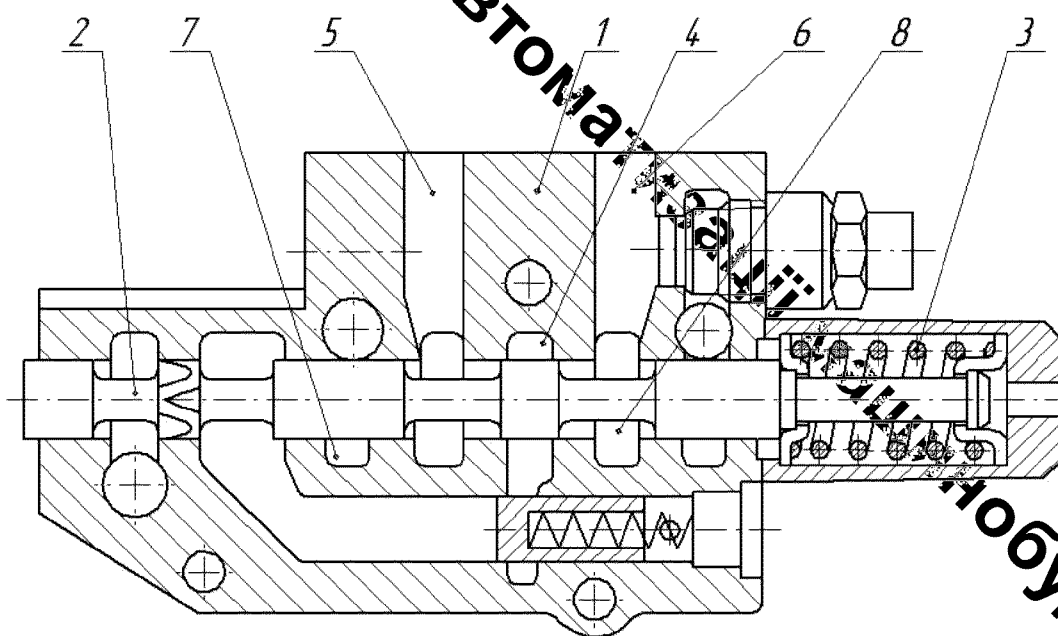


Рисунок 1.2 - Конструкція секційного гідророзподільника фірми «Rexroth»

Для поступової зміни витрат мінеральної оліви на золотнику 2 утворені ділянки із спеціальними канавками. Кромки золотника 2, що відділяють нагнітальну камеру від робочих камер, в процесі керування витратою не приймають участі. Вони забезпечують лише зміну напрямком потоків. Перевагою є те, що досягнуто можливість підвищення герметичності робочих камер 5 та 6 при нейтральній позиції гідророзподільного золотника 2 з одночасним використанням широкого діапазону регулювання витрати під час роботи. Недоліком є надмірна довжина та складність виготовлення основного гідророзподільного золотника 2.

У праці [3] наведено гіdraulічна схема, саме дослідження та подальша оптимізація секційного гідророзподільника фірми «Danfoss». В результаті дослідження та оптимізації розроблено нову конструкцію секційного гідророзподільника для навантажувача вентильного типу (див. рис. 1.3). Цей гідророзподільник також має литий корпус із згладженими ребрами камер, як в попередньому екземплярі (див. рис. 1.2).

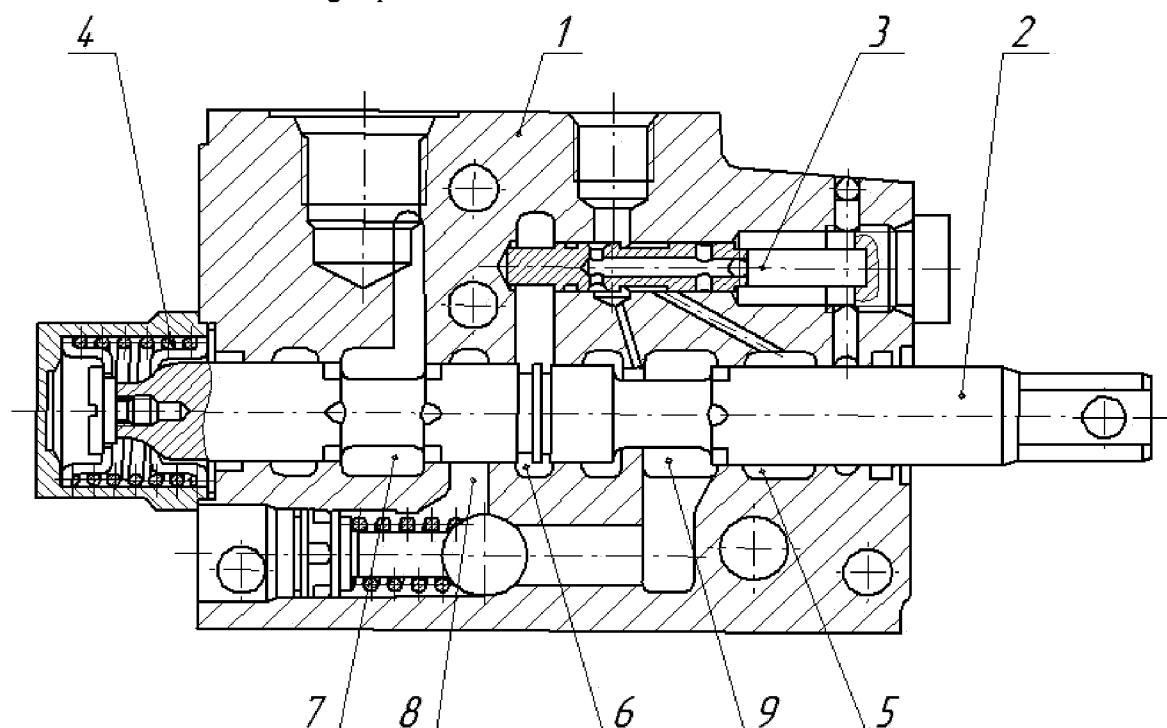


Рисунок 1.3 - Секційний гідророзподільник для навантажувача вентильного типу

В корпусі 1 у центрі встановлено гідророзподільний золотник 2, регулюючу функцію якого виконує золотник регулятора 3. При цьому пружина 4 забезпечує зворотній хід гідророзподільного золотника 2 і прикріплена до корпусу 1. Нагнітальна камера 5 через інші камери гідророзподільного золотника 2 та золотника регулятора 3 з'єднані із робочими камерами 6 та 7, та зливними камерами 8 та 9.

Основним недоліком цього секційного гідророзподільника є низькі перепади керування та погана чутливість до навантаження, що забезпечується комбінацією

хреселів. А основною перевагою є його скруглені контури після ліття, що зменшує кавітаційні процеси.

Крім цього фірма «Danfoss» випускає секційні гідророзподільники, що мають незалежне від знаку навантаження керування для мобільних робочих машин типу PVG 32. Секційні гідророзподільники при цьому виконують в двох варіантах: із закритим та відкритим центрами (див. рис. 1.4 та 1.5) [4].

До конструкції секційного гідророзподільника входять клапан обмеження тиску 1, редукційний клапан 2, що забезпечує подачу мінеральнох оливі до системи керування, датчик тиску 3, втулка 4, жиклер 5, золотник, що регулює тиск 6, втулка 7. Також корпус секційного гідророзподільника має з'єднання сигналів LS 8 та 9, клапан «АБО» 10, основний золотник 11, клапан 12 що, обмежує LS-тиск, запобіжний і підживлюючий клапан PVLP 13, компенсатор тиску 14, канал А 15, та канал В 16, підживлюючий клапан PVLA 17, зворотній клапан 18 протитоку, канал допоміжної подачі потоку керування для PVLA 19, гвинти, що регулюють максимальну подачу мінеральної оливи для каналів А і В 20.

Робота секційного гідророзподільника фірми «Danfoss» для мобільної робочої машини типу PVG 32 з відкритим центром полягає у наступному. При роботі гідронасоса основний золотник 11 в робочій секції зазвичай в нейтральному положенні, мінеральна олива поступає від гідронасоса через з'єднання Р, через золотник 6 клапана регулювання тиску прямо в гідробак. Потік мінеральної оливи, що йде через золотник 6 клапана регулювання тиску, визначає тиск гідронасоса. Під час приведення в дію одного або більше золотників секцій гідророзподільника, максимальний тиск від навантаження діє через клапан «АБО» 10 в камеру пружини за золотником 6 клапана регулювання тиску, який повністю або навіть частково перекриває канал з'єднання з гідробаком. Тиск від гідронасоса діє на праву сторону золотника 6 клапану регулювання тиску. Тоді клапан 1 обмеження тиску буде відкритий, якщо тиск, що діє на нього перевищить встановлене значення, повертаючи потік від гідронасоса назад в гідробак. В секції гідророзподільника з компенсатором тиску клапан 14 підтримує постійний перепад тиску на основному

золотнику 11 в двох випадках: коли змінюється навантаження, або коли вмикається секція гідророзподільника з великим навантаженням.

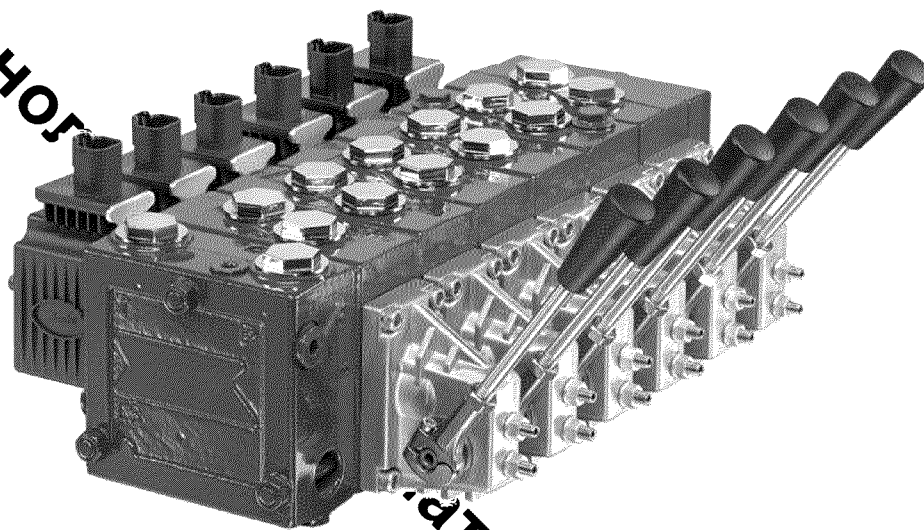


Рисунок 1.4 - Зовнішній вигляд секційного гідророзподільника фірми «Danfoss» для мобільної робочої машини типу PVG 32

Якщо в секційному гідророзподільнику не встановлено компенсуючого клапану в канал Р, то там вбудований зворотній клапан протитоку 18. Він попереджує повернення потоку мінеральної оліви назад. Секція гідророзподільника зазвичай заповнена без оберненого клапану протитоку 18 в каналі Р, якщо має місце гальмівний клапан в гідроприводі. Для захисту елементів гідроприводу від його перевантаження і (або) процесів кавітації встановлено запобіжні клапани PVLA₃ з фіксатором і підпиточні клапани PVLA в камерах А і В.

У варіанті із закритим центром замість втулки 4 встановлюється жиклер 5 і втулка 7. Це значить, що золотник 6 клапану регулювання тиску буде з'єднаний з гідробаком тільки тоді, коли тиск в камері Р перевищить значення, що встановлено на клапані обмеження тиску 1.

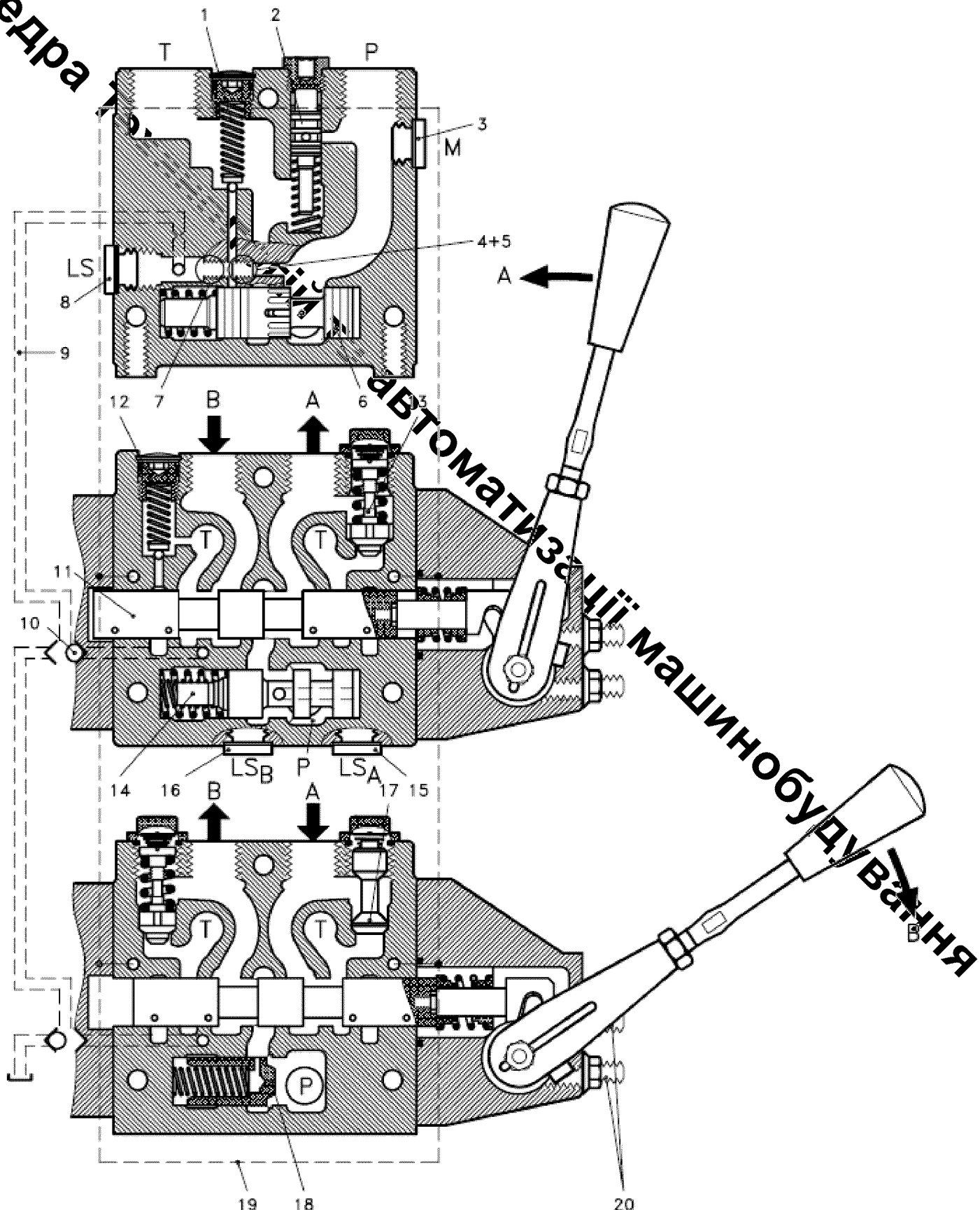


Рисунок 1.5 - Конструкція та схема каналів в секційному гідророзподільнику фірми «Danfoss»

В гідроприводі мінеральна оліва під навантажувальним тиском поступає до регулятора гідронасоса через з'єднання LS 8. В нейтральному положенні основного золотника 11 регулювання навантажувального тиску виставляє подачу так, що втрати в гідроприводі компенсиуються для забезпечення тиску, який встановлено в режимі розвантаження. Після приведення в дію основного золотника 11 секційного гідророзподільника, регулятор гудронасоса настроює подачу таку, щоб підтримувати встановлену різницю тисків між Р і LS. Клапан обмеження тиску 1 зазвичай виставлений на тиск приблизно вище максимального тиску на 3 МПа в гідроприводі.

На рис. 1.6 представлено конструкцію секційного гідророзподільника фірми «BOSCH» [5]. Основна секція включає сам корпус 1, в якому розташований основний золотник 2, зворотній клапан 3 та регулятор потоку 4 та два гідрозамка 5 і 6, а також механізм фіксації 7 основного золотника.

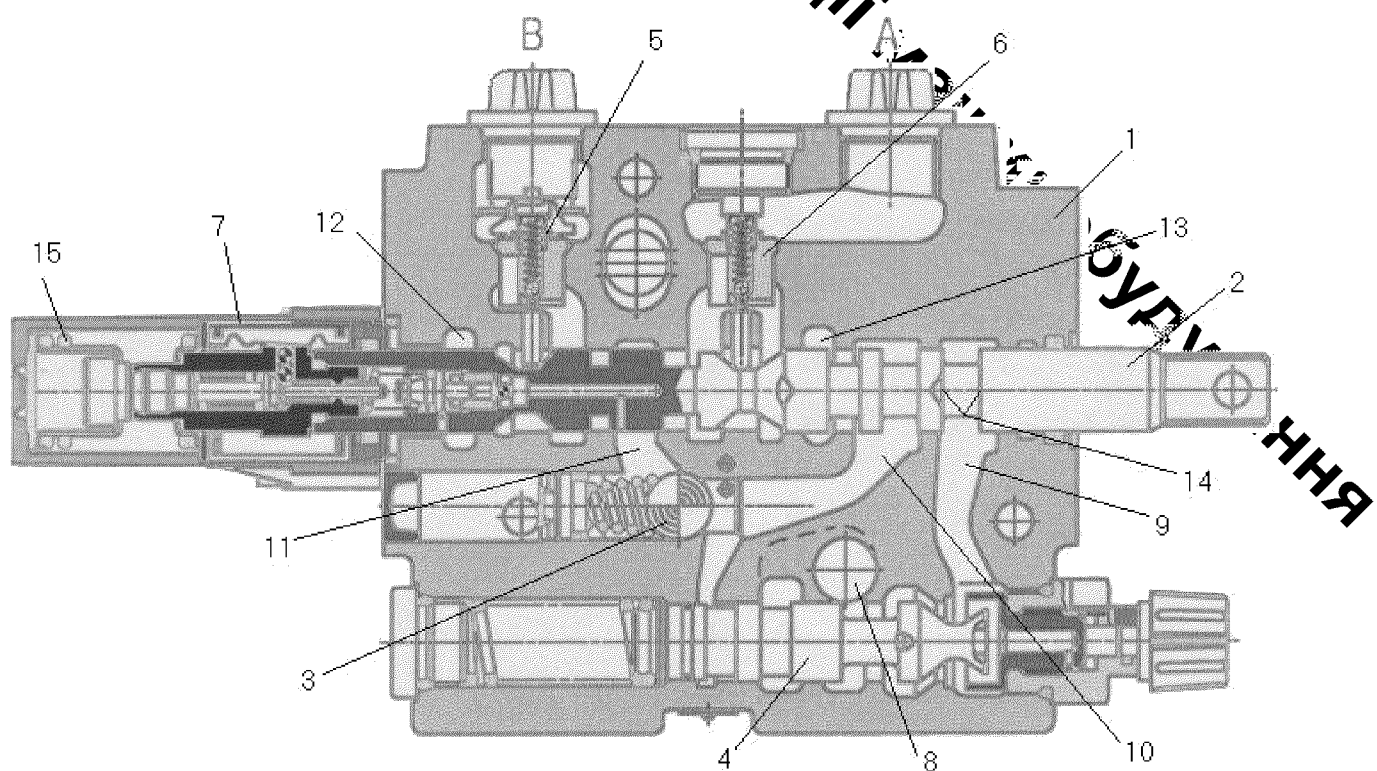


Рисунок 1.6 - Конструкція секційного гідророзподільника фірми «BOSCH»

Секція гідророзподільника працює наступним чином. Мінеральна оліва від гідронасоса надходить в камеру 8 і далі через регулятор потоку 4, камеру 9,

основний золотник 2, зворотній клапан 3 знову рухається до основного золотника 2. В залежності від позиції основного золотника 2 потік мінеральної оліви поступає через гідрозамок 5 або 6 до гідроциліндра. Злив мінеральної оліви від гідроциліндра забезпечується через гідрозамки 5 та 6. Гідрозамки 5 та 6 мають механічний зв'язок з основним золотником 2. При переміщенні основного золотника 2 розточка 14 створює між камерами 9 та 10 дросельюче вікно. Його провідність визначається величиною потоку, що проходить від гідронасоса до гідроциліндра. Механізм 7 забезпечує фіксацію основного золотника 2 в робочих та плаваючій позиціях. Фіксація основного золотника 2 в нейтральній позиції досягається за рахунок пружини двосторонньої дії 15.

Отже, виконання скруглень та плавних переходів в камерах робочих секцій секційних гідророзподільників дозволяє зменшити кавітаційні процеси та появу турбулентних потоків.

1.2 Огляд робіт по дослідженню робочих процесів в гідророзподільниках

Гідроприводи зазвичай включають регульований ^{або} нерегульований гідронасос та один чи два регулятори потоку до нього, які дійснюють в автоматичному режимі контролю швидкості руху гідродвигунів. Також основними елементами є гідророзподільники, які зачасту виконуються в секційному ^{виді} сполученні, щоб забезпечити керування декількома гідродвигунами. Із гідроапаратури керування та захисту є запобіжні, редукційні, зворотні чи гальмівні клапани, гідрозамки та дроселі. Конструкції регуляторів потоку можуть суттєво впливати на роботу гідроприводу в цілому, тому велике значення має вибір схеми та параметрів регуляторів потоку, на стадії проектування. Також на стадії проектування виконують підбір та оптимізацію параметрів керуючої гідроапаратурі і секційних гідророзподільників. Розробці і дослідженню схем, конструктивних параметрів і характеристик гідроприводів присвячена велика кількість робіт [6-11] I.A.Немировського, Ю.А. Буренікова, Л.Г. Козлова, О.П. Губарев, В.П. Бочаров, Ю.М. Дівєєва, Д.О. Лозінський, О.В. Петров, О.В. Піонткевич, А.О. Товкач.

У праці [10] Бочаров В.П. описано гідроприводи авіаційної техніки. Подано основні відомості та варіанти їх конструювання. Навчальний посібник написано в навчальних цілях, для підготовки студентів та введення в курс гіdraulіки та гідроприводів. Розписано основні поняття стійкості, динамічних та статичних характеристик гідроприводів.

Границі стійкості та значення динамічних характеристик залежить від абсолютнох значень параметрів гідроприводів. Вказані параметри гідроприводів, що знижують запас стійкості.

Зазначається, що суттєвим недоліком гідроприводів є наявність кавітаційних процесів. Розписано причини їх виникнення та як можна зменшити вплив. Хорошою практикою є наявність плавних переходів в камерах гідророзподільників та іншої гідроапаратури.

У праці [8] відзначається, що при проектуванні врівноважувальних клапанів необхідно визначити як стійкість гідроприводів, так і вплив окремих конструктивних параметрів врівноважувальних клапанів на статичні та динамічні характеристики. Розглядаються імітаційні моделі потоку робочої рідини та розраховується вплив перепаду тиску на робочому вікні на роботу основного золотника. Встановлено, що врівнуважувальний клапан забезпечує покращення статичних, динамічних та енергетичних характеристик.

У праці [12] на основі результатів, отриманих за допомогою комп'ютерного моделювання продемонстровано процес розробки нових гідроагрегатів для гідроприводів або покращення характеристик існуючих моделей агрегатів. Використано CFD-модуля Flow Simulation для дослідження втрат гіdraulічного тиску в конструкції гідророзподільника. Розроблено 3D-модель робочої ділянки гідророзподільника в CAD-системі SolidWorks. Втрати тиску при проходженні мінеральної оліви через гідророзподільник виникають на виході з камери нагнітання і на вході в робочу камеру робочої секції гідророзподільника. Втрата тиску виникає з особливостями конструкції запірно-регулюючих елементів гідророзподільника. За результатами комп'ютерного моделювання гідродинамічних процесів руху мінеральної оліви під тиском через гідророзподільник визначено

втрати цього тиску. З метою зменшення втрат тиску запропоновано внести зміни в конструкцію гідророзподільника без погіршення його роботи. Це дозволило знизити втрати тиску в робочій камері гідророзподільника, що зменшує загальні втрати тиску в гідроприводі.

Ряд праць присвячені проблемі моделювання робочих процесів в гідроприводах та розрахунку на основі математичних моделей статичних та динамічних характеристик [6-9]. Ефективність використання математичних моделей гідроприводів зростає в разі розрахунків на комп'ютерів через програму MATLAB Simulink.

У праці [6] вказано, що моделювання на комп'ютері є продуктивним засобом досліджень гідроприводів з дросельним керуванням. Математичні моделі гідроприводів є в основному нелінійними та мають значну кількість функціональних залежностей, яких варто враховувати тільки через експериментальні дослідження з подальшим використанням під час розрахунків на комп'ютері.

У роботі [13] подано схему гідроприводу на основі нерегульованого шестеренного насоса. Розроблено нелінійну і лінеаризовану моделі гідроприводу. Розраховано вплив коефіцієнтів підсилення та параметрів регулятора потоку на стійкість із лінеаризованої моделі. Зазначається, що розрахунки динамічних характеристик гідроприводу пов'язані із суттєвими складнощами, що зводиться до нелінійної математичної моделі. Саме тому варто проводити додаткові розрахунки за допомогою імітаційного моделювання.

У праці [14] відзначено імітаційні моделі для аналізу відцентрових насосів, вентиляторів і об'ємних насосів. У відцентрових насосах на основі методу «ковзної сітки» створено модель CFD для розрахунку характеристик потоку та визначено параметри роботи насоса, при яких виникає несприятливе явище кавітації. У випадку радіального вентилятора модель CFD використовувалася для визначення впливу геометрії впускного каналу на ефективність промислової установки. Основною метою CFD моделювання було отримати розподіл тиску та визначити області, в яких може виникнути кавітація. Для дослідження явищ потоку, які виникають у зовнішніх шестеренчастих насосах і пластинчастих насосах подвійної

жі використовувався метод «зануреного твердого тіла». Наведено результати 2D та 3D моделювання різних робочих параметрів насосів.

У праці [15] подано нову схему керування гідроприводом з регуляторами гідронасоса та тиску. Грунтуючись на розробка на використанні регулятора гідронасоса і регулятора тиску, які дають плавність ходу виконавчих органів. Отже, вони забезпечують пропорційне керування робочим органом гідродвигунів при різному навантаженні. Створено неїнійну математичну модель гідроприводу на базі досліджень якої, розраховано, що стійкість гідропривода впливає конструктивні параметри його системи керування, а саме регулятори, гідророзподільники та клапани. Знайдено співвідношення конструкційних параметрів системи керування гідроприводу, що дозволяє забезпечити стійкість в широкому діапазоні його роботи.

У праці [16] основною метою є розробка методології параметричного моделювання витрати в гідророзподільних системах. Ця методологія базується на отриманні з CFD моделювання коефіцієнта потоку критичних обмежень як функції числа Рейнольдса, використовуючи узагальнену функцію квадратного кореня з двома параметрами. Потім методологія демонструється шляхом застосування її до двох абсолютно різних гіdraulічних систем: головного гальмівного циліндра та клапана ABS. Цей тип параметричних моделей клапанів полегшує реалізацію в динамічних імітаційних моделях складних гіdraulічних систем.

Отже, в результаті аналізу літературних джерел можна зробити висновок, що під час розробки чи удосконалення елементів гіdraulічних приводів, таких як гідророзподільники, варто використовувати комплексний підхід: математичне моделювання всього гідроприводу, імітаційне моделювання окремих елементів для уточнення процесів, що відбуваються в них, аналіз з подальшим експериметальним дослідженням дослідних зразків.

РОЗДІЛ 2 СХЕМА ГІДРОПРИВОДУ З РОБОЧОЮ СЕКЦІЄЮ

ГІДРОРОЗПОДІЛЬНИКА ТА АНАЛІЗ ПРОЕКТНИХ ДОСЛІДЖЕНЬ

У цьому розділі розглянуто схему гідроприводу на два виконавчі органи мобільної робочої машини. Розроблено розрахункову схему та математичну модель гідроприводу, які дозволяють розрахувати основні параметри досліджуваних об'єктів їх та динамічні характеристики. Для розрахунку математичних моделей використано потужне програмне забезпечення MATLAB Simulink, де продемонстровано результат складання блок-схем.

2.1 Схема гідроприводу робочої машини з секційним гідророзподільником

На рис. 2.1 представлена схема гідроприводів звичайних мобільних робочих машин [8]. Одним із основних гідроагрегатів гідроприводу є його секційний гідророзподільник спеціальної конструкції.

Схема гідроприводів мобільної робочої машини включає наступні елементи: гідронасос 1, секційний гідророзподільник із золотниками 2 та 3, логічні клапан 4 та 5, гальмівні клапани 6 та 7, дроселі 8 та 9, гідроциліндри 10 та 11, а також фільтр 12 та логічний клапан LS-системи 13.

Подана схема працює наступним чином. Гідронасос 1 подає в гідролінію нагнітання мінеральну оливу об'ємом Q_n , яка поступає до камер гідророзподільників із золотниками 2 та 3. При позиціонуванні золотників 2 та 3 в нейтральному положенні тиск в гідроприводі зростає до граничних значення налаштування пружини переливного клапана, а потім вся рідина, що поступає, через переливний клапан зливається в гідробак Б.

При поціонуванні золотників 2 та 3 вправо потік мінеральної оліви об'ємом Q_p від робочої камери гідророзподільників надходить до гальмівних клапанів 6 та 7, звідки об'ємом Q_m рідина надходить до робочих камер гідроциліндрів 10 і 11, враховуючи подачу гідронасосу 1 і підтримуючи швидкість руху його поршнів. Із рухом поршнів, відповідно, рухаються штоки з прикладеними навантаженнями.

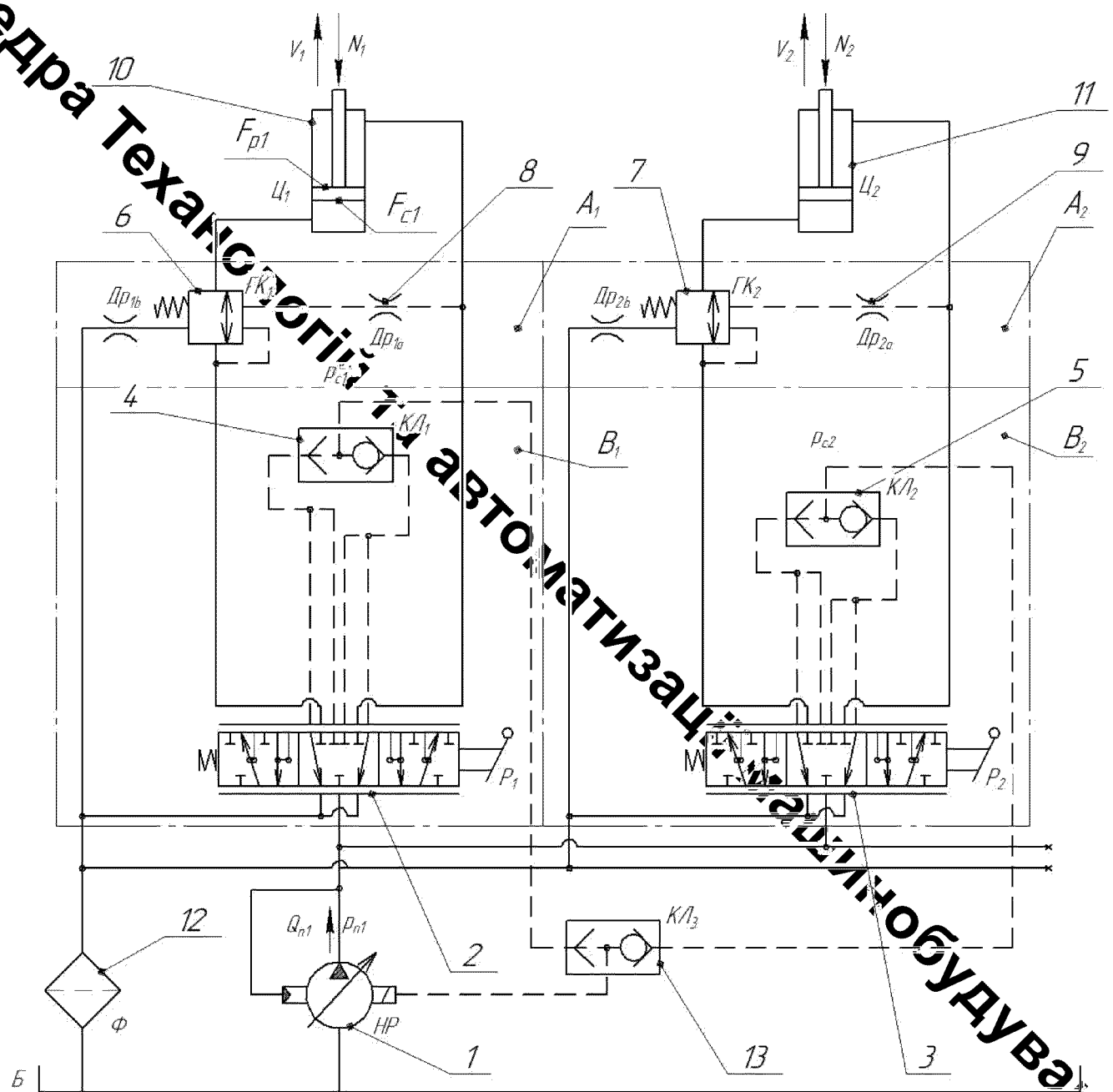


Рисунок 2.1 - Схема гідроприводу на два виконавчі органи для робочої мобільної машини

На вході з гідроциліндрів 10 і 11 встановлюється тиск p_n пропорційно до навантаження, що діє на штоки гідроциліндрів 10 та 11. Одночасно надлишок мінеральної оліви під тиском p_k надходить до переливного клапана.

Під час переміщення золотників вліво мінеральна оліва поступає до правої камери гідроциліндрів 10 та 11, виникає попутне навантаження і в будь-якій іншій системі спостерігався б пульсуючий рух гідроциліндрів 10 та 11, однак у нашому

випадку тиск рідини буде діяти на штоки гальмівних клапанів 6 і 7 через дроселі 8 та 9, стабілізуючи при цьому рухи штоків гідроциліндрів 10 та 11.

За рахунок зміни величини площі робочого вікна на золотниках 2 та 3 можна пропорційно регулювати сигнал зворотнього зв'язку до гальмівних клапанів 6 та 7. У випадку коли тиск в гідролінії буде недостатній, щоб рухати шток гальмівного клапана 6 або 7, відбудеться запирання мінеральної оліви в порожнині камері. Гальмівний клапан 6 буде працювати як односторонній гідрозамок, а рух поршня із штоком гідроциліндра 10 або 11, відповідно, припиниться. Логічні клапани 4 і 5 забезпечують необхідний тиск керування в гідроприводі незалежно від сили навантаження на штоках гідроциліндрів 10 та 11. А за рахунок логічного клапана 11 тиск, що підходить на керування насосам 1 завжди буде більшим і відповідатиме більшому навантаженню гідроциліндр. Якщо в гідроприводі виникне перевантаження, то весь потік мінеральної оліви об'ємом Q_k буде зливатися через переливний клапан назад до гідробаку.

Основною перевагою даної схеми гідроприводу над іншими є те, що вона дозволяє забезпечити точне регулювання подачі гідронасосу 1 та потоків мінеральної оліви до гідроциліндрів 10 та 11 незалежно від напрямку дії навантаження за рахунок використання гальмівних клапанів 6 та 7, та інших елементів, які налаштовані на малий перепад тиску. Це дозволяє забезпечити плавний рухів виконавчих механізмів. А подача гідронасосу 1 дорівнюватиме сумарній подачі мінеральної оліви через включені робочі секції гідророзподільника. При цьому спостерігається позитивний вплив на збільшення терміну експлуатації мінеральної оліви, а також збільшення продуктивності обладнання мобільної робочої машини [17].

2.2 Аналіз проектних робіт по математичному моделюванню для гідроприводу мобільної робочої машини

Проектні роботи по розробці гідроприводу зводяться до розробки розрахункової схеми, математичної моделі та розв'язання нелінійних

диференціальних рівнянь з подальшим вибором і оптимізацією параметрів математичної моделі. Алгоритми цих розрахунків закладені в численну кількість наукових робіт [1, 7, 8, 11, 18] та мають значний успіх. Ми розберемо основні аспекти які виконано під час проектування гідроапаратури.

Спершу розглянемо методику математичного моделювання робочих процесів у гідроприводі. Розрахункова схема (див. рис. 2.2) [18] з гідроприводом включає гідронасос 1 змінного робочого об'єму, напірну лінію 2, в якій встановлений регульований дросель 3 і виконує функції робочого вікна гідророзподільника, робочу лінію 4, гідроциліндр 5 штоком 6 та робочу лінію 7, в якій встановлений гальмівний клапан 8. Гальмівний клапан 8 складається з прохідного вікна 19, золотника 9 та пружини 10 та зливної лінії 21 як з'єднана з гідробаком 11. Гідронасос 1 складається з плунжерів 15, 16 регулятора тиску 12 та дроселя 18. Регулятор тиску 12 має прохідне вікно 20, золотник 13 та пружину 14.

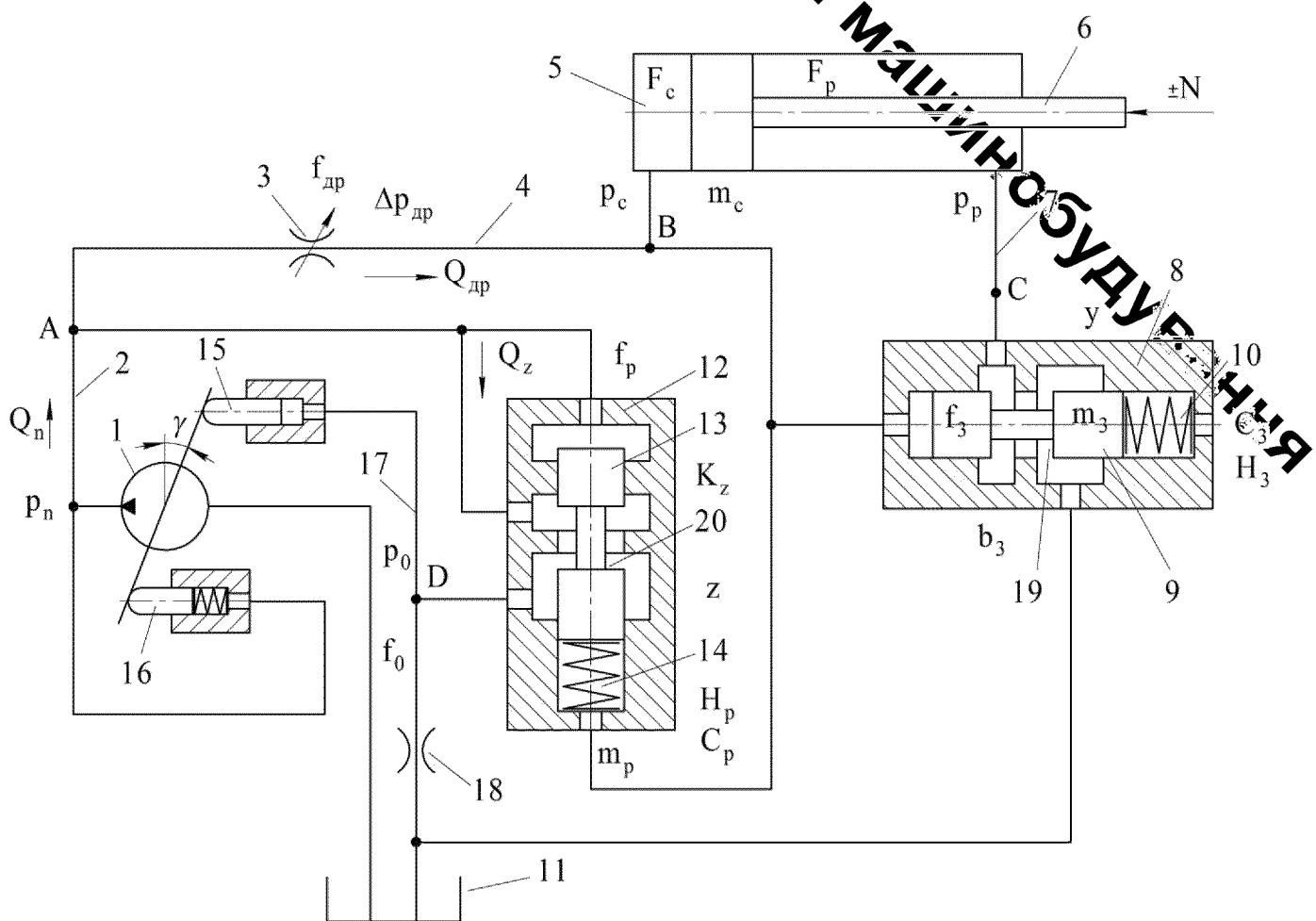


Рисунок 2.2 - Розрахункова схема гідроприводу мобільної робочої машини

Робота за розрахунковою схемою гідроприводу мобільної робочої машини описана в праці [18]. За розрахунковою схемою та додатковим аналізом інших праць складено та описано математичну модель [8] нелінійних диференціальних рівнянь.

Складання математичної моделі проводилося за припущені, що зменшують важкість розрахунків однак можуть погіршувати їх точність. До припущень увійшли: розглянуте середжені параметри в гідропривод; температура мінеральної оливи прийнято постійною; хвильові процеси під час розрахунків в гідроприводі не враховано; коефіцієнти потоку, що формуються через дроселі та інші золотникові елементи вважаємо постійні; режими руху мінеральної оливи в гідроприводі – безкавітаційні; перетікання мінеральної оливи в щілинах гідронасоса, гідроциліндра та гальмівного клапана не враховано; коефіцієнт податливості мінеральної оливи вважався як середня величина; а також, втрати тиску в лініях не враховано.

$$\begin{aligned}
 Q_n &= \mu \cdot f_{dr} \cdot \sqrt{\frac{2(p_n - p_c)}{\rho}} + \mu \cdot k_z \cdot z \cdot \sqrt{\frac{2(p_n - p_0)}{\rho}} + \beta \cdot W_n \cdot \frac{dp_n}{dt}; \\
 \mu \cdot f_{dr} \cdot \sqrt{\frac{2(p_n - p_c)}{\rho}} &= F_c \cdot V + \beta \cdot W_c \cdot \frac{dp_c}{dt}, \\
 F_p \cdot V &= \mu \cdot \pi \cdot d_3 \cdot y \cdot \sqrt{\frac{2p_p}{\rho}} + \beta \cdot W_p \cdot \frac{dp_p}{dt}; \\
 \mu \cdot k_z \cdot z \cdot \sqrt{\frac{2(p_n - p_0)}{\rho}} &= \mu \cdot f_0 \cdot \sqrt{\frac{2p_0}{\rho}} + \beta \cdot W_0 \cdot \frac{dp_0}{dt}; \\
 J \cdot \frac{d^2\gamma}{dt^2} &= p_n \cdot F_5 \cdot l - p_0 \cdot F_4 \cdot l - b_\gamma \cdot \frac{dy}{dt} - M_c; \quad (2.1) \\
 m_c \cdot \frac{dV}{dt} &= p_c \cdot F_c - p_p \cdot F_p \pm N - b_c \cdot V - T_c \cdot \sin V; \\
 m_3 \cdot \frac{d^2y}{dt^2} &= p_c \cdot f_3 - b_3 \cdot \frac{dy}{dt} - c_3(H_3 + y) - T_3 \cdot \sin \frac{dy}{dt}; \\
 m_p \cdot \frac{d^2z}{dt^2} &= p_n \cdot f_p - b_p \cdot \frac{dz}{dt} - c_p \cdot f_p - T_p \cdot \sin \frac{dz}{dt}.
 \end{aligned}$$

де [18] Q_n – подача гідронасоса, M_c – момент опору від планшайбі гідронасоса, μ – коефіцієнт потоку, ρ – густина мінеральної оліви, β – коефіцієнт стискання мінеральної оліви, d_7 – діаметр плунжена гідронасоса, d_8 – діаметр кола контакту плунжерів гідронасоса з його планшайбою, k – кількість плунжерів в гідронасосі, n – частота обернення вала гідронасоса, d_3 – діаметр золотника гальмівного клапана, f_{lr}, f_o – площи дроселів 3 та 18, відповідно, W_n, W_c, W_p, W_o – об'єми ліній 2, 4, 7, 17, відповідно, m_c, m_3, m_p – маси елементів, C_p, C_3 – жорсткості пружин 14 та 10, відповідно, Z_p, H_3 – початкове стиснення пружин 14 та 10, відповідно, b_y, b_c, b_3, b_p – коефіцієнти демпфування в елементах гідроприводу, N – значення навантаження на штоці 6 гідроциліндра 5, k_z – коефіцієнт підсилення регулятора 12, F_c, F_p – площи гідроциліндра, F_4, F_5 – площи плунжерів 15 та 16, відповідно, J – момент інерції від планшайби гідронасоса, T_c, T_3, T_p – сили тертя між елементами, f_3, f_p – робочі площи золотників 9 та 13, відповідно, z, y – значення положення золотників клапанів, V – швидкість руху штока 6, p_n, p_c, p_p, p_o – значення тисків в лініях 2, 4, 7, 17, γ – кут повороту планшайби гідронасоса.

Отже, математична модель (2.1) складається з рівнянь нерозривності потоків для ліній, рівняння моментів, що діють на елементи гідронасоса, а також рівняння сил, що діють на рухомі елементи золотників (див. рис. 2.2). Таким чином математична модель – це складна система з 8-и диференціальних рівнянь.

Отже, нелінійні диференціальні рівняння (2.1) математичної моделі гідроприводу, в широкій практиці [8, 11, 18] розв'язуються шляхом розробки моделювання переходних процесів в програмі MATLAB-Simulink.

Головна блок-схема, що зображає загальний вигляд зв'язків між нелінійними диференціальними рівняннями (2.1) представлено на рис. 2.3. Структурна схема блок-схеми включає ряд підсистем. Ці підсистеми розв'язують відповідне нелінійне диференційне рівняння [19]: позиція 1 — Subsystem 6; позиція 2 — Subsystem 1; позиція 3 — Subsystem 0; позиція 4 — Subsystem 7; позиція 5 — Subsystem 4; позиція 6 — Subsystem 2; позиція 7 — Subsystem 3; позиція 8 — Subsystem 5.

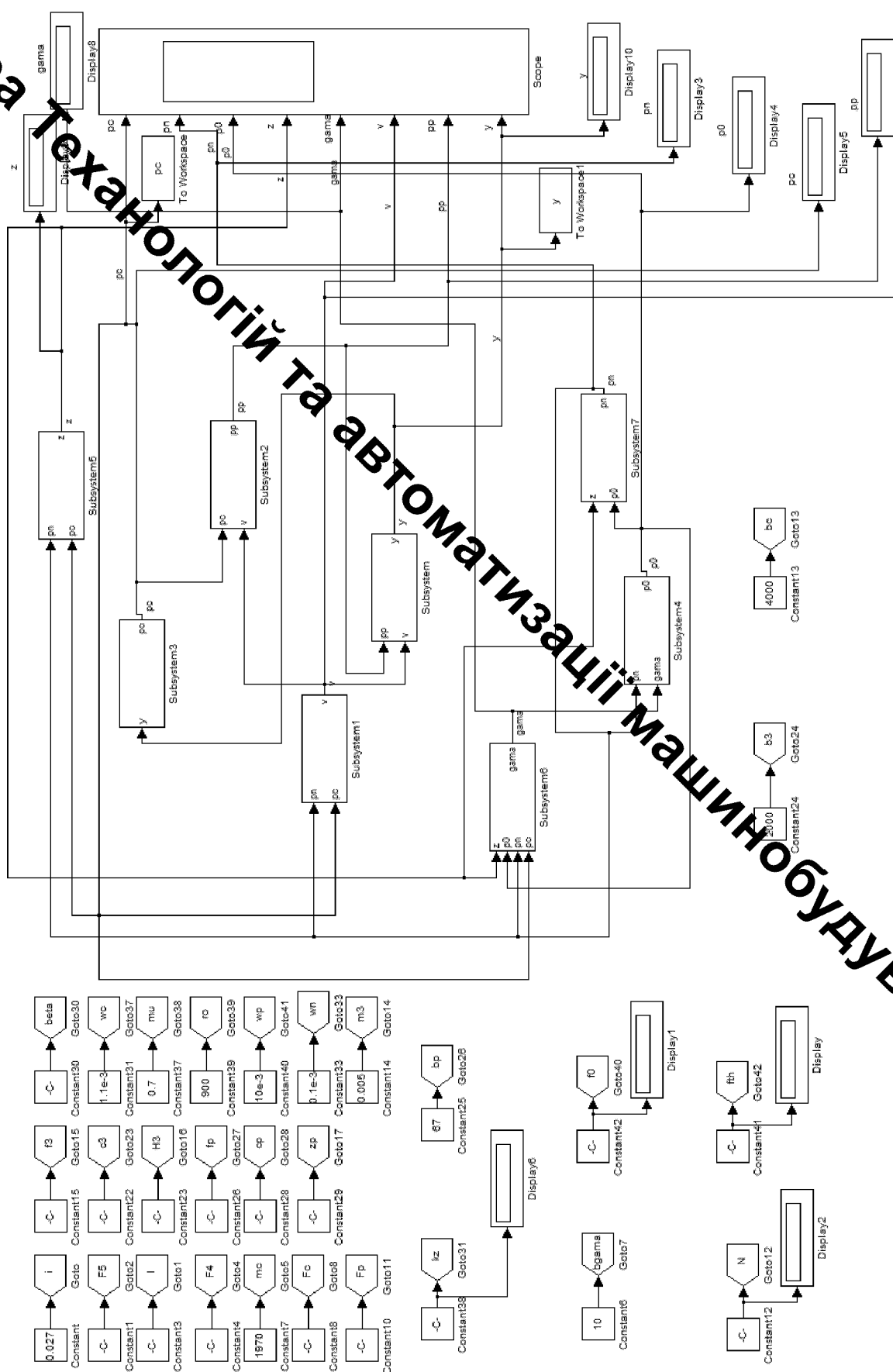


Рисунок 2.3 - Головний блок-схема розв'язання математичної моделі гідроприводу

2.3 Вплив параметрів деталі «Робоча секція гідророзподільника» на динамічні характеристики перехідних процесів в гідроприводі робочої машини

Гідроприводи мобільних робочих машин роблять у відносно широких діапазонах керування швидкості руху виконавчих органів. Режим роботи гідроприводу зазвичай характеризуються частим увімкненням та вимкненням гідронасосів і гідророзподільників [8], та зміною характеру навантаження на гідродвигунах. У процесі роботи проектування проводять дослідження гідроприводів та визначають вплив основних конструктивних параметрів гідрообладнання на динамічні характеристики. Але перед за все потрібно дослідити стійкість роботи [18].

Стійкість роботи обладнання гідроприводів розраховувалася за видом перехідного процесу під час математичного моделювання. Стійкими можна вважати перехідні процеси, при яких невпинно зменшується амплітуда коливань перехідних процесів. В процесі математичного моделювання параметри гальмівного клапана гідроприводів змінювались в діапазонах, представлених в табл. 2.1.

Таблиця 2.1 – Діапазони змін параметрів гальмівного клапана гідроприводу

Параметр	Одиниці вимірювання	Діапазон
d_3	м	$(12...24) \cdot 10^{-3}$
K_3	м	$(5...30) \cdot 10^{-3}$

Математичне моделювання проводилося при наступних початкових значеннях змінних стану гідроприводі мобільної робочої машини [8, 18]: $z(0) = 0,1 \cdot 10^{-3}$ м; $y(0) = 4 \cdot 10^{-3}$ м; $V(0) = 0$; $p_n(0) = 17 \cdot 10^5$ Н/м; $p_c(0) = 4 \cdot 10^5$ Н/м; $p_p(0) = 1 \cdot 10^5$ Н/м; $p_o(0) = 6 \cdot 10^5$ Н/м; $\gamma(0) = 0,03$ рад.

Основні параметри гідроприводу мобільної робочої машини [8, 18]: $\mu = 0,67$; $\rho = 900$ кг/м³; $\beta = 10^{-10}$ м²/Н; $W_n = 3 \cdot 10^{-3}$ м; $W_c = 2 \cdot 10^{-3}$ м; $W_p = 2 \cdot 10^{-3}$ м; $W_o = 0,05 \cdot 10^{-3}$ м; $m_c = 1600$ кг; $m_3 = 0,05$ кг; $m_p = 0,02$ кг; $C_p = 1 \cdot 10^4$ Н/м; $C_3 = 1 \cdot 10^4$ Н/м; $Z_p = 6 \cdot 10^{-3}$ м; $H_3 = 48 \cdot 10^{-3}$ м; $d_p = 6 \cdot 10^{-3}$ м; $K_z = 10 \cdot 10^{-3}$ м; $b_c = 3000$ Н·с/м; $F_c = 50 \cdot 10^{-4}$ м²; $F_p = 30 \cdot 10^{-4}$ м²;

$$x_1 = 4,2 \cdot 10^{-4} \text{ м}^2; F_5 = 2 \cdot 10^{-4} \text{ м}^2; J = 0,2 \text{ кг}\cdot\text{м}^2; T_c = 350 \text{ Н}; T_3 = 8 \text{ Н}; \\ T_p = 2 \text{ Н}; f_3 = 3,2 \cdot 10^{-4} \text{ м}^2; f_p = 0,5 \cdot 10^{-4} \text{ м}^2$$

Діапазон зміни параметрів, що враховують умови праці гідроприводу, подано в табл. 2.2.

Таблиця 2.2 Діапазон зміни параметрів, що враховують умови праці гідроприводу

Параметр	Одиниці вимірювання	Діапазон
d_c	м	$(70\dots120) \cdot 10^{-3}$
m_c	кг	30\dots1000
W_c	м^3	$(0,5\dots5,0) \cdot 10^{-3}$
W_p	м^3	$(0,5\dots5,0) \cdot 10^{-3}$

Розглянуто два режими роботи: зустрічного навантаження (прямий рух мінеральної оліви) та попутного навантаження (зворотний рух мінеральної оліви). Моделювалося ступенева зміна навантаження N на штоку гідроциліндра: прямий рух (4000\dots16000)Н та зворотній рух (50\dots5000) Н.

На рис. 2.4-2.5 показаний вплив умов праці гідроприводу при прямому русі мінеральної оліви на положення зон стійкої роботи. Найгірші показники стійкості гідроприводу виникають при великих значеннях W_c і W_p (див. рис. 2.4). Значно погіршує показники стійкості гідроприводу також зменшення діаметра гідроциліндра d_c і збільшення маси вантаж, що діє на поршень m_c (див. рис. 2.5).

Режим зворотного руху мінеральної оліви відрізняється від режиму прямого руху значно малими показниками величин тиску в гідроприводі. Характерною особливістю його роботи є зменшення величини тиску p_c в гідроциліндрі при збільшенні навантаження N . Гідропривод має підтримувати налаштовану швидкість руху за рахунок використання регульованого гідронасоса.

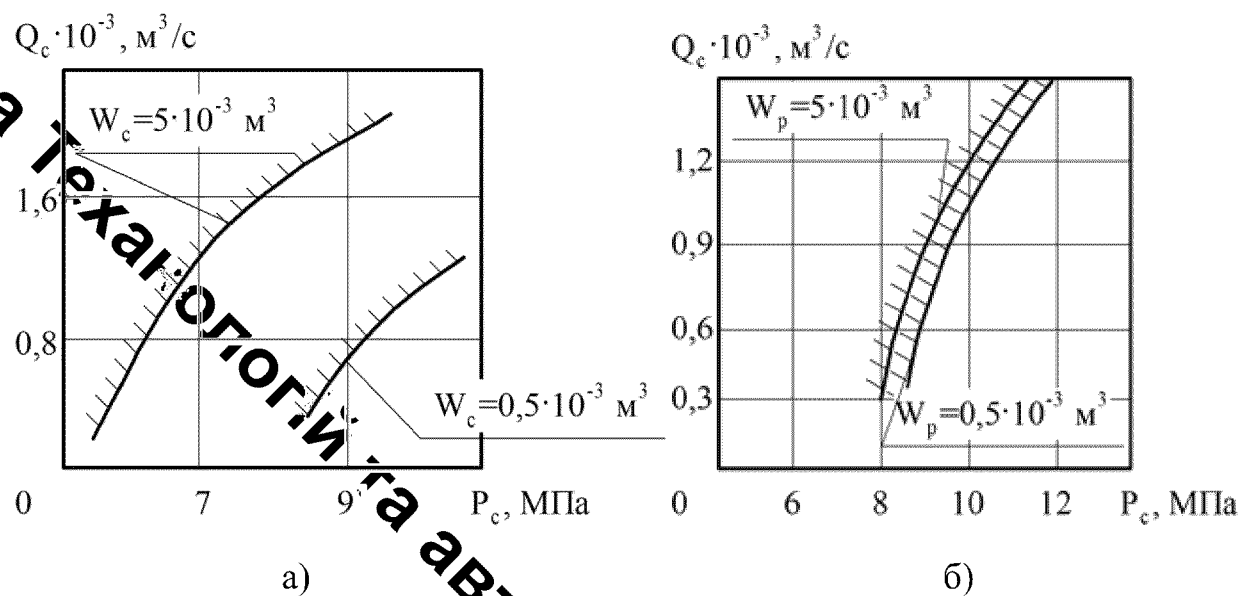


Рисунок 2.4 - Вплив об'єму гідрощінії W_c а) та W_p б) на стійкість гідроприводу

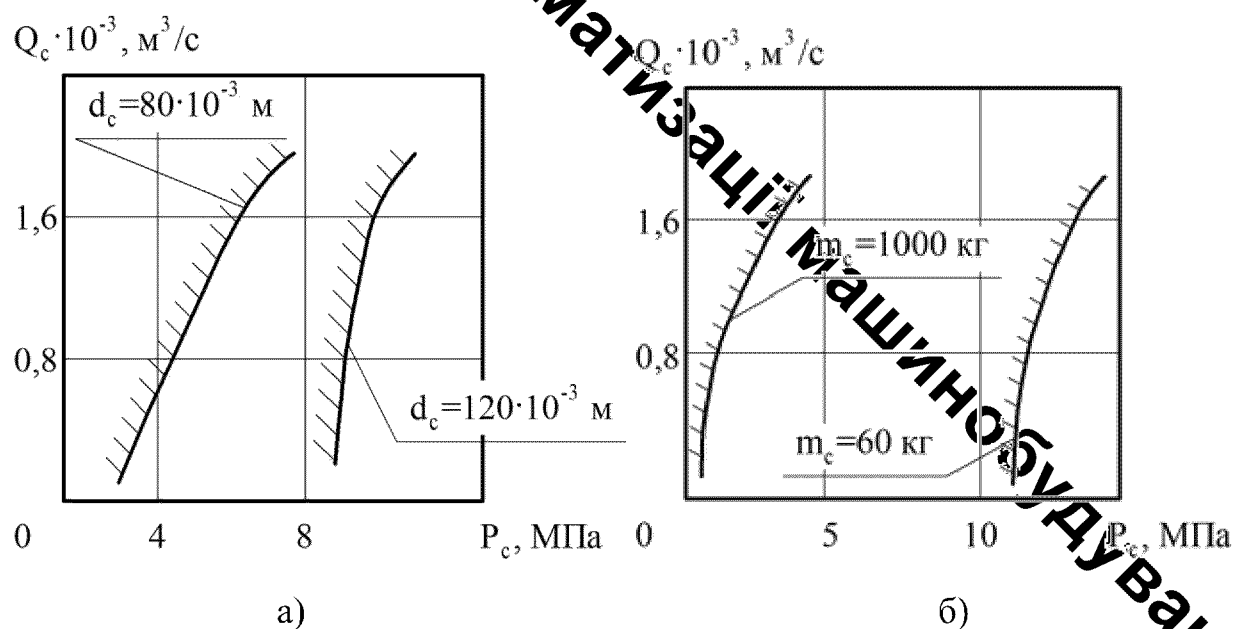


Рисунок 2.5 - Вплив діаметра поршня гідроциліндра d_c а) та маси поршня гідроциліндра m_c б) на стійкість гідроприводу

На стійкість гідроприводу також впливають величини K_z , K_3 і d_3 . Залежність стійкості гідроприводу від їх показників параметрів показаний на рис. 2.6, а. Для величин K_3 і d_3 в гідроприводі втрачається стійкість, а при значеннях $K_3 = (5...21) \cdot 10^{-3} \text{ м}$ та $d_3 = (12...20) \cdot 10^{-3} \text{ м}$ працює без проблем. При зворотному русі мінеральної оліви вплив параметрів K_3 та d_3 гальмівного клапана близькі до характеру впливу цих параметрів при прямому русі (див. рис. 2.6, б).

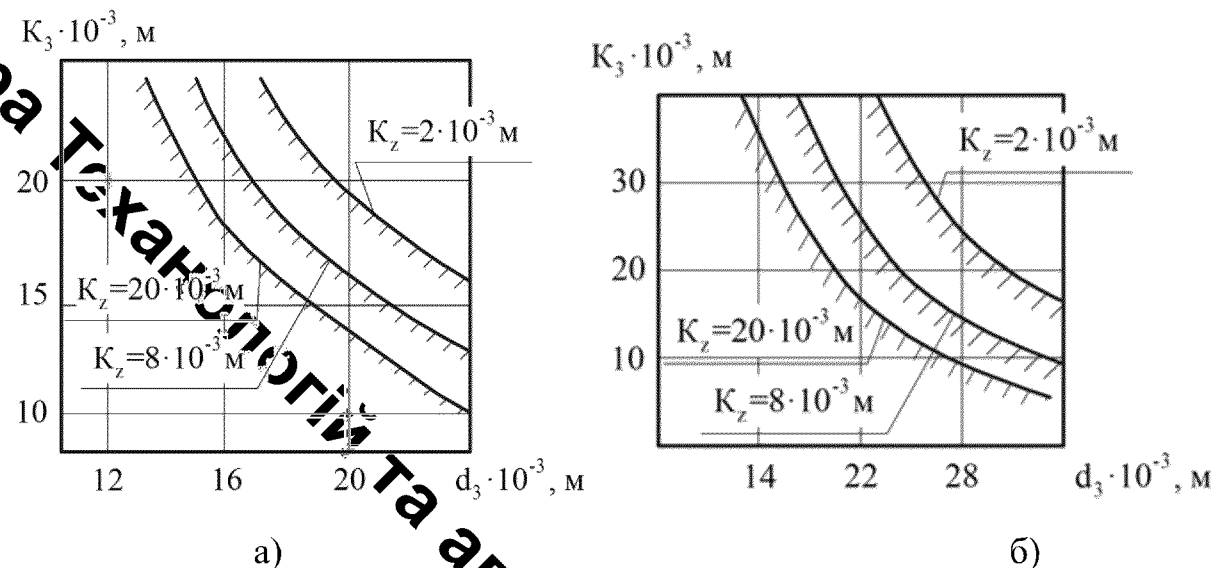


Рисунок 2.6 - Вплив параметрів регуляторів K_z , K_3 та d_3 на стійкість гідроприводу

при прямому а) та зворотному б) русі мінеральної оліви

Час регулювання в гідроприводі розраховувався для моменту входження його до змінної p_c в $\pm 5\%$ -й коридор для усталеного значення.

На рис. 2.7 показано вплив умов праці гідроприводу на час регулювання параметрів при зворотньому русі мінеральної оліви. Найбільш чуттєвий вплив по часу регулювання мають величини W_c , W_p , d_c , m_c . При великих значеннях W_c і m_c та малих значеннях d_c в гідроприводі може виникати нестійкі режими руху. Крім того, гідропривод втрачає стійкість при малих значеннях W_p .

На рис. 2.8, а показано вплив параметрів гальмівного клапана на величину часу регулювання при прямому русі мінеральної оліви. Збільшення значень K_3 і d_3 веде до збільшення величини часу. Заштриховані області показують діапазони зміни параметрів регулятора насосу та регулятора тиску, в яких виконуються вимоги до гідроприводу по часу регулювання.

Вплив параметрів гальмівного клапана d_3 та K_3 (див. рис. 2.8, б) на час регулювання при зворотному русі мінеральної оліви відрізняється від впливу цих параметрів при зустрічному навантаженні, але час регулювання одинаковий.

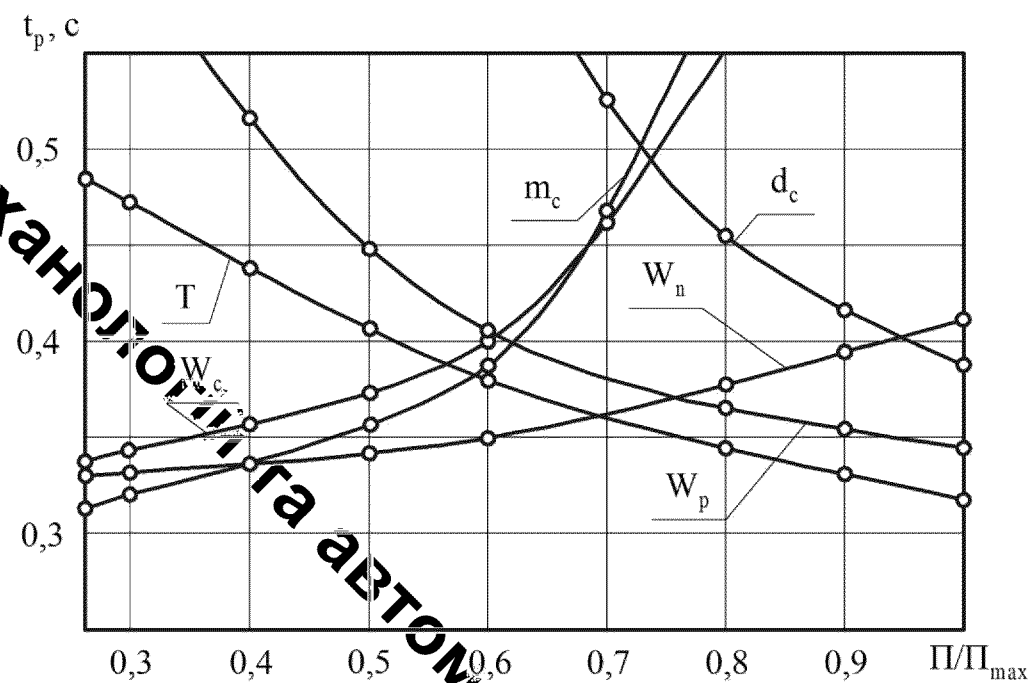


Рисунок 2.7 - Вплив параметрів, що характеризують умови роботи на час регулювання при зворотному русі

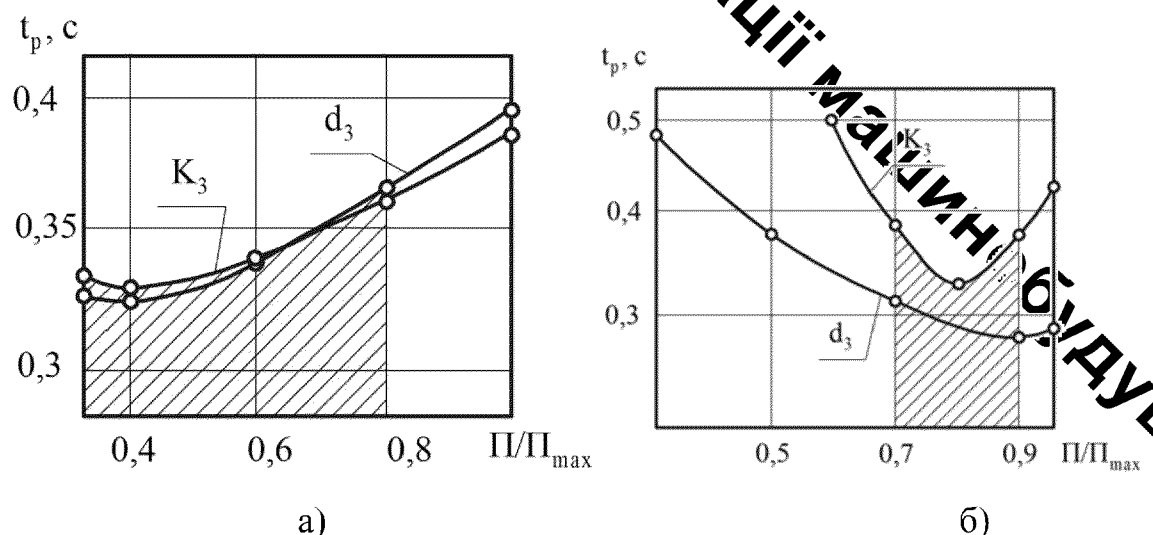


Рисунок 2.8 - Вплив параметрів регулятора тиску K_3 та d_3 на час регулювання при прямому а) та зворотному б) русі мінеральної оліви

Зробивши аналіз графіки на рис. 2.4-2.8 пропонуємо звузити діапазон вибору значень параметрів гальмівного клапана. Результати аналізу зведемо до табл. 2.3.

Таблиця 2.3 – Діапазони параметрів гальмівного клапана гідроприводу щодо вимог по часу регулювання

Параметр	Одиниці вимірювання	Діапазон
Прямий рух мінеральної оліви		
d_3	м	$(12...19) \cdot 10^{-3}$
K_3	м	$(12...24) \cdot 10^{-3}$
Зворотній рух мінеральної оліви		
d_3	м	$(17...22) \cdot 10^{-3}$
K_3	м	$(21...27) \cdot 10^{-3}$

Отримані значення параметрів гальмівного клапана дають нові діапазони, які задовільняють умови при прямому і зворотному русі мінеральної оліви: $d_3 = (17...19) \cdot 10^{-3}$ м; $K_3 = (21...24) \cdot 10^{-3}$ м.

Як змінні в часі, які будуть описувати стан гідроприводу, для визначення величини перерегулювання σ застосуємо: при прямому русі – величину тиску p_n , при зворотному русі – величину тиску p_p .

На рис. 2.8-2.10 подані впливи умов праці гідроприводу на величину перерегулювання при прямому русі мінеральної оліви.

При великому значенні d_c , малому значенні W_c величина перерегулювання мінімальна. Збільшення маси m_c вантажу веде до зростання величини перерегулювання σ .

При зворотному русі мінеральної оліви в приводі величини тисків p_c та p_p значно менші, ніж у випадку прямого руху. Тому величина перерегулювання за вказаними тисками не має суттєвого впливу на характер роботи гідроприводу і не створює умов, які могли б вивести з ладу його елементи.

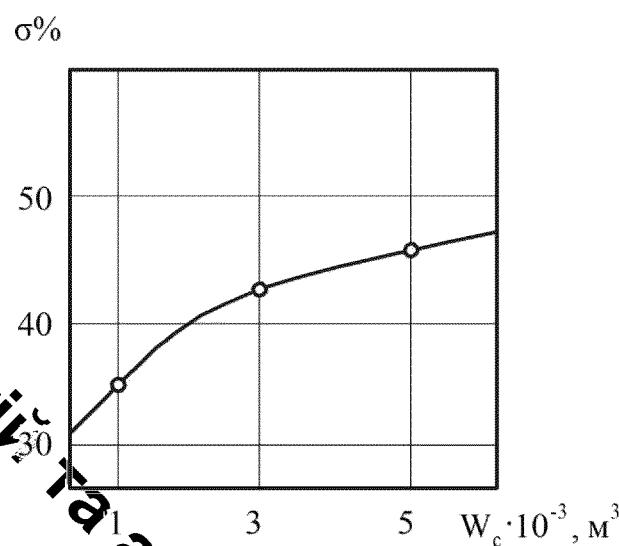


Рисунок 2.8 - Вплив об'єму ідролінії W_c на величину перерегулювання

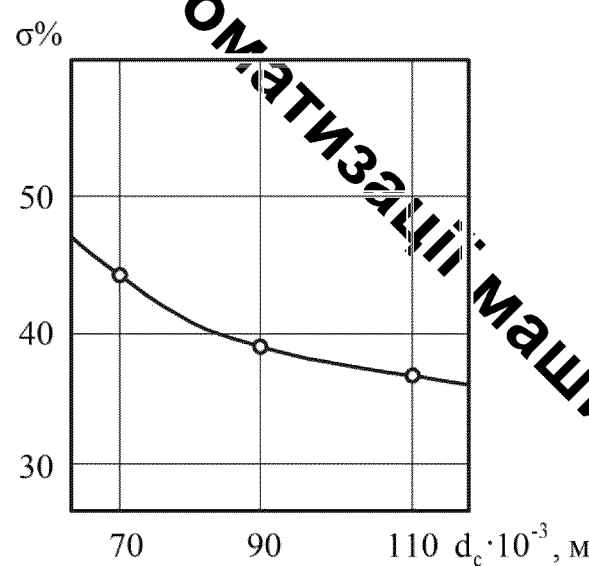


Рисунок 2.9 - Вплив діаметру поршня d_c на величину перерегулювання

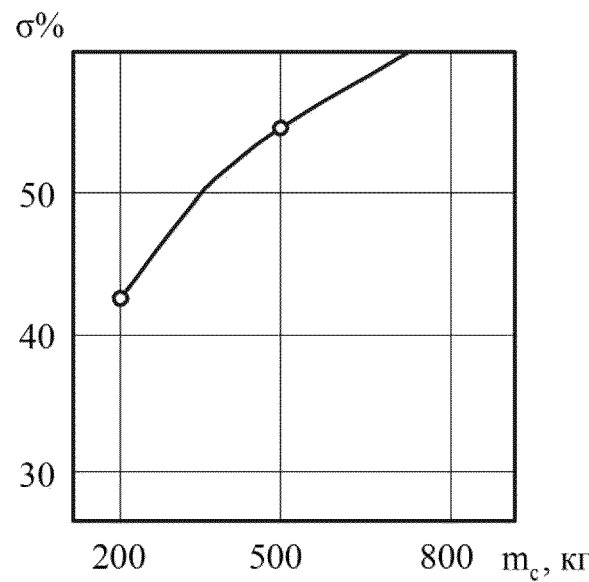


Рисунок 2.10 - Вплив маси поршня m_c на величину перерегулювання

На рис. 2.11 подано впливи параметрів гільмівного клапана гідроприводу на величину перерегулювання при прямому навантаженні. Збільшення значень K_3 і d_3 веде до зменшення величини перерегулювання. Заштрихована область показує діапазон змін конструктивних параметрів гальмівного клапана, в яких виконуються вимоги до гідроприводу по величині перерегулювання.

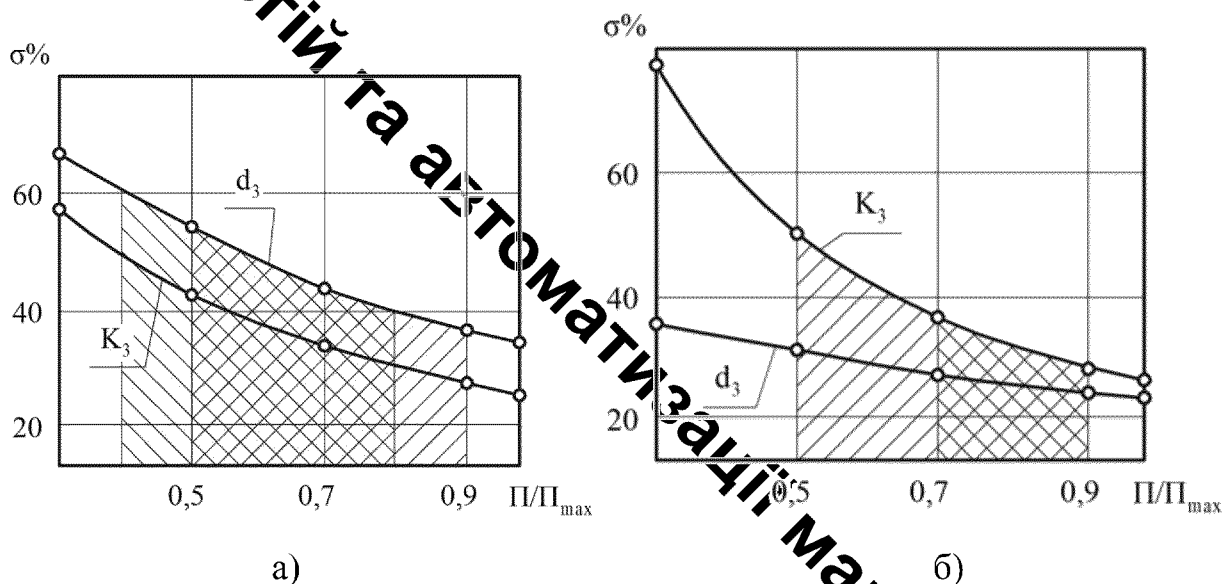


Рисунок 2.11 - Вплив параметрів регулятора тиску K_3 та d_3 на величину перерегулювання при прямому а) та зворотному б) русі мінеральної оліви

Вплив параметрів регулятора тиску d_3 та K_3 (див. рис. 2.11) на величину перерегулювання при зворотному русі мінеральної оліви трохи відрізняється від впливу цих параметрів при прямому русі мінеральної оліви. В обох випадках зниження часу перерегулювання може бути досягнуто за рахунок зменшення величин K_3 і d_3 .

Зробивши аналіз отриманих графіків на рис. 2.8-2.11 проводим ще раз уточнення діапазонів вибору значень параметрів гальмівного клапана для секційного гідророзподільника. Результати аналізу та розрахунків запишемо до табл. 2.4, які знову зменшують діапазон вибору параметрів.

Таблиця 2.4 – Діапазони параметрів гальмівного клапана гідроприводу через величину перерегулювання

Параметр	Одиниці вимірювання	Діапазон
Прямий рух мінеральної оліви		
d_3	м	$(12...19) \cdot 10^{-3}$
K_3	м	$(15...24) \cdot 10^{-3}$
Зворотній рух мінеральної оліви		
d_3	м	$(17...22) \cdot 10^{-3}$
K_3	м	$(21...27) \cdot 10^{-3}$

Об'єднавши множини діапазонів значень параметрів гальмівного клапана секційного гідророзподільника, отримаємо необхідні значення нових діапазонів, які дозволяють задовільнити умови роботи для прямого та зворотного руху мінеральної оліви: $d_3 = (17...19) \cdot 10^{-3}$ м та $K_3 = (21...24) \cdot 10^{-3}$ м. Отримані параметри дозволяють ефективно відкоректувати конструкції секційного гідророзподільника для подальшого удосконалення.

РОЗДІЛ З УДОСКОНАЛЕННЯ КОНСТРУКЦІЇ СЕКЦІЙНОГО ГІДРОРОЗПОДІЛЬНИКА

В цьому розділі викладено матеріали по дослідженням робочих процесів в секційному гідророзподільнику та удосконалення його деталі «Робоча секція гідророзподільника».

3.1 Дослідження потоку робочої рідини через канали деталі «Робоча секція гідророзподільника»

Після складних математичних розрахунків було запропоновано конструкцію секційного гідророзподільника, який забезпечує отримані вище характеристики (див. рис. 3.1) [8].

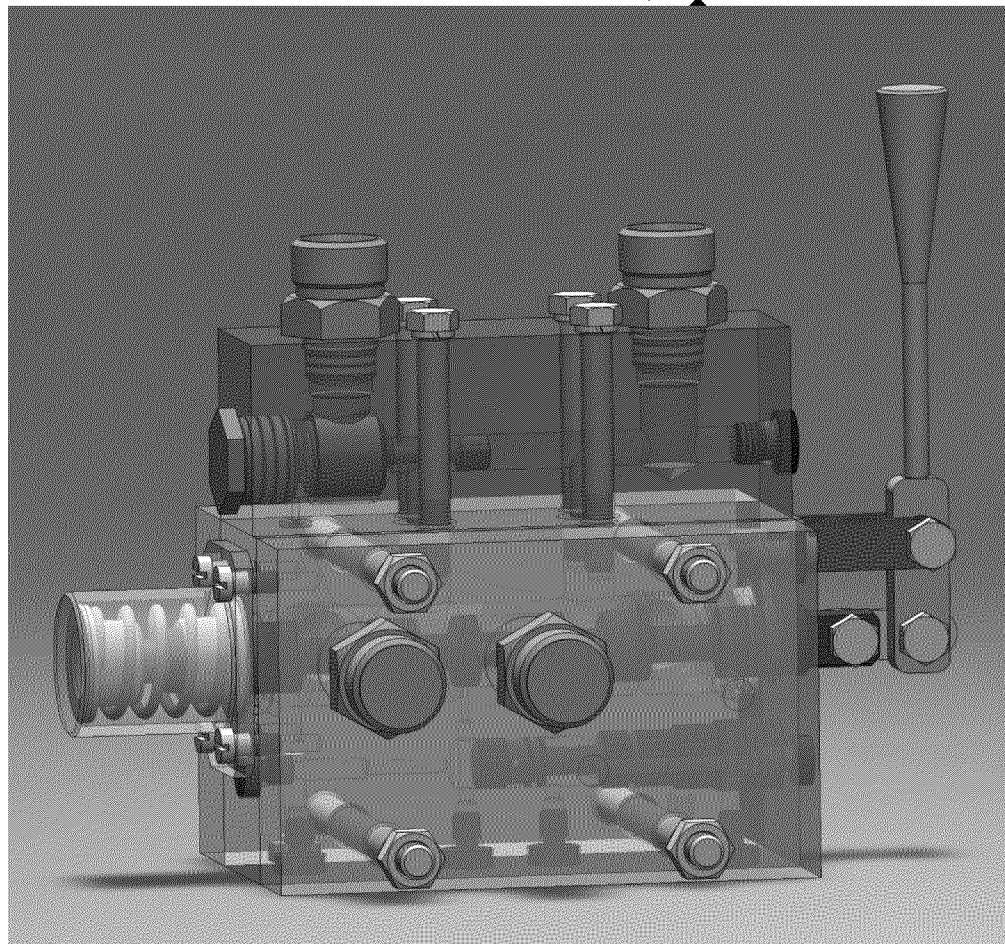


Рисунок 3.1 - Конструкція секційного гідророзподільника в програмі SolidWorks

Для запропонованої конструкції секційного гідророзподільника виконано роботи креслення його деталей, зокрема, креслення деталі «Робоча секція гідророзподільника». На рис. 3.2 подано конструкцію секційного гідророзподільника. В основному розрізі секційного гідророзподільника входять такі елементи: нижня 1 і верхня 2 робочі секції гідророзподільника, гідророзподільний золотник 3, регулятор тиску 4, логічний клапан 5, пружини 6 та 7, захисний ковпак 8, втулки пружини 9 і 10, гвинт 11, рукоятка 12, опора важеля 13, заглушка 14, 15 та чотири грабок 16. Пружина 6, захистний ковпак 8, гвинт 11 та втулки 9 і 10 рутворюють механізм встановлення гідророзподільного золотника 3 в нейтральну позицію.

Секційний гідророзподільник забезпечує функціонування гідроприводу в 4 режимах: розвантаження гідронасоса, регульовання швидкості гідродвигуна, максимальної швидкості гідродвигуна та захисту гідроприводу від перевантаження.

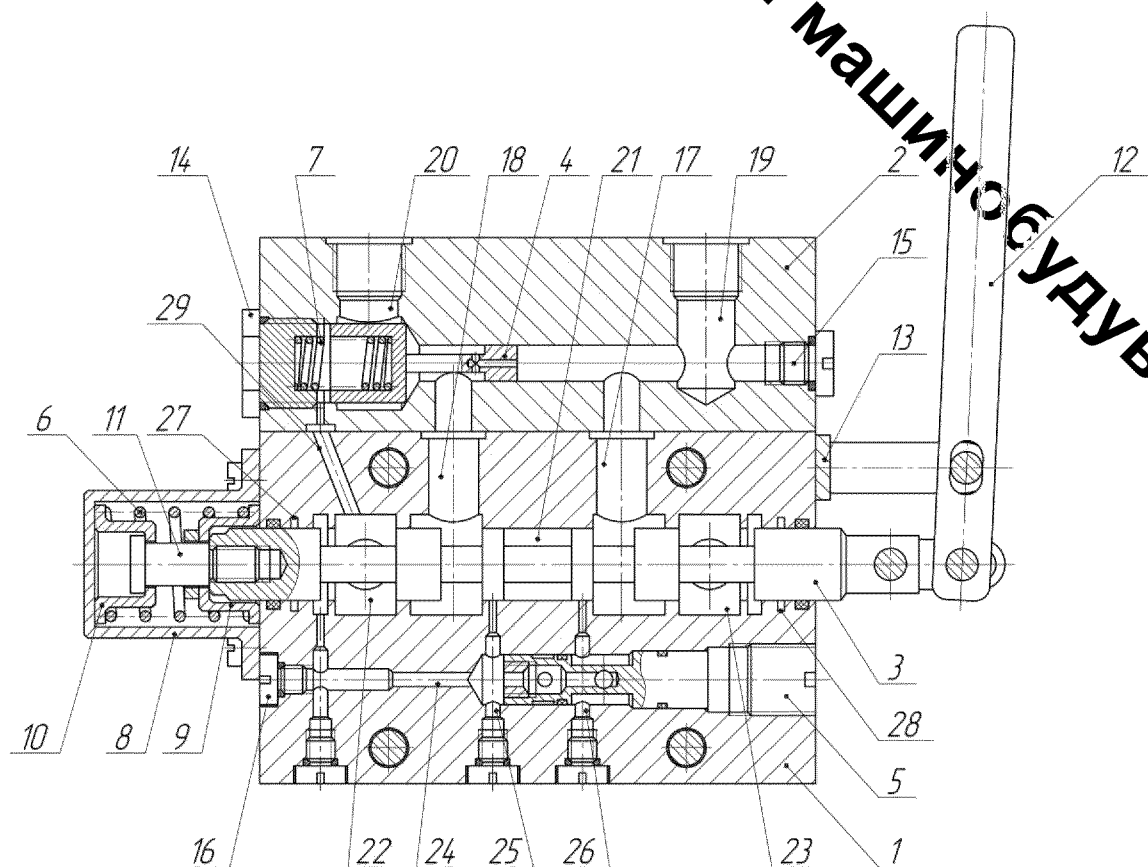


Рисунок 3.2 - Конструкція секційного гідророзподільника гідроприводу мобільної робочої машини

Маючи конструкцію секційного гідророзподільника та знаючи параметри переходних процесів під час роботи гідроприводу в різних режимах можна провести подальшу удосконалення деталі «Робоча секція гідророзподільника». Удосконалення проводимо в програмі SolidWorks Flow Simulation [20]. Вихідною моделлю для удосконалення деталь «Робочої секції гідророзподільника», яка виготовлена із сталевого бруска та має усі канали отримані в результаті механічної обробки (див. рис.3.3).

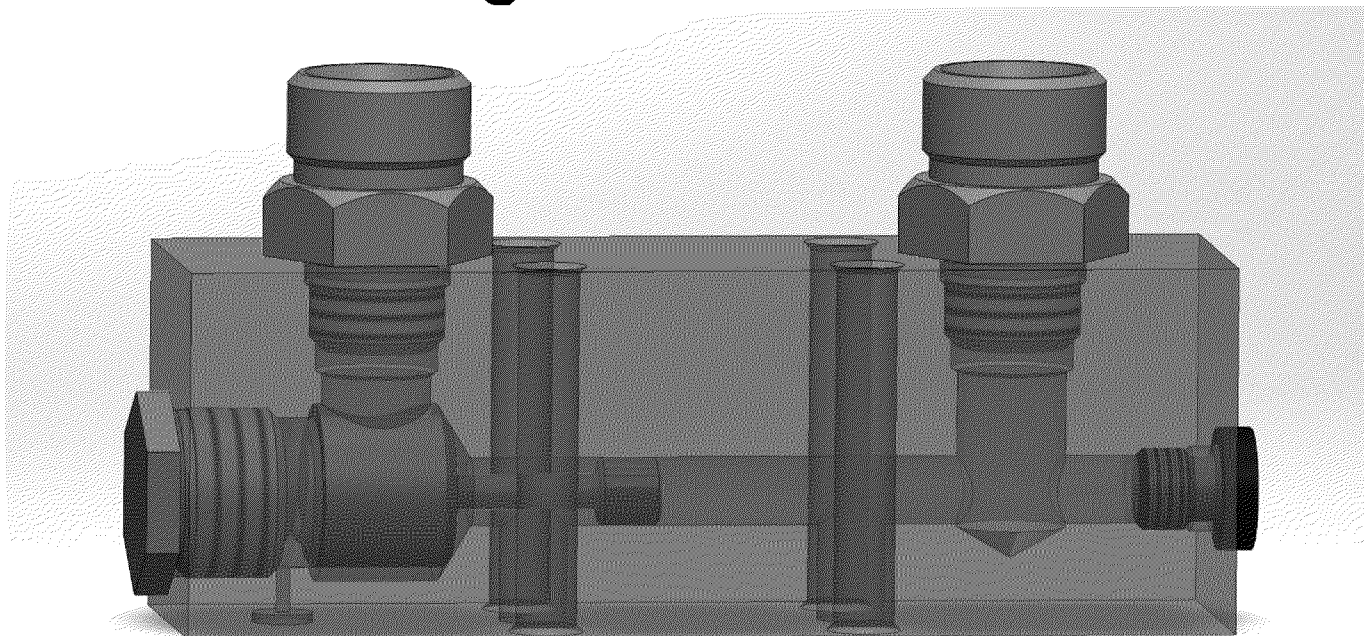


Рисунок 3.3 - Вузол робочої секції гідророзподільника виготовлений із сталевого бруска шляхом механічної обробки

Нашатування для імітаційних досліджень проводимо через діалогове вікно модуля SolidWorks Flow Simulation (див. рис. 3.4, а). Під час запуску одразу запропоновано призначити назву проекту (Project name), попередньо називаємо «Project(1)», а інші параметри конфігурації не змінюємо. Натискаємо «Next».

Наступним етапом є івбір системи числення (Unit system) для нашого проекту імітаційного моделювання (див. рис. 3.4, б). Під час імітаційного моделювання будемо використовувати систему числення SI (m·kg·s). Обираємо її та натискаємо «Next».

Кафедра

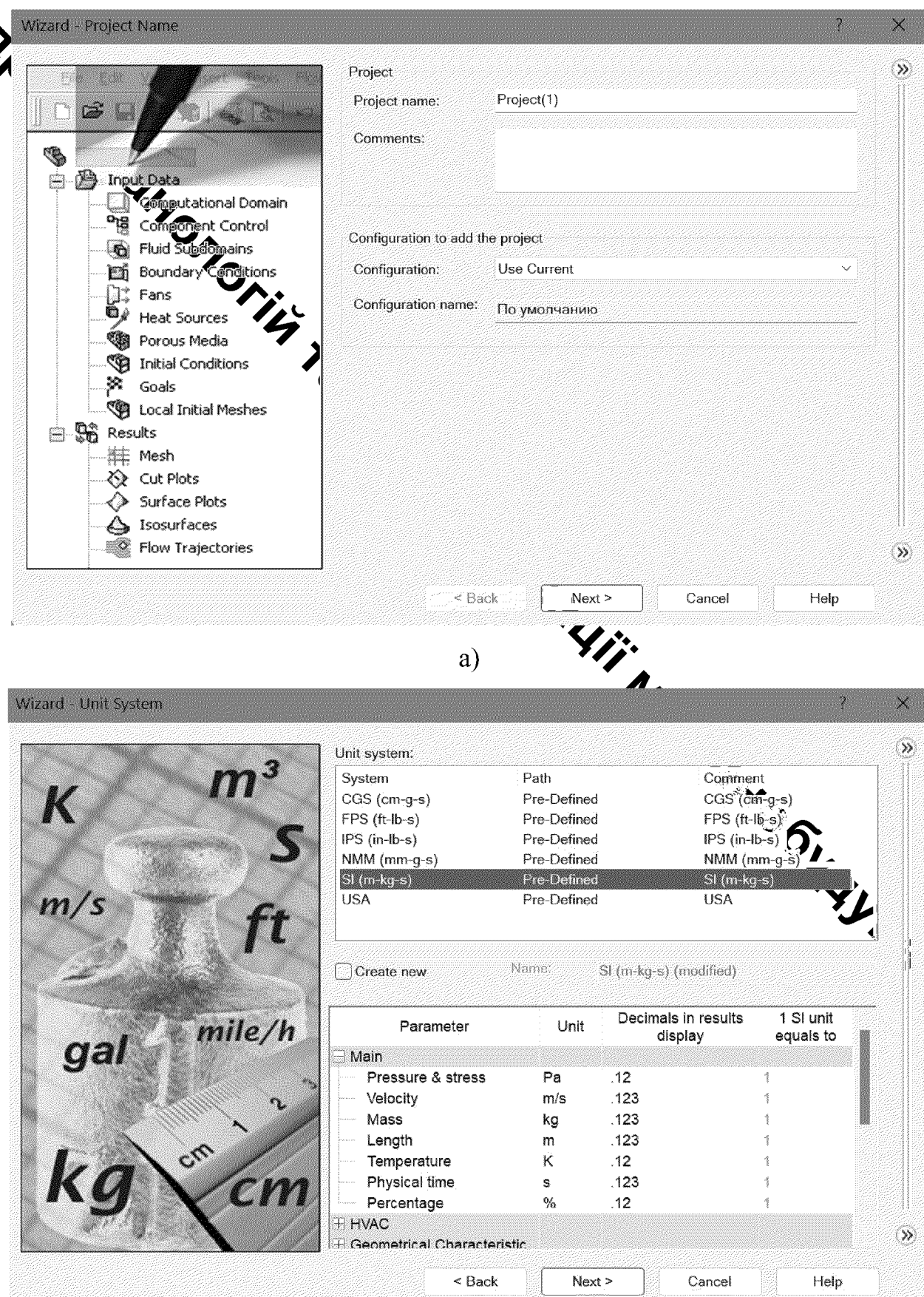


Рисунок 3.4 - Діалогове вікно проекту імітаційного моделювання а) та вибір системи числення б)

Наступний етап – це вибір типу задачі (Analysis Type), яка буде задана для розв'язку (див. рис. 3.5). Обираємо позначення імітаційного моделювання в середині нашої моделі (Internal). Відносно врахування замкнутих порожнин (Consider closed cavities) знімамо галочку, щоб не врахувати кавітаційні процеси у каналах, а також добавимо гравітацію (Gravity) по осі Y у відємному значенні: $-9,81 \text{ м/с}^2$. Натискаємо «Next».

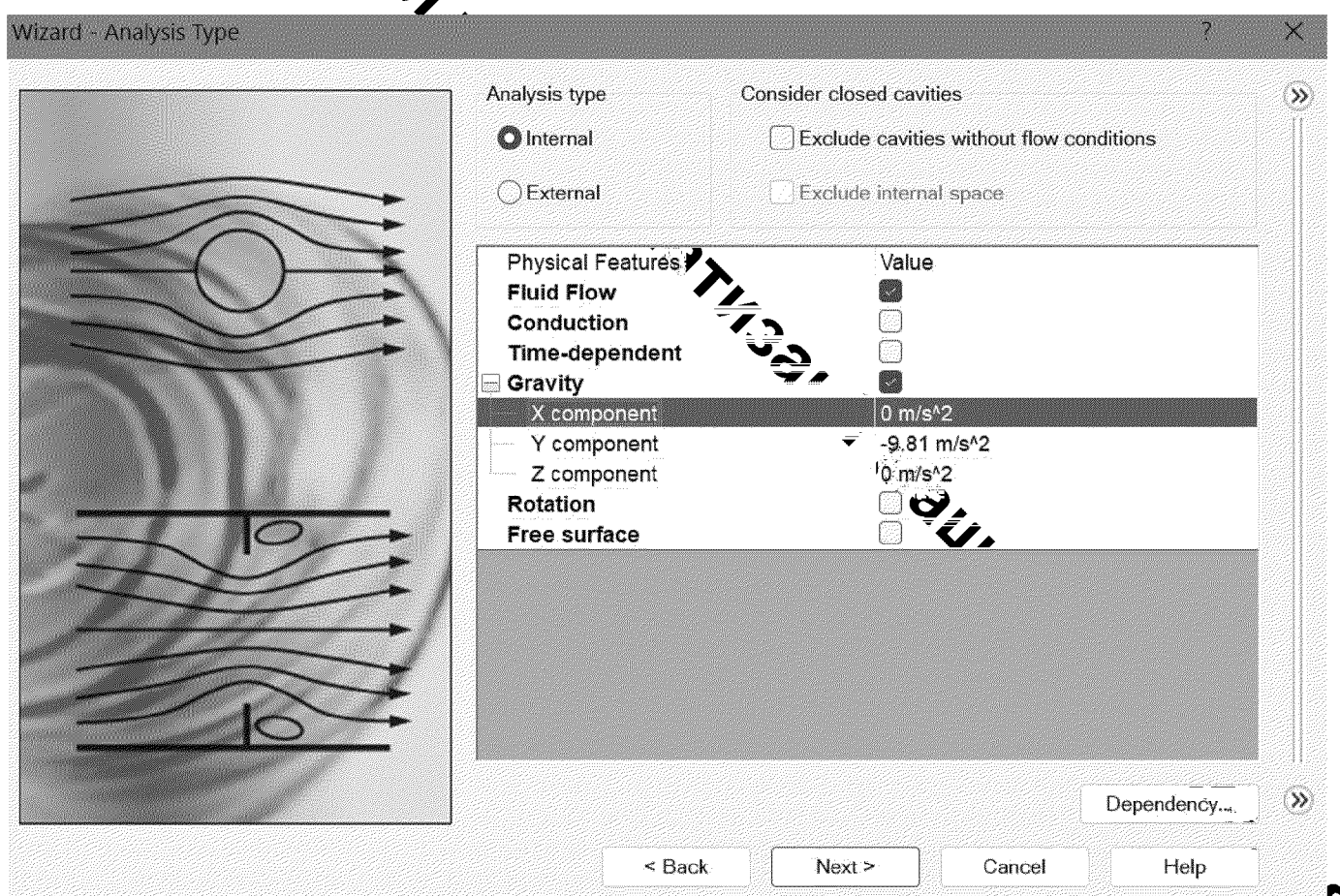


Рисунок 3.5 - Вибір типу задачі імітаційного моделювання

На наступному етапі потрібно обрати середовище (див. рис. 3.6), вид мінеральної оліви, які буде рухатися по наших каналах у вікні (Default Fluid). Шукаємо неньютонівські рідини (Non-Newtonian Liquids) та обираємо мінеральну оливу (Olive oil). В даному розділі діалогового вікна є можливість додати власні рідини з їх властивостями, однак будемо використовувати стандартний варіант. Натискаємо «Next».

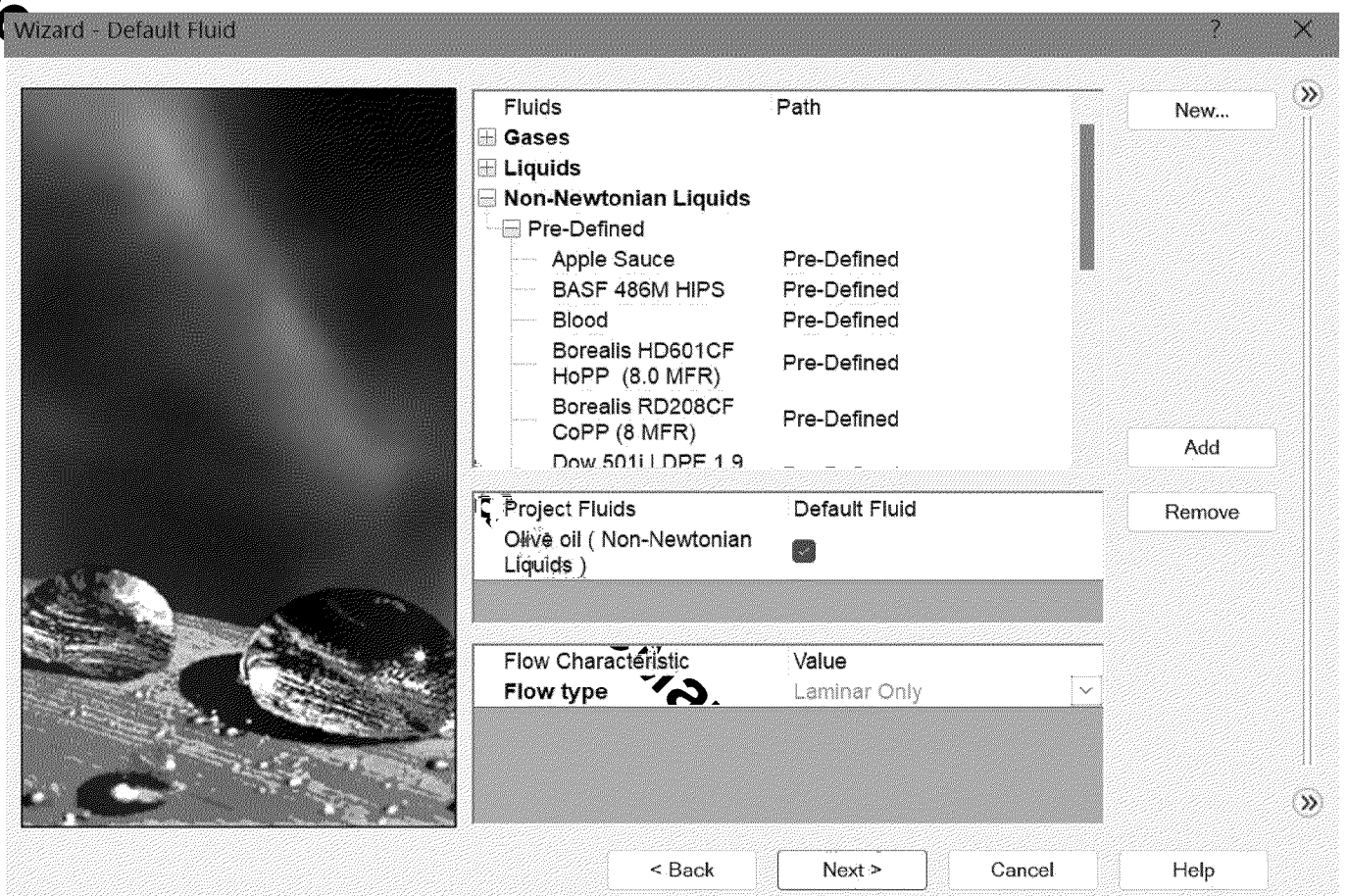


Рисунок 3.6 - Вибір середовище для імітаційного моделювання

В наступному діалоговому вікні (Wall Conditions) можна обрати параметри поверхонь та властивостей матеріалів. Прописуємо шорсткість (Roughness) внутрішньої поверхні каналів в межах 40 мк та натискаємо «Next».

Наступне діалогове вікно (Initial Conditions) дозволяє обрати параметри, які пов'язані із навколишнім середовищем: тиском (Pressure) навколишнього середовища 101325 Па, температурою (Temperature) навколишнього середовища 293,2 K, а також можливих параметрів швидкості течії повітря (Velocity Parameters). Запропоновані показники залишаємо незмінними та завершуюмо роботу діалогового вікна (Finish).

Після завершення роботи діалогового вікна (Wizard) з'являється доступ до дерева побудови проєкту із імітації потоків робочої рідини. Наступний етапом буде розташування заглушок для наших каналів. Для обрання інструменту побудови заглушок використовуємо такий шлях із панелі меню SolidWorks: Tools – Flow Simulation – Tools – Create Lids, та обираємо поверхні які маємо заглушити.

Кафедра

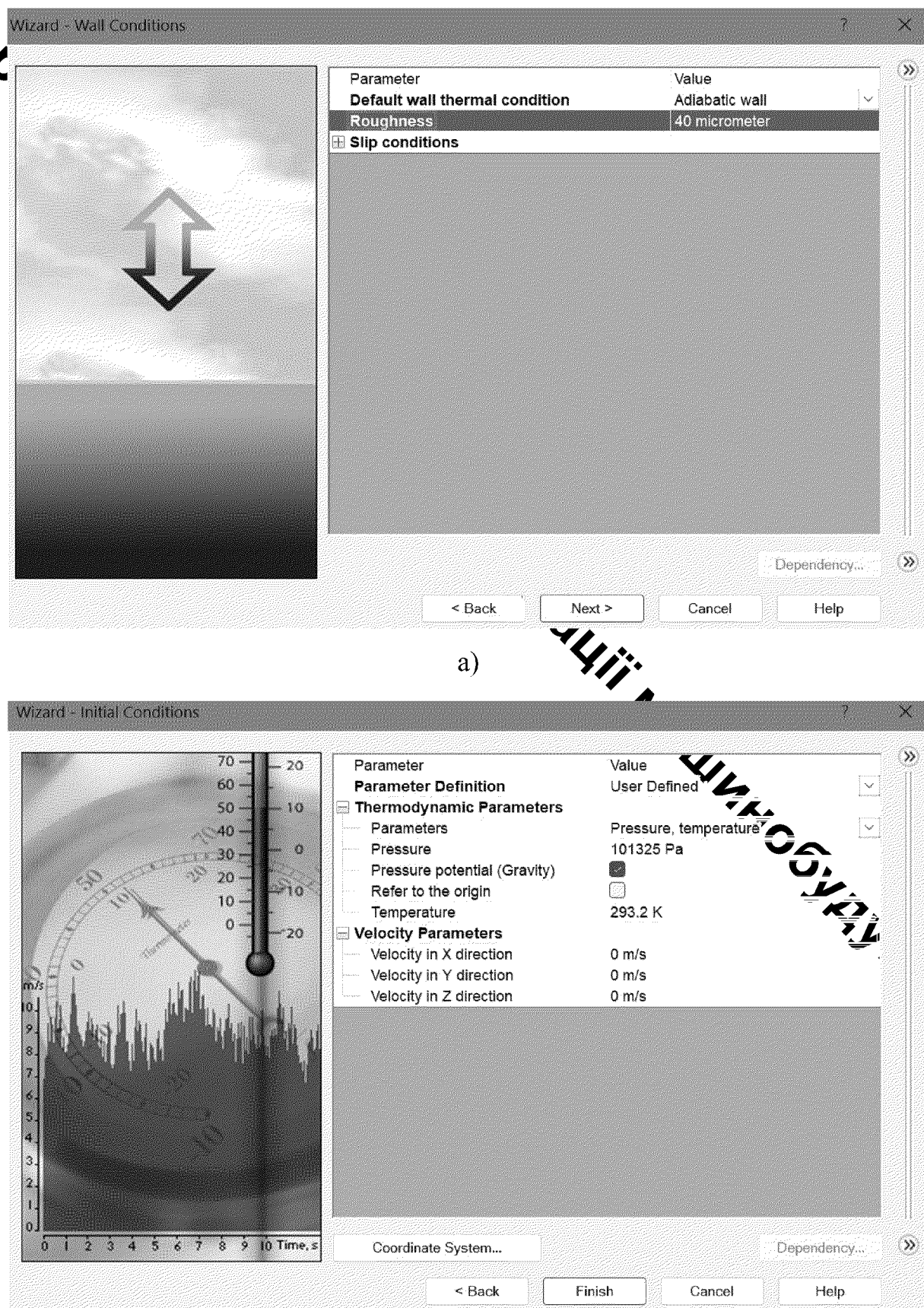


Рисунок 3.7 - Вибір параметрів середовища моделювання Wall Conditions а) та Initial Conditions б)

Після закриття заглушками об'єму середовища для моделювання переходимо до вибору граничних умов (Boundary Conditions). Настискаємо правої кнопкою миші в дереві побудови на позначці Boundary Conditions та в контекстному меню обираємо Insert Boundary Conditions та вводимо параметри (див. рис. 3.8).

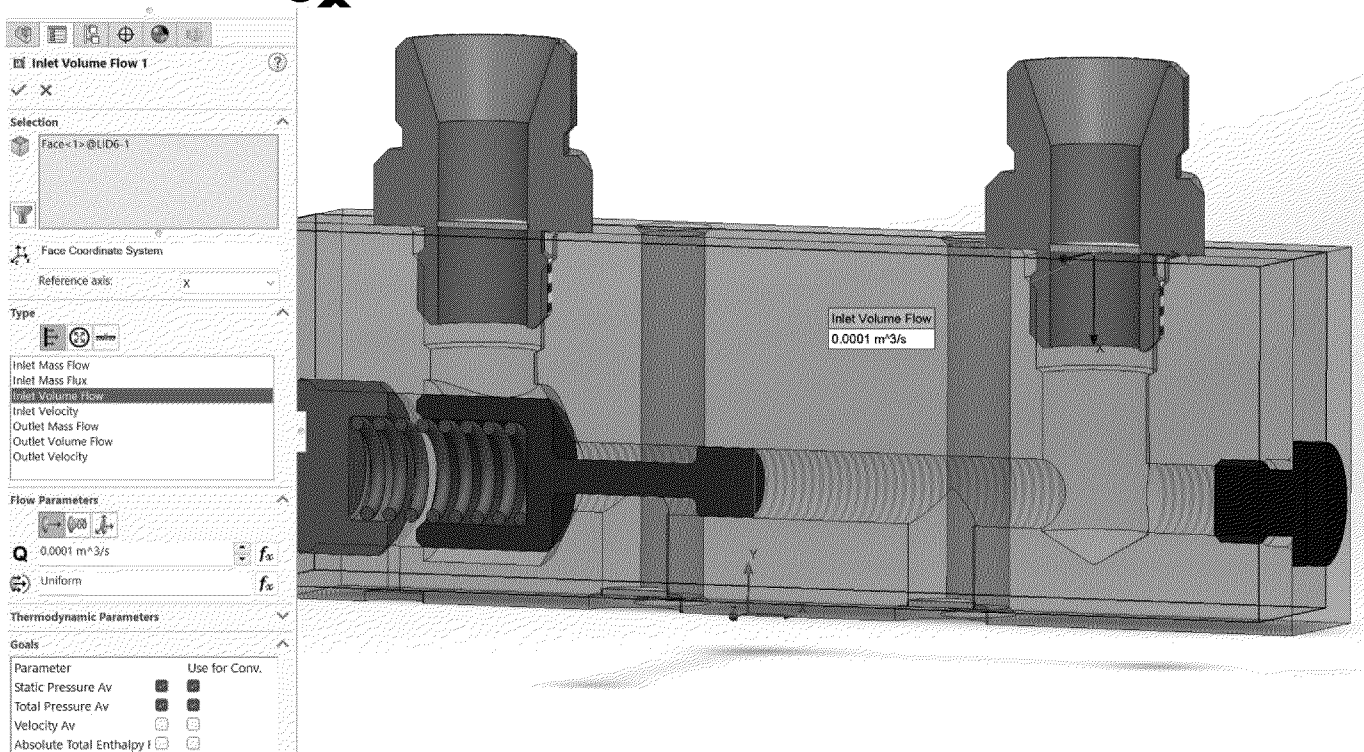


Рисунок 3.8 - Граничні умови по подачі через канали деталі «Робоча секція гідророзподільника»

На рис. 3.8 продемонстровано, що введено подачу (Inlet Volume Flow) через канали деталі «Робоча секція гідророзподільника» в межах $0,0001 \text{ m}^3/\text{s}$, що відповідає мінімально можливій подачі. Обираємо повехню з відки буде вестися подача – низ нашої заглушки, яка знаходиться в штуцері.

Наступним етапом вказуємо тиск (Environment Pressure) мінеральної оліви, яка знаходиться на вході в штуцер (див. рис. 3.9). Параметр тиску приймає мінімальний – рівний атмосферному.

Після цих налаштувань запускаємо розрахунок параметрів імітаційного моделювання через кнопку «Run» (див. рис. 3.10).

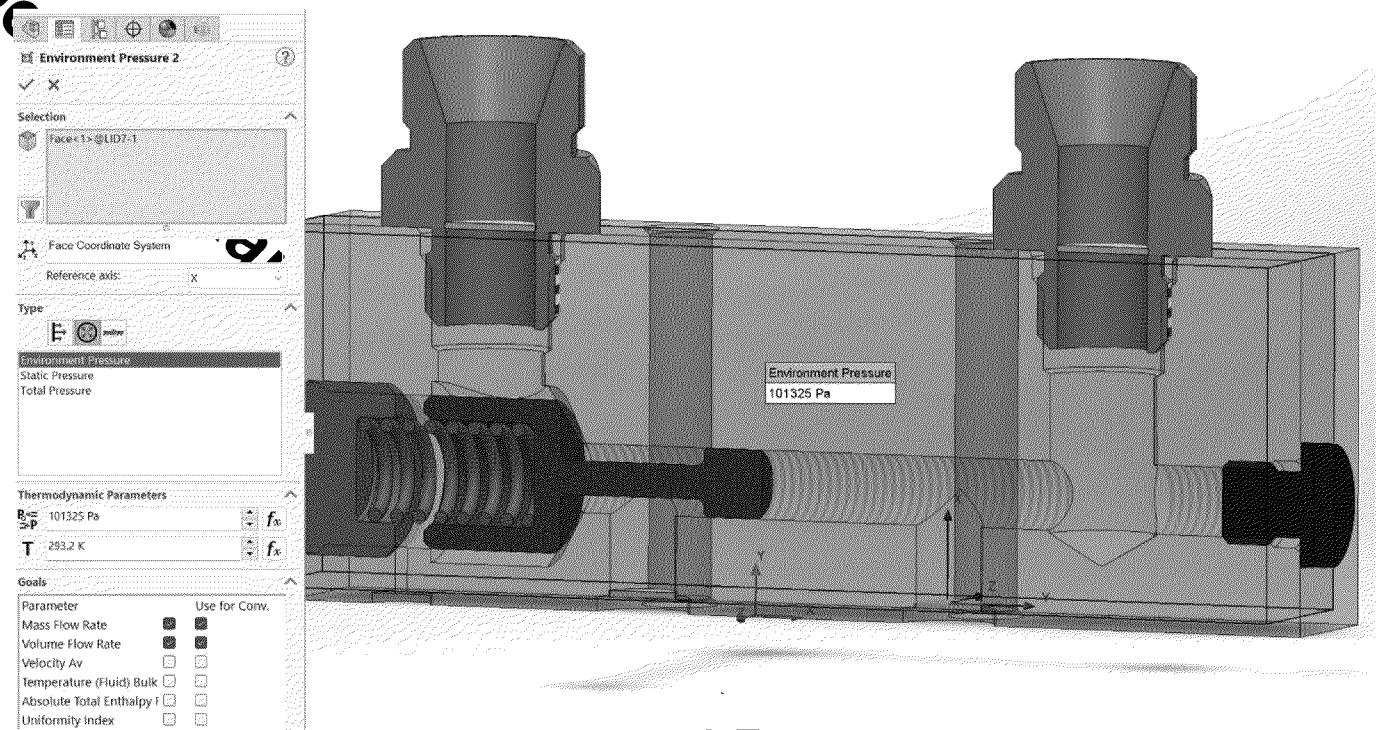


Рисунок 3.9 - Границна умова по визначеню тиску на вході в штуцер

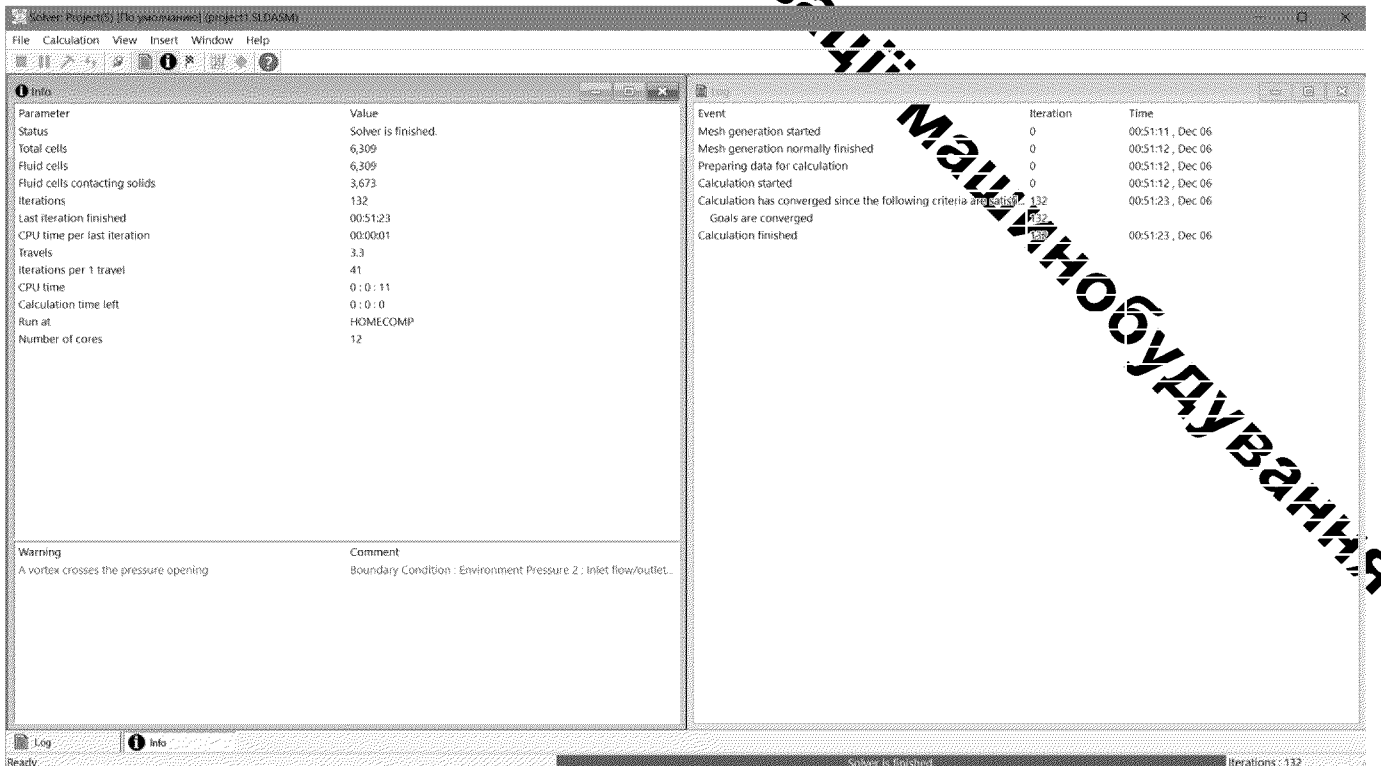


Рисунок 3.10 - Розрахунок параметрів імітаційного моделювання

Після розрахунку з'являється доступ до обробки результатів розрахунку. Для роботи з результатами будемо використовувати Flow Trajectories для оцінки траекторії руху течії мінеральної оліви (див. рис. 3.11).

ДАУВАННЯ

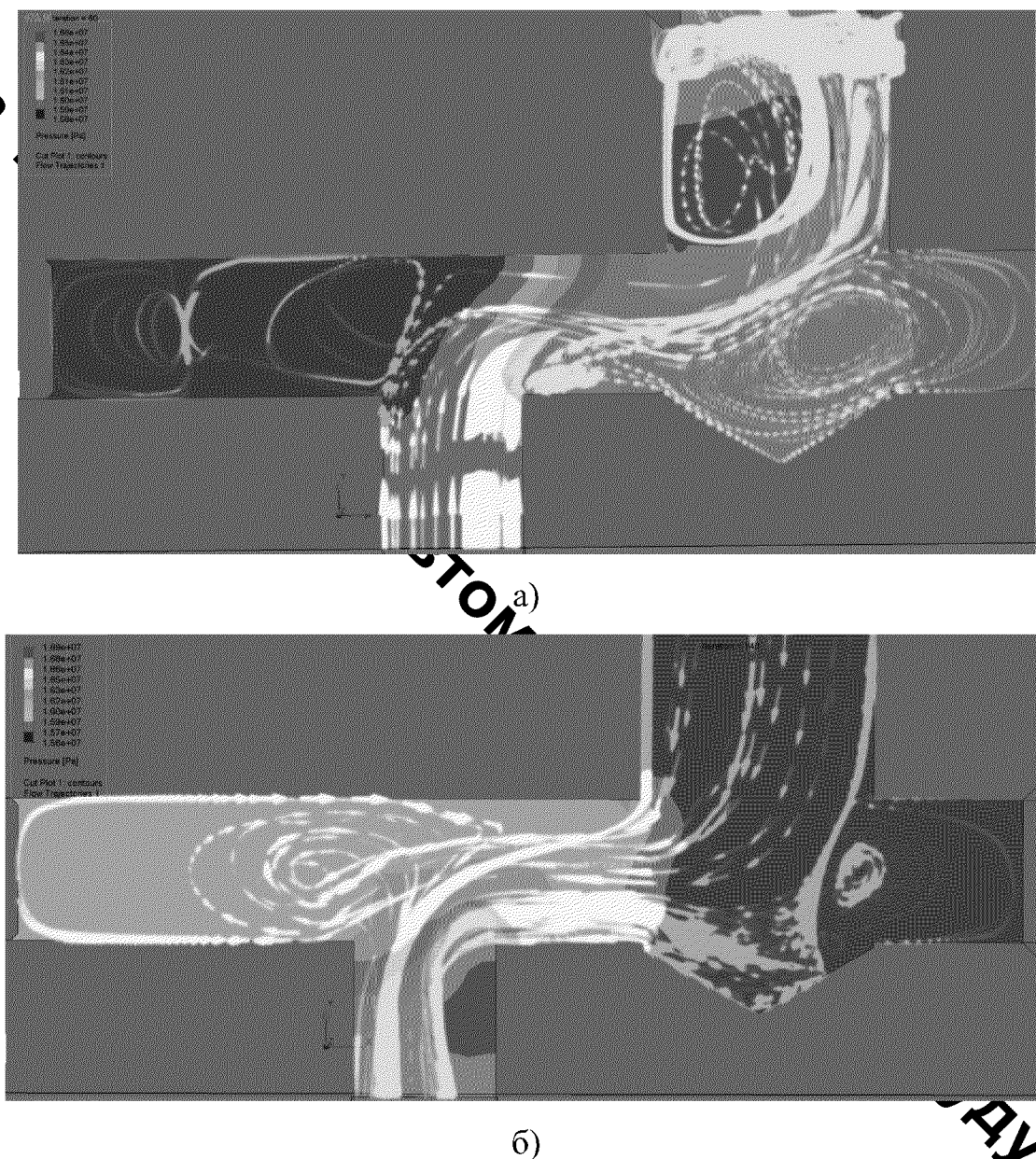
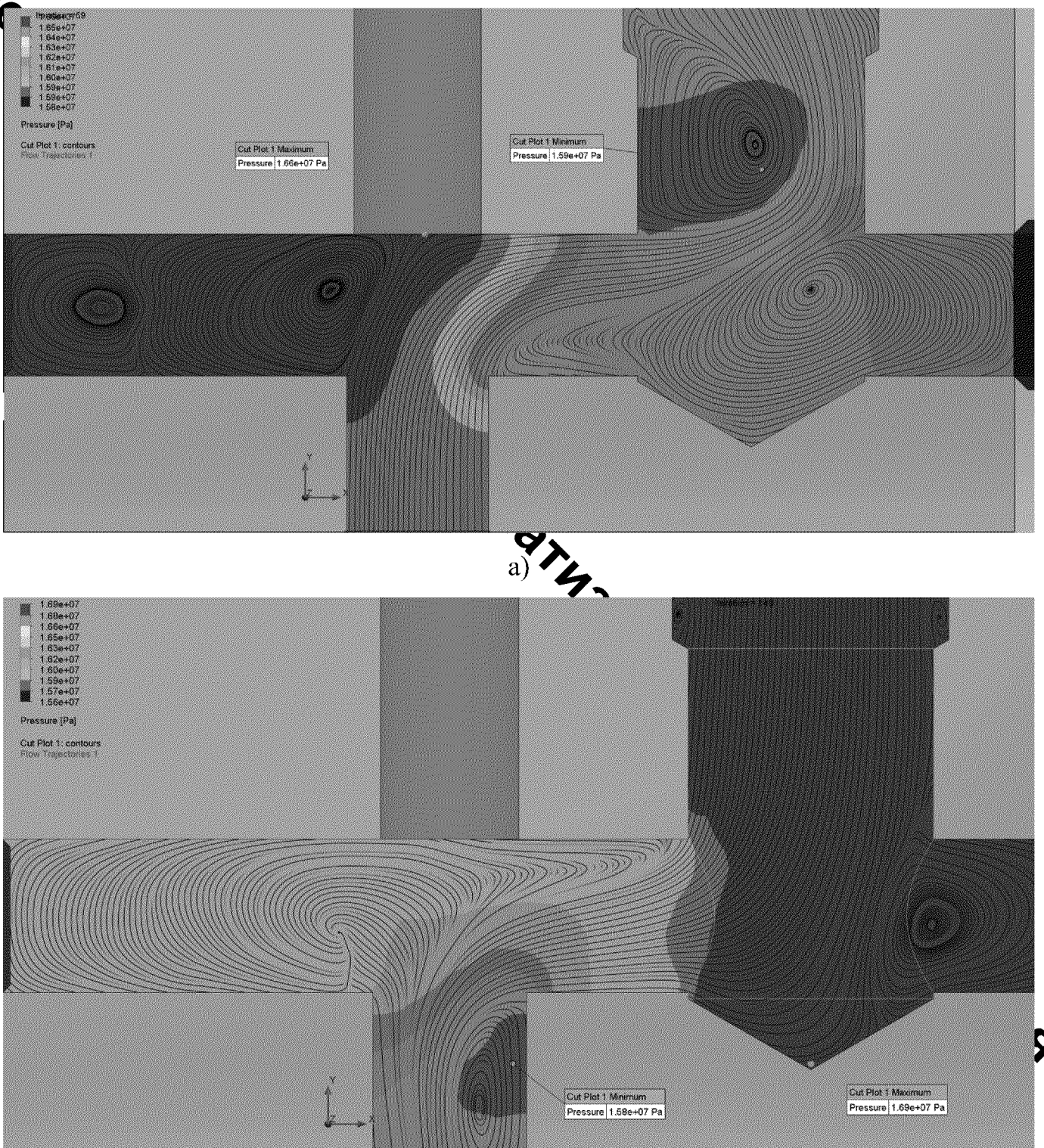


Рисунок 3.11 - Траекторія при прямому а) та зворотному б) руху течії мінеральної оліви в розрізі каналу деталі «Робоча секція гідророзподільника»

По отриманих результатах зрозуміло про наявність турбулентних потоків в каналах деталі «Робоча секція гідроприводу». За допомогу інструменту Cut Plots з відображенням Streamlines було виконано розріз каналу гідроприводу, та визначено, які тиски в розрізі та знайдено найбільше і найменше значення (див. рис. 3.12). Отримані результати свідчать про значні втрати тиску (до 5% при прямому та до 7,7% при зворотньому русі мінеральної оліви) в каналах деталі «Робоча секція гідророзподільника».



(б)

Рисунок 3.12 - Розріз каналу із візуалізацією зон розподілення тиску для початкової деталі «Робоча секція гідророзподільника» при прямому а) та зворотньому б) русі мінеральної оліви

Зміни в конструкції деталі «Робоча секція гідророзподільника», такі як, скручення в результаті лиття, дозволяю покращити ситуацію. Трохи краща картина спотерігається, під час використання ливарних радіусів в 1 мм (див. рис. 3.13).

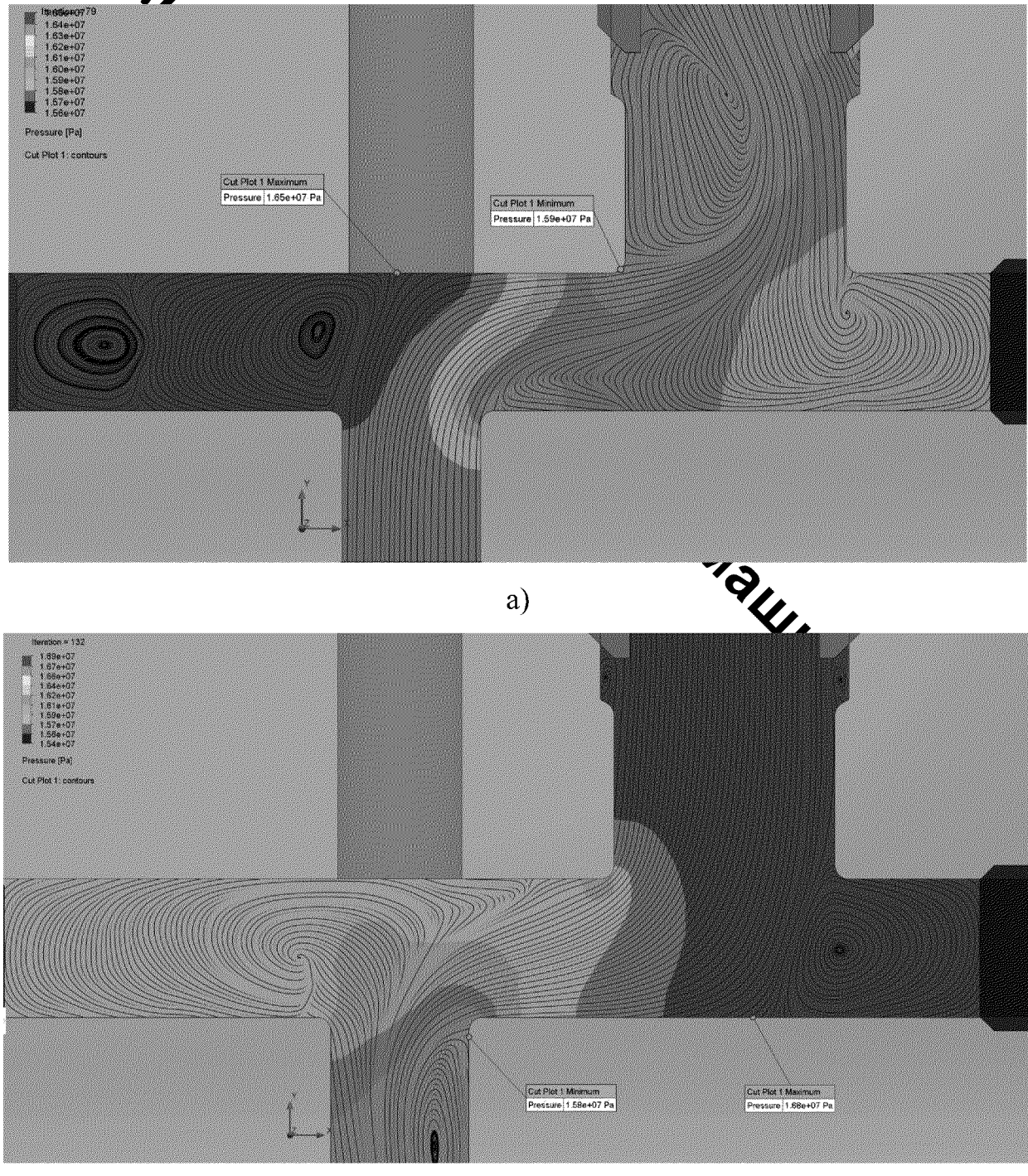


Рисунок 3.13 - Розріз каналу при прямому а) та зворотньому б) русі мінеральної оліви для деталі «Робоча секція гідророзподільника» із ливарними радіусами 1 мм

Візуалізацію течії робочої рідини для деталі «Робоча секція гідророзподільника» виготовлення литтям із скругленнями 3 мм показано на рис. 3.14.

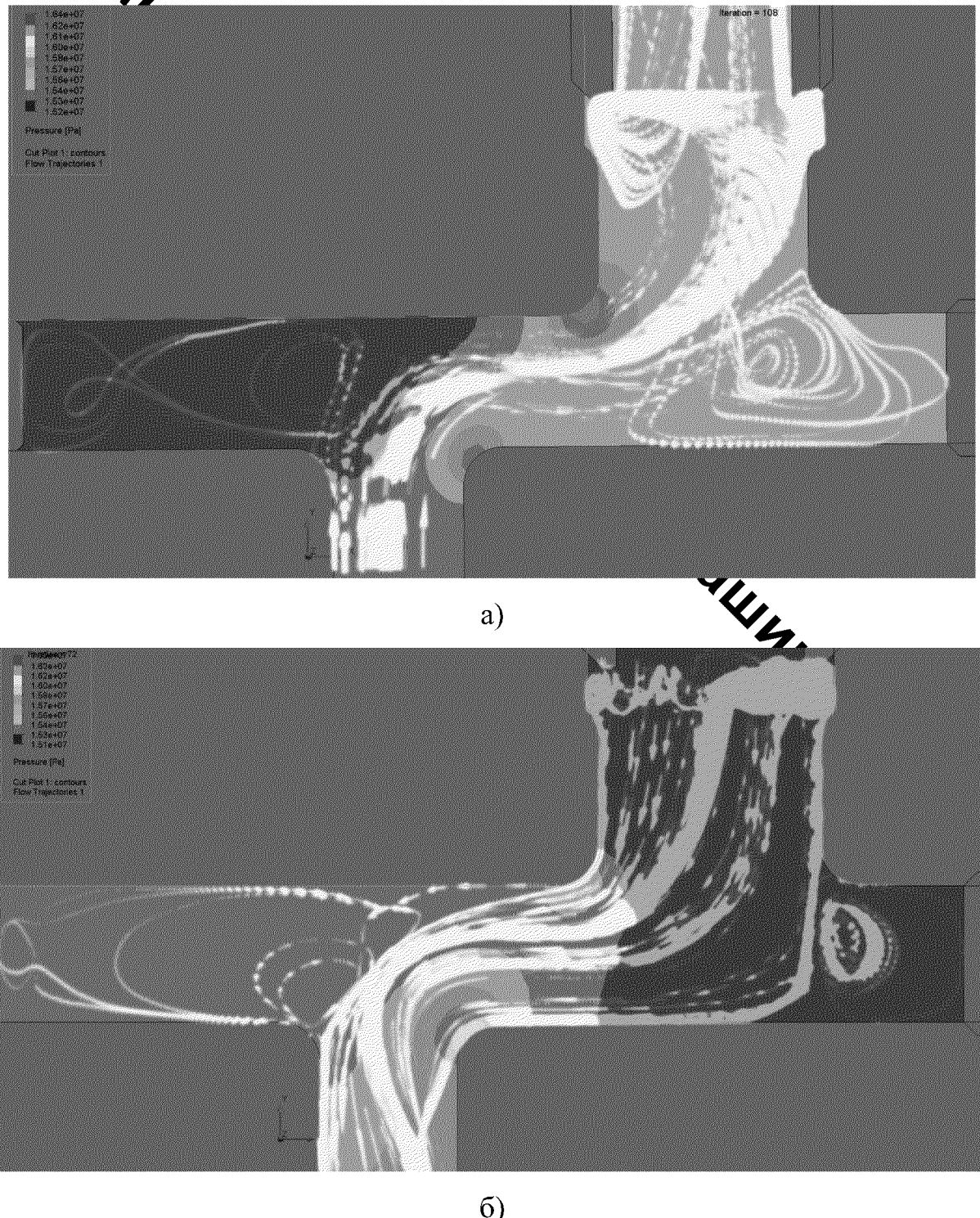


Рисунок 3.14 - Траекторія при прямому а) та зворотному б) руку течії мінеральної оліви в деталі «Робоча секція гідророзподільника» при ливарних радіусах 3 мм

Подальше збільшення ливарних радіусів в деталі «Робоча секція гідророзподільника» призводить як до позитивної динаміки із зменшенням втрат тиску (див. рис. 3.15-3.17).

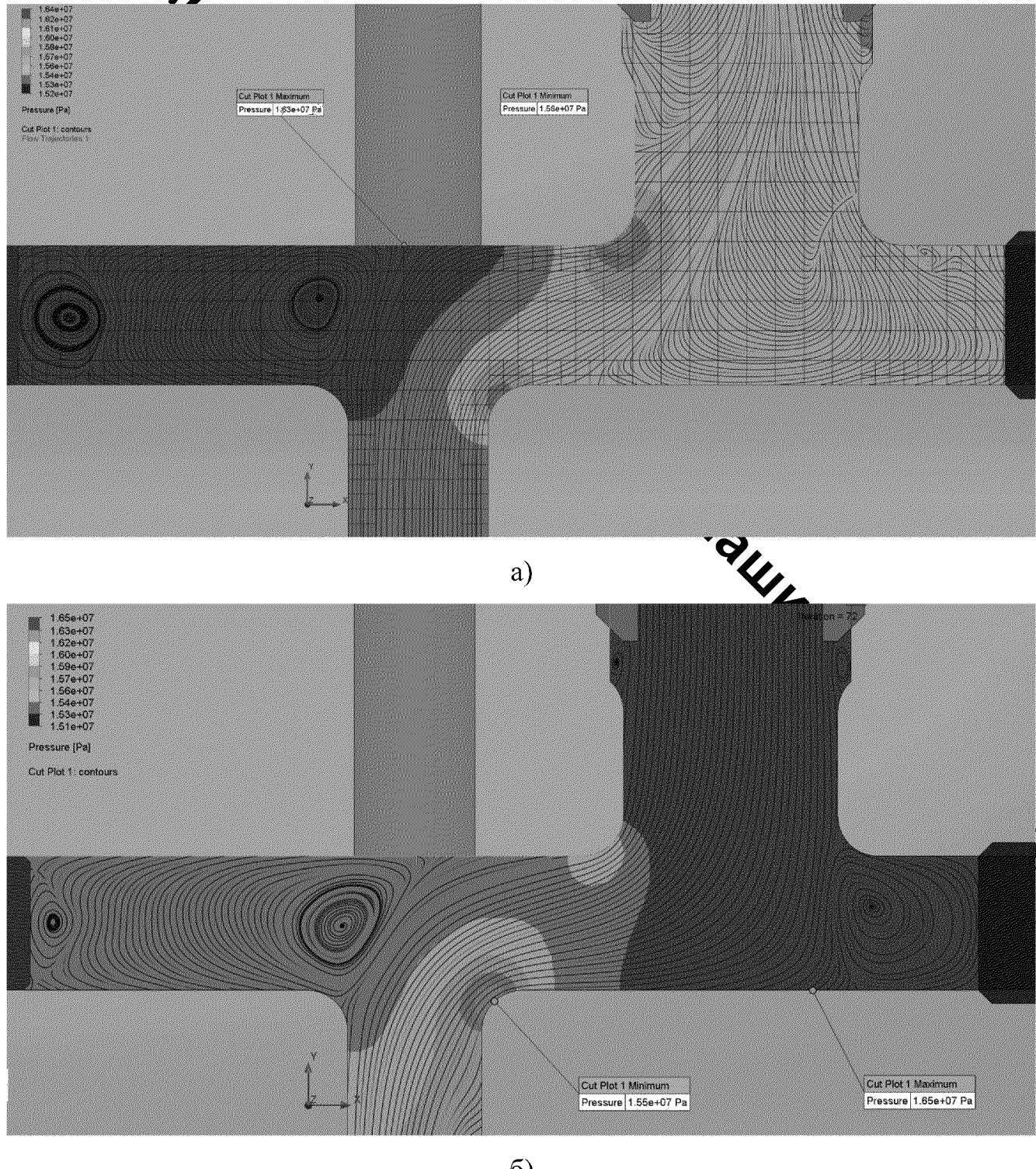


Рисунок 3.15 - Розріз каналу при прямому а) та зворотньому б) русі мінеральної оліви для деталі «Робоча секція гідророзподільника» із ливарними радіусами 3 мм

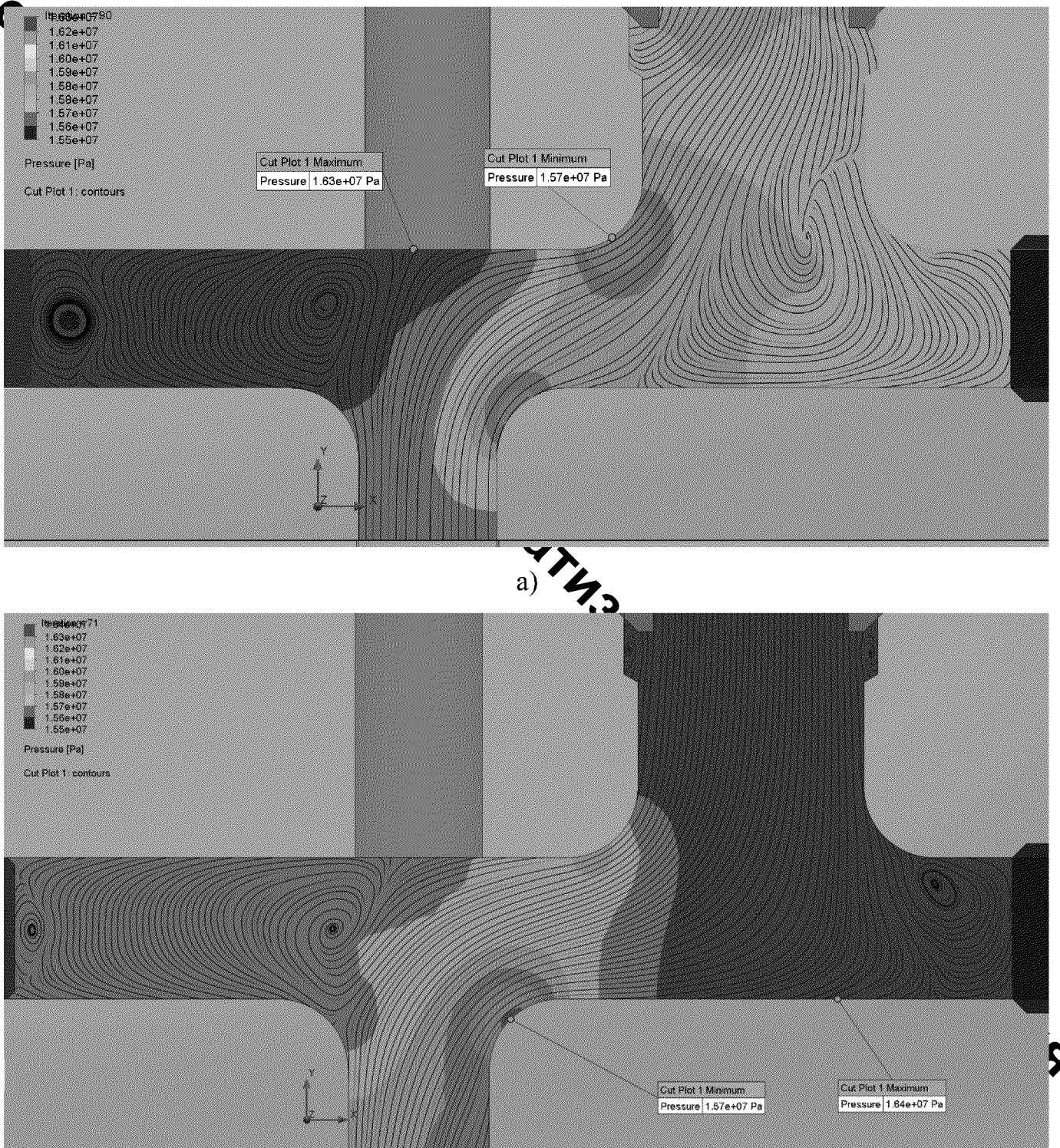


Рисунок 3.16 - Розріз каналу при прямому а) та зворотньому б) русі мінеральної оліви для деталі «Робоча секція гідророзподільника» із ливарними радіусами 5 мм

Отримані результати зведені до графіку (див. рис. 3.18), за яким можна зрозуміти динаміку впливу ливарних радіусів на втрати тиску мінеральної оліви в каналах деталі «Робоча секція гідророзподільника».

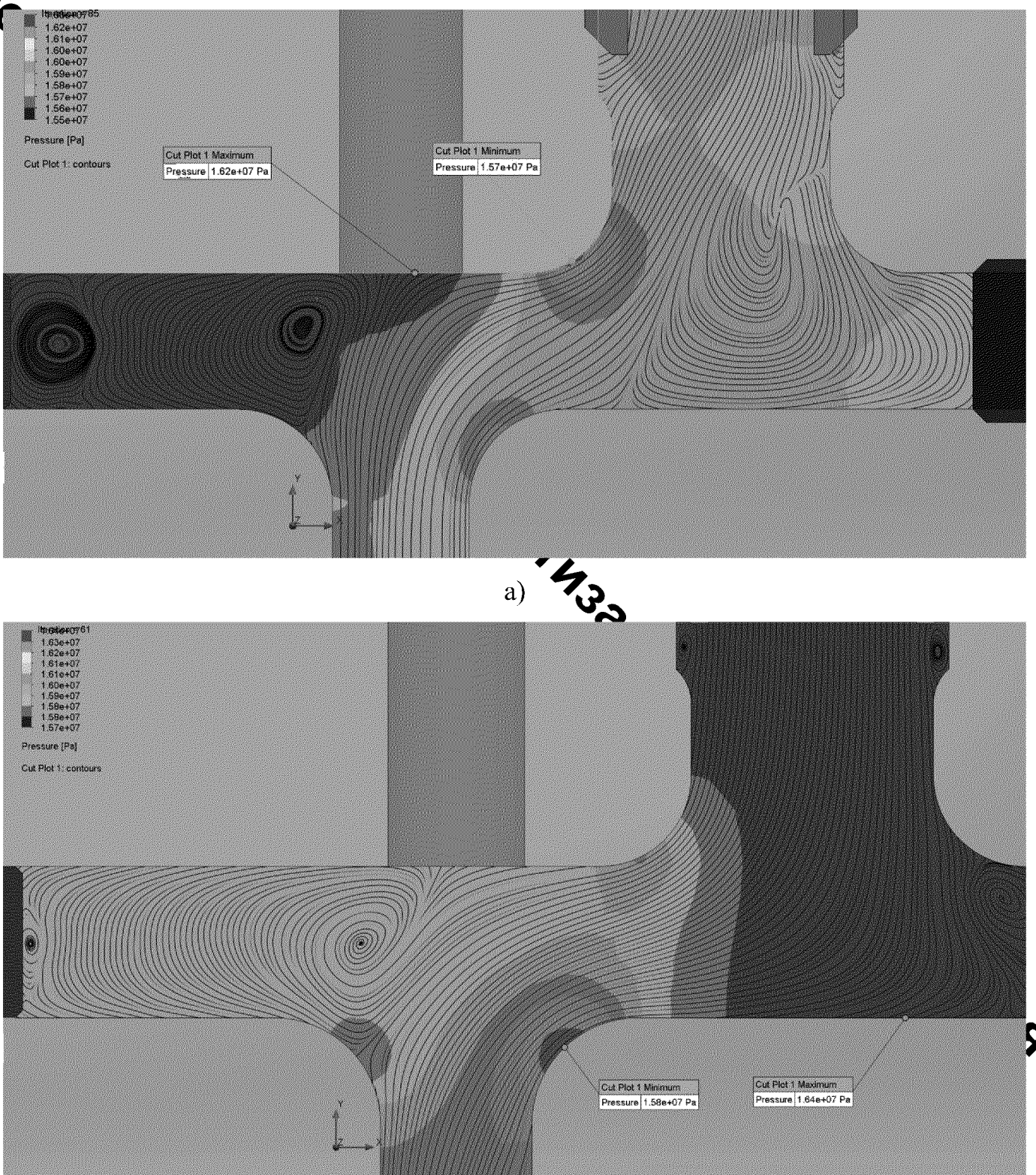


Рисунок 3.17 - Розріз каналу при прямому а) та зворотньому б) русі мінеральної оливи для деталі «Робоча секція гідророзподільника» із ливарними радіусами 7 мм

Динаміка зменшення втрат тиску призупиняє покращуватися після отримання ливарних радіусів в 3 мм. Це можна врахувати під час проєктування.

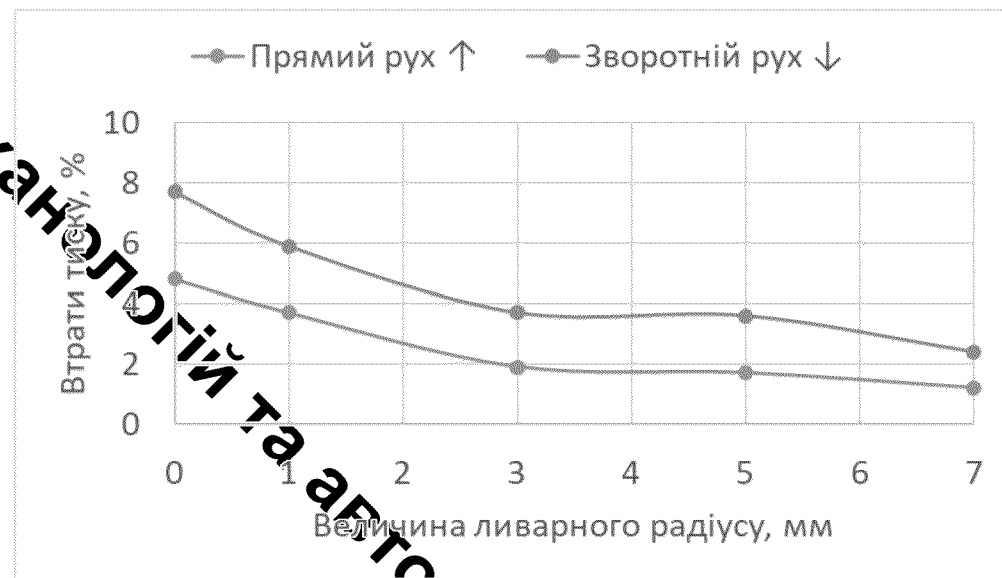


Рисунок 3.18 - Залежність втрат тиску в каналах деталі «Робоча секція гідророзподільника» від величини зон дифузії ливарних радіусів

В результаті аналізу отриманих даних (див. рис. 3.18) приймаємо рішення використовувати ливарні радіуси від 3 мм для формування переходів в каналах деталі «Робоча секція гідророзподільника».

Отриманий графік залежності, що показує різницю у місцях втратах тиску мінеральної оліви під час переходу від більшого діаметру каналу в менший і навпаки. Крапці показники по зменшенню втрат зафіксовані під час пропуску руху робочої рідини, від меншого (10 мм) діаметра каналу до більшого (16 мм).

3.2 Конструкція удосконаленої деталі «Робоча секція гідророзподільника»

Удосконалена деталь «Робоча секція гідророзподільника» (рисунок 3.19) тепер вже виготовляється зі срого чавуну СЧ18 і потрібна для розміщення в ній золотників в ступінчастому отвірі за позицією 1, а також відповідає за напрямок руху потоку мінеральної оліви. Вона входить в таку складальну одиницю як секційний гідророзподільник (див. рис. 3.1).

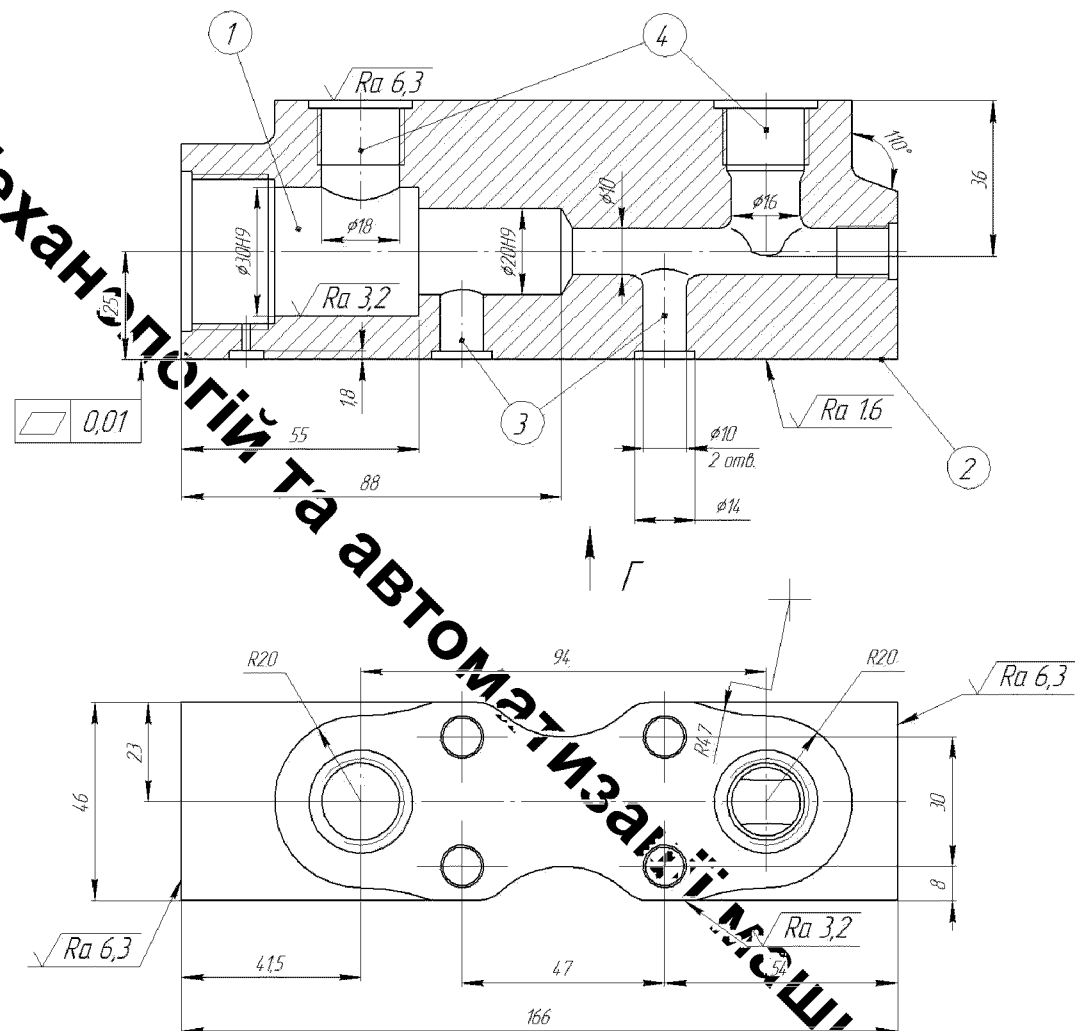


Рисунок 3.19 - Конструкція удосконаленої деталі «Робоча секція гідророзподільника»

Удосконалена деталь «Робоча секція гідророзподільника» розташована в верхній частині складальної одиниці секційний гідророзподільник і прилягає до нього площину 2, а через чотири отвори $\varnothing 9$ мм проходять болти, що з'єднують їх разом. Таким чином, удосконалена деталь «Робоча секція гідророзподільника» встановлюється на секційний гідророзподільник. До отворів 3 підводяться нагнітальний та зливний канали в залежності від напрямку потоку мінеральної оліви. В отвір 1 встановлюють золотника гальмівного клапана і таким чином розділяють канали удосконаленої деталі «Робоча секція гідророзподільника» на дві різні камери. В отвори 4 встановлюють штуцерів для гнучких ліній. На повехні 2 отвір $\varnothing 2$ мм з місцем під ущільнення призначений для дренажа мінеральної оліви, що буде витікати через зазори золотника гальмівного клапана. В каналах

удосконаленої деталі «Робоча секція гідророзподільника» передбачено ливарні радиуси від 3 мм.

Маса деталі «Робоча секція гідророзподільника» складала 2,85 кг до удосконалення, а маса заготовки до удосокналення – 4,35 кг. Тобто коефіцієнт використання матеріалу складав 0,65.

Після удосконалення деталі «Робоча секція гідророзподільника» її маса становить 2,27 кг, що відповідає зменшенню на 20% реальну масу деталі. А маса заготовки тепер становить 2,6 кг, що дозволило підвищити коефіцієнт використання матеріалу до 0,81. Тривимірна модель удосконаленої деталі «Робоча секція гідророзподільника» показана на рисунку 3.20.

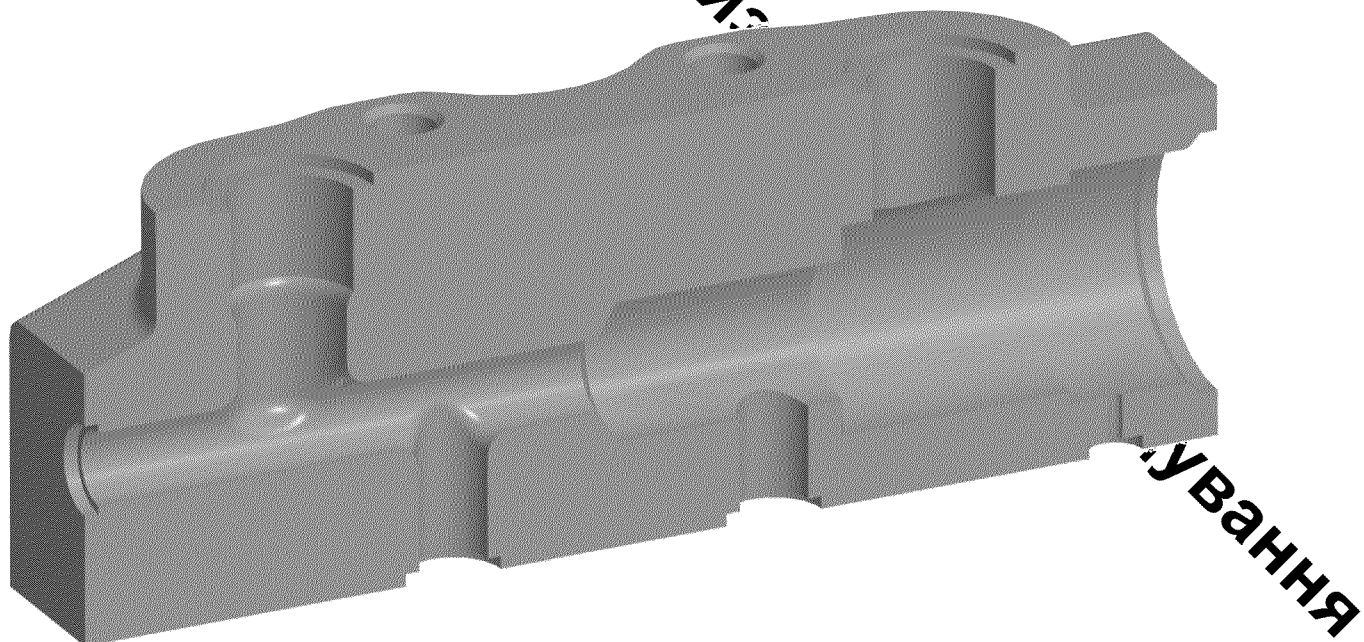


Рисунок 3.20 - Тривимірна модель удосконаленої деталі «Робоча секція гідророзподільника»

РОЗДІЛ 4 РОЗРОБКА ТЕХНОЛОГІЧНОГО ПРОЦЕСУ ОБРОБКИ ДЛЯ УДОСКОНАЛЕНОЇ ЗАГОТОВКИ ДЕТАЛІ «РОБОЧА СЕКЦІЯ ГІДРОРОЗПОДІЛЬНИКА»

4.1 Аналітичний огляд відомих маршрутів механічної обробки подібних деталей в умовах заданого типу виробництва

Дані із довідників [21, 22], розглянемо таблицю 4.1 маршруту механічної обробки заготовки деталі типу «Корпус». Через те, що деталь «Робоча секція гідророзподільника» схожа на корпусну деталь, то в якості прикладу обираємо обробку корпусу. Робоче креслення деталі типу «Корпус» зображене на рисунку 4.1.

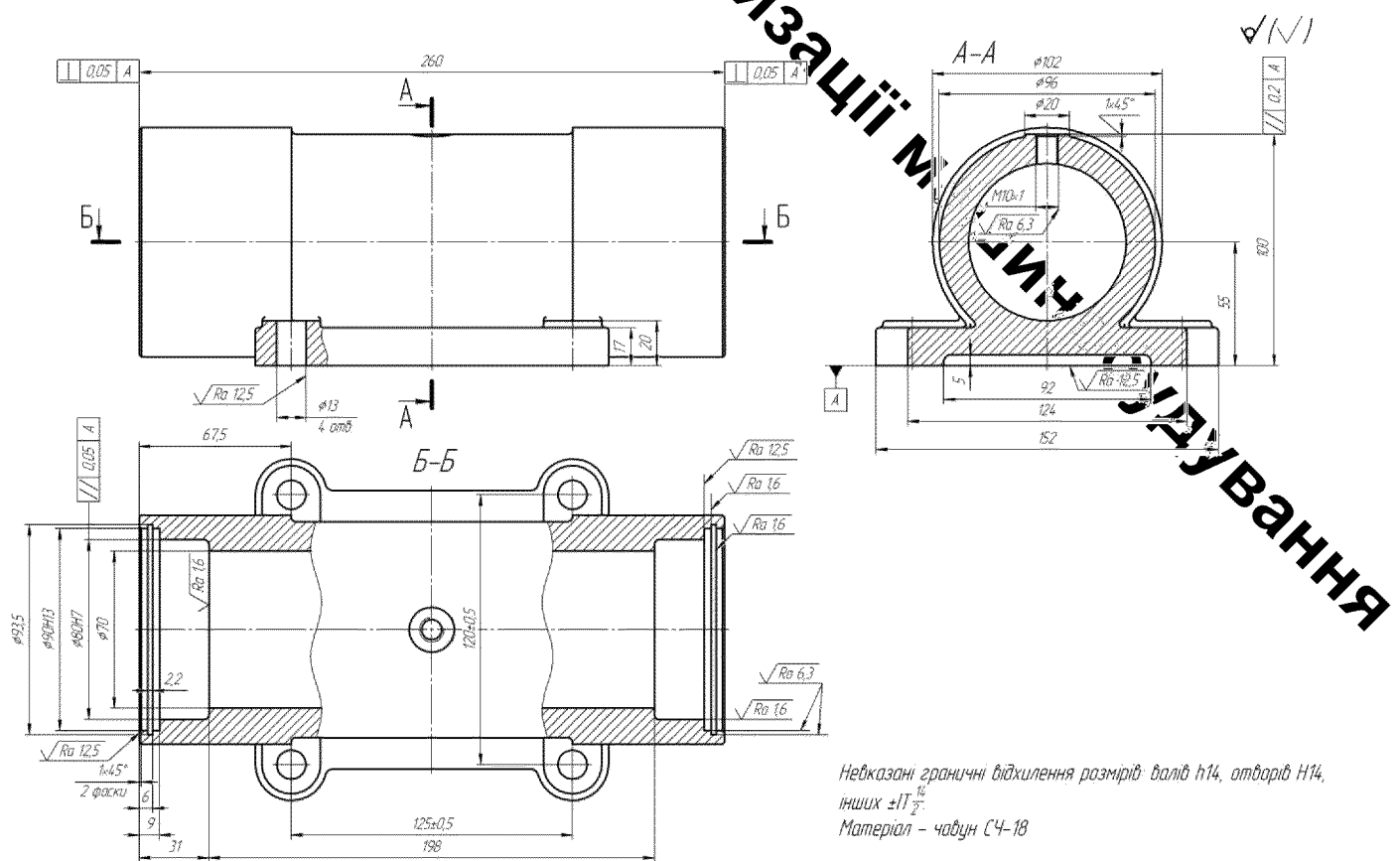


Рисунок 4.1 - Робоче креслення подібної деталі типу «Корпус»

Розробка техпроцесу мехобробки заготовки деталі типу «Корпус» виконано за принципами “Єдиної системи підготовки виробництва” ЕСТПП ГОСТ 14.201-73.

Техпроцес мехобробки деталі типу «Корпус» розроблений за типовими або груповими технологічними процесами механічної обробки подібних деталей з врахуванням типу виробництва.

При складанні планів та методології для мехобробки різних поверхонь, розроблимо маршрут мехобробки та скористуємося типовим технологічним процесом таких схожих деталей. Процес типізації технологічного процесу мехобробки дозволяє досягти одноманітності в технологічних виготовлення деталей такого класу, а також скорочує різні варіантів мехобробки до мінімуму, але залежить від виробництва. Крім цього скорочується терміни проєктування та підготовки нової технологічної документації і підвищує якість технологічного процесу.

Таблиця 4.1 – Маршрут мехобробки деталі типу «Корпус»

Операція	Зміст або найменування операції	Верстат, обладнання	Оснащення
005	Лиття		
010	Обрубка та очищенння виливка		
015	Фрезерувати площину основи остаточно. Свердлити чотири отвори Ø13 остаточно. Фрезерувати площину бобики Ø20 остаточно, свердлiti і нарізати різьбу M10×1-7H в одному отворі остаточно. Фрезерувати торець Ø102, витримуючи розмір 230 остаточно. Розточити виточки Ø80H7; Ø90H13 і фаску 1×45° остаточно. Фрезерувати канавку b=2,2±0,5 остаточно. Повернути стіл на 180°. Розточити виточки Ø80H7; Ø90H13 і фаску 1×45° остаточно. Фрезерувати канавку 2,2±0,5 остаточно	Багатоцільовий з ЧПК і інструментальним магазином ИР500МФ4	Наладка УСПО (ПВО)
020	Притупити гострі кромки	Верстак	
025	Технічний контроль		
030	Нанесення антикорозійного покриття		

В результаті маємо, що маршрут мехобробки заготовки деталі типу «Корпус» та удосконаленої нами будуть майже однакові за принципом побудови, проте будуть

мати місце різними за характером необхідних позначень та кількістю переходів. Розробка маршруту мехобрбки заготовки деталі «Робоча секція гідророзподільника» ґрунтуються на основі вище наведеного типового маршруту мехобрбки деталі типу «Корпус».

4.2 Розробка маршруту механічної обробки заготовки удосконаленої деталі «Робоча секція гідророзподільника»

Деталь «Робоча секція гідророзподільника» призначена для направлення потоків робочої рідини, а її поверхні виконують функцій із направлення, герметизації витоків, кріплення частин і керування тиском. В результаті маємо вимоги до цих поверхонь: за точністю, за твердістю, по шорсткості тощо. Забезпечити поставлені вимоги можна за рахунок використання різних технологічних підходів до мехобрбки заготовки деталі «Робоча секція гідророзподільника».

Під час розробки маршруту мехобрбки робочих поверхонь заготовки деталі «Робоча секція гідророзподільника», приймаємо рішення покращувати кожен наступний переход із збільшенням точності ніж попередній.

Таблиця 4.2 – Маршрут мехобрбки заготовки удосконаленої деталі «Робоча секція гідророзподільника»

№	Операції, переходи	Ескізи, базування	Моделі верстатів
1	2	3	4
005	<u>Лиття</u>		
010	<u>Обрубка та очищення</u> <u>виливка</u>		

Продовження таблиці 4.2.

1	2	3	4
015	<p><u>Компонована</u></p> <p>1. Установити і закріпити заготовку.</p> <p>2. Фрезерувати поверхню 1 попередньо у розмір 63 мм.</p> <p>3. Центрувати 4-ри отвори 2 з утворенням фаски та 2-а отвори 3.</p> <p>4. Свердлити 4 отвори 2 наскрізно.</p> <p>5. Цекувати 2 отвори 3 на глибину 1,8 мм.</p> <p>6. Центрувати отвір 4.</p> <p>7. Свердлити отвір 4 однократно на глибину 10 мм.</p> <p>8. Цекувати отвір 4 на глибину 1,8 мм.</p> <p>9. Фрезерувати поверхню 1 остаточно.</p> <p>10. Зняти заготовку.</p>	<p>Невказані граничні відхилення розмірів отворів H12, інші $\pm \frac{1.75}{2}$</p>	<p>Вертикальний багаточільовий з ЧПК: ЛТ260МФ3</p>

Продовження таблиці 4.2

1	2	3	4																												
020	<p>Токарно-револьверна з ЧПК</p> <p><u>Установ 1</u></p> <ol style="list-style-type: none"> 1. Установити і закріпити заготовку. 2. Точити поверхню 1 попередньо у розмір 170,61 мм. 3. Розточити отвір 2 попередньо на глибину 85,5 мм. 4. Розточити отвір 2 попередньо на глибину 53,5 мм. 5. Точити поверхню 1 остаточно. 6. Розточити отвір 2 остаточно на глибину 88 мм у розмір $\phi 30H9$ мм. 7. Розточити отвір 2 остаточно на глибину 55 мм у розмір $\phi 20H9$ мм з утворення профіля I. 8. Нарізати різь 3. 9. Зняти заготовку. <p><u>Установ 2</u></p> <ol style="list-style-type: none"> 1. Установити і закріпити заготовку. 2. Точити поверхню 1 попередньо у розмір 167,36 мм. 3. Розсвердлити отвір 2 однократно на глибину 4 мм з утворенням фаски в 60°. 4. Точити поверхню 1 остаточно. 5. Нарізати різь 3. 6. Зняти заготовку. 	<p>Установ 1</p> <table border="1"> <thead> <tr> <th>№</th> <th>d</th> <th>d_2</th> <th>d_5</th> <th>d_6</th> <th>H</th> <th>L</th> </tr> </thead> <tbody> <tr> <td>1</td> <td>M36x2.5</td> <td>32</td> <td>37</td> <td>38.5</td> <td>4</td> <td>20</td> </tr> </tbody> </table> <p>Невказані граничні відхилення розмірів отворів H12, інші $\pm \frac{0.12}{2}$</p> <p>Установ 2</p> <table border="1"> <thead> <tr> <th>№</th> <th>d</th> <th>d_2</th> <th>d_5</th> <th>d_6</th> <th>H</th> <th>L</th> </tr> </thead> <tbody> <tr> <td>1</td> <td>M12x1.5</td> <td>10</td> <td>12.5</td> <td>13.5</td> <td>4</td> <td>14</td> </tr> </tbody> </table> <p>Невказані граничні відхилення розмірів отворів H12, інші $\pm \frac{0.12}{2}$</p>	№	d	d_2	d_5	d_6	H	L	1	M36x2.5	32	37	38.5	4	20	№	d	d_2	d_5	d_6	H	L	1	M12x1.5	10	12.5	13.5	4	14	
№	d	d_2	d_5	d_6	H	L																									
1	M36x2.5	32	37	38.5	4	20																									
№	d	d_2	d_5	d_6	H	L																									
1	M12x1.5	10	12.5	13.5	4	14																									

Продовження таблиці 4.2.

1	2	3	4																
025	<p><u>Комбінована</u></p> <ol style="list-style-type: none"> Установити і закріпити заготовку. Фрезерувати поверхню 1 попередньо у розмір 11 мм. Зенкувати 2 отвори 2 з утриванням фаски на кріпильних отворах 1x45. Розточiti отвори 2 i 3 по контуру вид I. Нарізати різь 4. Фрезерувати поверхню 1 остаточно. Зняти заготовку. 	<table border="1"> <thead> <tr> <th>Nº</th> <th>d</th> <th>d_1</th> <th>d_2</th> <th>d_3</th> <th>d_4</th> <th>H</th> <th>L</th> </tr> </thead> <tbody> <tr> <td>1</td> <td>M20x1,5</td> <td>18</td> <td>17,5</td> <td>22,5</td> <td>4</td> <td>15</td> <td></td> </tr> </tbody> </table> <p>Невказані граничні відхилення розмірів отворів H12, інші $\pm \frac{IT12}{2}$</p>	Nº	d	d_1	d_2	d_3	d_4	H	L	1	M20x1,5	18	17,5	22,5	4	15		<p>Вертикальний багаточільовий з ЧПК: ЛТ260МФ3</p>
Nº	d	d_1	d_2	d_3	d_4	H	L												
1	M20x1,5	18	17,5	22,5	4	15													
030	<p><u>Внутрішньо-шліфувальна</u></p> <ol style="list-style-type: none"> Установити і закріпити заготовку. Шліфувати $\varnothing 45H7$ остаточно; Шліфувати торець $\varnothing 236,33 \pm 0,09 / \varnothing 45H7$ витримав розмір 50H14. Зняти деталь. 	<p>Невказані граничні відхилення розмірів отворів H12, інші $\pm \frac{IT12}{2}$</p>	<p>Плоско-шліф. верстата: №222</p>																
035	<u>Пригутити гострі кромки</u>																		
040	<u>Технічний контроль</u>																		
045	<u>Нанесення антикорозійного покриття</u>																		

РОЗДІЛ 5 ЕКОНОМІЧНЕ ОБГРУНТУВАННЯ РОЗРОБКИ

5.1 Проведення наукового аудиту науково-дослідної роботи

Метою проведення технологічного аудиту є оцінювання комерційного потенціалу розробки, створеної в результаті науково-технічної діяльності. В результаті оцінювання робиться висновок щодо напрямів організації подальшого її впровадження з врахуванням встановленого рейтингу.

Оцінювання комерційного потенціалу розробки здійснюється за 12-ма критеріями [23]. Результати оцінювання комерційного потенціалу розробки зводимо в таблицю 5.1.

Таблиця 5.1 – Результати оцінювання комерційного потенціалу розробки

Критерій	Дерібо О.В.	Сердюк Е.В.	Савуляк В.В.
1	2	3	4
1. Технічна здійсненність концепції	2	3	2
2. Ринкові переваги (наявність аналогів)	3	1	2
3. Ринкові переваги (ціна продукту)	3	3	4
4. Ринкові переваги (технічні властивості)	4	4	3
5. Ринкові переваги (експлуатаційні витрати)	4	3	2

Продовження таблиці 5.1

1	2	3	4
6. Ринкові перспективи (розмір ринку)	1	2	2
7. Ринкові перспективи (конкуренція)	2	3	3
8. Практична здійсненість (наявність фахівців)		4	4
9. Практична здійсненість (наявність фінансів)	1	2	1
10. Практична здійсненість (необхідність нових матеріалів)	4	3	3
11. Практична здійсненість (термін реалізації)	4	4	4
12. Практична здійсненість (розробка документів)	3	3	4
Сума балів	СБ ₁ =33	СБ ₂ =35	СБ ₃ =34
Середньоарифметична сума балів $\overline{СБ}$	$\overline{СБ} = \frac{\sum_{i=1}^3 СБ_i}{3} = \frac{33 + 35 + 34}{3} = 34$		

Згідно результатів оцінювання можна охарактеризувати рівень комерційного потенціалу розробки «вище середнього» ($\overline{СБ}=34$), а також розкрити такі аспекти:

- розробка може бути реалізована на таких підприємствах як КНВО «Форт», ООО «Вінницький інструментальний завод», ВАТ «Вінницький завод тракторних агрегатів»;
- загальна якість розробки має високі показники: збільшується продуктивність роботи гідроприводу та зменшуються втрати тиску;
- за рахунок покращеної геометрії робочих частин удосконаленої конструкції деталі «Робоча секція гідророзподільника» є корисною для суспільства в якості економії енергетичних ресурсів та забезпечення співвідношення ціна-якість;
- ринками збуту продукції можуть бути підприємства України, що хочуть мати удосконалені секційні гідророзподільники;
- потенційними покупцями нового товару можуть бути підприємства з одиничним та серійним виробництвом робочих мобільних машин;
- оскільки загальний ресурс роботи удосконаленого секційного гідророзподільника є досить великим, тому будемо вважати, що його покупка підприємством буде разовою. Також оцінивши новизну, та техніко-економічні показники можна припустити, що пристрій буде зберігати свою актуальність протягом 5 років.

5.2 Прогнозування витрат на виконання науково-дослідної роботи

Основна заробітна плата кожного із розробників (дослідників) Z_o , якщо вони працюють в наукових установах бюджетної сфери:

$$Z_o = \frac{M}{T_p} \cdot t \text{ [грн.],} \quad (5.2)$$

де M – місячний посадовий оклад конкретного розробника (інженера, дослідника, науковця тощо), грн. У 2023 році величини окладів рекомендується

Витрати до 142000 грн. за місяць для працівників професійної, наукової та технічної діяльності;

T_p – число робочих днів в місяці; приблизно $T_p = (21 \dots 23)$ дні, Приймаємо 22 робочих дні.

t – число робочих днів роботи розробника (дослідника).

Таблиця 5.2 – Розрахунки основної заробітної плати розробників

Найменування посади виконавця	Місячний посадовий оклад, грн.	Оплата за робочий день, грн.	Число днів роботи	Витрати на оплату праці, грн.
Керівник проектувальник	13000	650,91	20	11818
Інженер-конструкторор 1-ї категорії	11000	500	20	10000
Технік 1-ї категорії	7150	325	20	975
Всього				3793

Основна заробітна плата робітників Z_p , якщо вони беруть участь у виконанні даного етапу роботи і виконують роботи за робочими професіями у випадку, коли вони працюють в наукових установах бюджетної сфери, розраховується за формулою:

$$Z_p = \sum_1^n t_i \cdot C_i \text{ [грн.]} , \quad (5.3)$$

де t_i – норма часу (трудомісткість) на виконання конкретної роботи, годин;

n – число робіт по видах та розрядах;

C_i – погодинна тарифна ставка робітника відповідного розряду, який виконує дану роботу. C_i визначається за формулою:

$$C_i = \frac{M_m \cdot K_{mkc} \cdot K_c}{T_p \cdot T_{zm}} \text{ [грн./год]}, \quad (5.4)$$

де M_m – розмір мінімальної місячної заробітної плати, $M_m=6700,00$ грн./міс.;

K_{mkc} – коефіцієнт міжкваліфікаційного співвідношення для встановлення тарифної ставки робітникам відповідного розряду: 1,35–3 розр.; 1,7–5 розр.; 2–6 розр.;

K_c – мінімальний коефіцієнт співвідношень місячних тарифних ставок робітників першого розряду з нормальными умовами праці виробничих об'єднань і підприємств до законодавчо встановленого розміру мінімальної заробітної плати: приймаємо 1,8.

T_p – число робочих днів в місяці; Приймайте $T_p = 22$ дні;

T_{zm} – тривалість зміни, год.

$$C_3 = \frac{6700 \cdot 1,35 \cdot 1,8}{22 \cdot 8} = 92,51 \text{ (грн/год);}$$

$$C_5 = \frac{6700 \cdot 1,7 \cdot 1,8}{22 \cdot 8} = 116,49 \text{ (грн/год);}$$

$$C_6 = \frac{6700 \cdot 2 \cdot 1,8}{22 \cdot 8} = 137,05 \text{ (грн/год).}$$

Таблиця 5.3 – Величина витрат на основну заробітну плату робітників

Найменування робіт	Тривалість операції, год.	Розряд роботи	Погодинна тарифна ставка. грн.	Величина оплати на робітника грн.
Багатоцільова з ЧПК	1,1	6	137,05	150,76
Токарна з ЧПК	0,6	5	116,49	69,89
Шліфування	1,6	5	116,49	186,38
Збірка виробу	1,2	3	92,51	111,01
Всього				518,05

Додаткову заробітну плату розраховуємо як 10...12% від суми основної заробітної плати розробників та робітників за формулою:

$$Z_{\text{доо}} = H_{\text{доо}}(Z_o + Z_p) \text{ [грн.],} \quad (5.5)$$

$$Z_{\text{доо}} = 0,11(22793 + 518,05) = 2564,22 \text{ (грн.).}$$

Відрахування на соціальні заходи. До статті «Відрахування на соціальні заходи» належать відрахування внеску на загальнообов'язкове державне соціальне страхування та для здійснення заходів щодо соціального захисту населення (ЕСВ — єдиний соціальний внесок). Розраховуються за формулою:

$$Z_n = (Z_o + Z_p + Z_d) \cdot \frac{H_{zn}}{100\%} \text{ [грн.],} \quad (5.6)$$

де Z_o – основна заробітна плата розробників, грн.;

Z_p – основна заробітна плата робітників, грн.;

Z_d – додаткова заробітна плата всіх розробників та робітників, грн.;

$H_{zn}=22\%$ – норма нарахування на заробітну плату.

$$Z_n = (22793 + 518,05 + 2564,22) \cdot \frac{22}{100} = 5692,56 \text{ (грн.)}$$

Сировина та матеріали. Витрати на матеріали M , що були використані під час виконання даного етапу роботи, розраховуються по кожному виду матеріалів за формулою:

$$M = \sum_i^n H_i \cdot \Pi_i \cdot K_i - \sum_i^n B_i \cdot \Pi_e \text{ [грн.],} \quad (5.7)$$

де H_i – витрати матеріалу i -го найменування, кг;

Π_i – вартість матеріалу i -го найменування, грн./кг.;

K_i – коефіцієнт транспортних витрат, $K_i = (1,1 \dots 1,15)$ приймаємо 1,1;

B_i – маса відходів матеріалу i -го найменування, кг;

Π_b – ціна відходів матеріалу i -го найменування, грн/кг;
 n – кількість видів матеріалів.

Таблиця 5.4 - Витрати на матеріали

Найменування матеріалу, марка, тип, сорт	Ціна за кг, грн.	Норма витрат, кг	Величина відходів, кг	Ціна відходів, грн./кг	Вартість витраче- ного матеріалу, грн.
Сірий чавун	72,2	2,8	0,53	7,2	218,56
Всього:					218,56

Розрахунок витрати на комплектуючі K_e , що були використані під час виконання даного етапу роботи, розраховуються за формулою:

$$K_e = \sum_1^n H_j \cdot \Pi_j \cdot K_j \text{ [грн.],} \quad (5.8)$$

де H_j – кількість комплектуючих i -го виду, шт.;

Π_j – ціна комплектуючих i -го виду, грн.;

K_j – коефіцієнт транспортних витрат, $K_i = (1,1 \dots 1,15)$ приймаємо 1,1;

n – кількість видів комплектуючих.

Всі інше деталі йдуть покупними та замовляються в підрядчиків. Необхідні данні для розрахунку витрат на комплектуючі вироби зведені в таблицю 5.5

Таблиця 5.5 - Витрати на комплектуючі

Найменування комплектуючих	Кількість, шт.	Ціна за штуку, грн.	Сума, грн.
1	2	3	4
Штуцер M20x1,5	2	34	74,8
Заглушка M36x2,5	1	75	82,5
Заглушка M12x1,5	1	20	22

Продовження таблиці 5.5

1	2	3	4
Пружина LHD20044	1	30	33
Шархач Д10	1	450	495
Сідло 0,30	1	700	770
Інші дрібні комплектуючі	10	10	110
Всього			1587,3

Спецустаткування для наукових робіт. Проектування та удосконалення приводу подрібнювача для пласти маси виконувалася на ноутбуці ASUS VivoBook X571GT-BQ073 Star Black. Балансова вартість спецустаткування розраховується за формулою:

$$B_{спеу} = \sum_1^k \bar{U}_i \cdot C_{np,j} \cdot K_j \text{ [грн.]} \quad (5.9)$$

де \bar{U}_i – ціна придбання одиниці спецустаткування даного виду, марки, грн;

$C_{np,i}$ – кількість одиниць устаткування відповідного найменування, які придбані для проведення досліджень, шт.;

K_i – коефіцієнт, що враховує доставку, монтаж, налагодження устаткування тощо, ($K_i = 1,10 \dots 1,12$) приймаємо 1,1;

k – кількість найменувань устаткування;

$$B_{спеу} = 23999 \cdot 1 \cdot 1,1 = 26398,9 \text{ (грн.)}$$

Програмне забезпечення для наукових робіт

При виконанні МКР використовуються програми, які є у вільному доступі та на підприємстві.

Амортизація обладнання, комп'ютерів та приміщень, які використовувались під час (чи для) виконання даного етапу роботи.

Далі відрахування розраховують по кожному виду обладнання, приміщенням тощо.

У спрощеному вигляді амортизаційні відрахування А в цілому будуть розраховані за формулою:

$$A_{обл} = \frac{Ц_б}{T_b} \cdot \frac{t_{вик}}{12} \text{ [грн]}, \quad (5.10)$$

де $Ц_б$ – балансова вартість обладнання, програмних засобів, приміщень тощо, які використовувались для проведення досліджень, грн;

$t_{вик}$ – термін використання обладнання, програмних засобів, приміщень під час досліджень, місяців;

T_b – строк корисного використання обладнання, програмних засобів, приміщень тощо, років.

Проведені розрахунки зводимо до таблиці 5.6.

Таблиця 5.6 - Амортизаційні відрахування по кожному виду обладнання

Найменування обладнання	Балансова вартість, грн.	Строк корисного викор., років	Термін використання обладнання, місяців	Амортизаційні віdraхування грн.
Оф. приміщення	90000	15	1	500
Вир. прим.	150000	15	1	833,33
Ноутбук	23999	5	1	400
Фрезерна з ЧПК	500000	15	1	2777,78
Багатоцільова з ЧПК	720000	15	1	4000
Шліфувальна	480000	15	1	2666,67
Інше обладнання	10000	5	1	166,67
Всього				11344,45

Паливо та енергія для науково-виробничих цілей. Витрати на силову електроенергію розраховуються за формулою:

$$B_e = \sum_{i=1}^n \frac{W_{yi} t_i \Pi_e K_{eni}}{\eta_i} \text{ [грн]}, \quad (5.11)$$

W_{yi} - встановлена потужність обладнання на певному етапі розробки, кВт;

t_i - тривалість роботи обладнання на етапі дослідження, год;

Π_e - вартість 1 кВт·години електроенергії, грн; (вартість електроенергії визначається за даними енергопостачальної компанії);

K_{eni} - коефіцієнт, що враховує використання потужності, приймаємо 0,75;

η_i - коефіцієнт корисної дії обладнання, приймаємо 0,8.

При цьому вартість електроенергії розраховується:

$$\Pi_e = (\Pi_{onm} + \Pi_{pozn} + \Pi_{nozm})(1 + \frac{\Pi_{PDV}}{100\%}) \quad (5.12)$$

Π_{onm} - середня оптова ціна електроенергії, яка визначається оператором ринку, грн за 1кВт·год [24, 25];

Π_{pozn} - вартість розподілу електроенергії окремою енергорозподільчою компанією (без ПДВ), грн за 1кВт·год [26];

Π_{nozm} - вартість постачання електроенергії від енергорозподільчої компанії конкретного споживача (без ПДВ), грн за 1кВт·год [27].

$$\Pi_e = (4719,83 + 315,93 + 0,131) \cdot (1 + 0,2) / 10^3 = 6,04 \text{ грн}$$

Таблиця 5.7 – Таблиця витрат на силову електроенергію

Найменування обладнання	Встановлена потужність, кВт	Тривалість роботи, год	Сума, грн
Ноутбук	0,3	160	271,8
Фрезерна з ЧПК	4	1,1	24,92
Багатоцільова з ЧПК	5	0,6	16,99
Шліфувальна	5	1,6	45,3
Інше обладнання		10	113,25
Всього			472,26

Службові відрядження Витрати за статтею «Службові відрядження» розраховуються як 20...25% (приймаємо 22%) від суми основної заробітної плати дослідників та робітників:

$$B_{ce} = \frac{H_{ce}}{100\%} (Z_o + Z_p) \text{ [грн.],} \quad (5.13)$$

$$B_{ce} = 0,22(22793 + 518,05) = 5128,43 \text{ (грн.)}$$

Витрати на роботи, які виконують сторонні підприємства, установи і організації. До статті «Витрати на роботи, які виконують сторонні підприємства, установи і організації» належать витрати на проведення досліджень, що не можуть бути виконані штатними працівниками або наявним обладнанням організації, а виконуються на договірній основі іншими підприємствами, установами і організаціями незалежно від форм власності та позаштатними працівниками.

Таких робіт не передбачено під час виготовлення зразка. Адже всі дослідження проведено на нашому підприємстві. Тому витрати на цю статтю дорівнюють 0.

Інші витрати. До статті «Інші витрати» належать витрати, які не знайшли відображення у зазначених статтях витрат і можуть бути віднесені безпосередньо на собівартість досліджень за прямими ознаками.

Витрати за статтею «Інші витрати» розраховуються як 50...100% від суми основної заробітної плати дослідників та робітників:

$$I_e = \frac{H_{ie}}{100\%} (Z_o + Z_p) \text{ [грн.],} \quad (5.14)$$

$$I_e = 0,5(22793 + 518,05) = 11655,53 \text{ (грн).}$$

Накладні (загальновиробничі) витрати. До статті «Накладні (загальновиробничі) витрати» належать: витрати, пов'язані з управлінням організацією; витрати на винахідництво та рацionalізацію; витрати на підготовку (перепідготовку) та навчання кадрів; витрати, пов'язані з набором робочої сили; витрати на оплату послуг банків; витрати, пов'язані з освоєнням виробництва продукції; витрати на науково-технічну інформацію та рекламу та ін.

$$B_{nz6} = \frac{H_{nz6}}{100\%} (Z_o + Z_p) \text{ [грн.],} \quad (5.15)$$

$$H_{nz6} = 1,25(22793 + 518,05) = 29138,81 \text{ (грн).}$$

Витрати на проведення науково-дослідної роботи. Цей показник розраховуються як сума всіх попередніх статей витрат:

$$\begin{aligned} B_{zae} = & 22793 + 518,05 + 2564,22 + 5692,56 + 218,56 + 1587,3 + 26398,9 + 0 + \\ & + 11344,45 + 472,26 + 5128,43 + 0 + 11655,53 + 29138,81 = 117812,07 \text{ (грн)} \end{aligned}$$

Загальні витрати ЗВ на завершення науково—дослідної (науково— технічної) роботи та оформлення її результатів, із врахуванням того розробка знаходиться на стадії розробки впровадження зразка:

$$3B=117812,07/0,9=130902,3 \text{ (грн).}$$

5.3 Оцінювання важливості та наукової значимості науково-дослідної роботи фундаментальної, чи пошукового характеру

Комплексний показник рівня науково-дослідної роботи

$$K_p = \frac{I^n \cdot T_C \cdot R}{B \cdot t}, \quad (5.15)$$

де I – коефіцієнт важливості роботи, $I = 2 \dots 5$, приймаємо 3;

n – коефіцієнт використання результатів роботи: $n = 3$, коли результати можуть використовуватись навіть без проведення дослідно-конструкторських розробок;

T_C – коефіцієнт складності роботи, $T_C = 1 \dots 3$, приймаємо 2;

R – коефіцієнт результативності роботи: результати роботи плануються вище відомих, то $R = 4$;

B – вартість науково-дослідної роботи, тис. грн;

t – час проведення дослідження, років.

$$K_p = (3^3 \cdot 2 \cdot 4) / (130,902 \cdot 0,083) = 19,88$$

Так як $K_p > 1$, то науково-дослідна робота є ефективною.

5.4 Розрахунок економічної ефективності науково-технічної розробки за її можливої комерціалізації потенційним інвестором

Оскільки у нас удосконалення конструкції деталі секційного гідророзподільника, то майбутній економічний ефект буде формуватися на основі

таких даних: збільшення кількості споживачів пристрою, в аналізовані періоди часу, від покращення його певних характеристик – 200 шт; кількість споживачів, які використовували аналогічний пристрій у році до впровадження результатів нової науково-технічної розробки – 500 шт; вартість пристрою (машини, механізму) у році до впровадження результатів розробки – 5000 грн; зміна вартості пристрою (зростання чи зниження) від впровадження результатів науково-технічної розробки в аналізовані періоди часу – 500 грн.

За нашими розрахунками, результати нашої розробки можуть бути впроваджені з 1 лютого 2024 року, а її результати будуть виявлятися протягом 2024-го, 2025-го, 2026-го, 2027-го та 2028-го років.

З 2029 року ми не плануємо отримання прибутків для потенційних інвесторів, оскільки високою є ймовірність, що з'являться нові, більш якісні розробки.

Розрахуємо очікуване збільшення прибутку P_i , що його можна отримати потенційний інвестор від впровадження результатів нової розробки, для кожного із років, починаючи з першого року впровадження:

$$\Delta P_i = \sum_1^n (\Delta \Pi_o \cdot N + \Pi_o \cdot \Delta N)_i \cdot \lambda \cdot \rho \cdot (1 - \vartheta / 100), \text{ [грн]}, \quad (5.16)$$

де $\Delta \Pi_o$ – покращення основного оціочного показника від впровадження результатів розробки у даному році. Зазвичай таким показником є збільшення нової розробки, грн.;

N – основний кількісний показник, який визначає обсяг діяльності у даному році до впровадження результатів наукової розробки;

ΔN – покращення основного кількісного показника від впровадження результатів розробки;

Π_o – основний оціочний показник, який визначає обсяг діяльності у даному році після впровадження результатів розробки, грн.;

n – кількість років, протягом яких очікується отримання позитивних результатів від впровадження розробки;

λ – коефіцієнт, який враховує сплату податку на додану вартість. коефіцієнт $\lambda = 0,8333$;

ρ – коефіцієнт, який враховує рентабельність продукту. Рекомендується приймати $\rho = 0,2...0,3$; візьмемо $\rho = 0,25$;

ϑ – ставка податку на прибуток. $\vartheta = 18\%$.

Тоді, збільшення чистого прибутку для потенційного інвестора Π_i протягом першого року від реалізації нашої розробки (2023 р.) складе:

$$\Delta\Pi_1 = (1500 \cdot 500 + 6500 \cdot 200) \cdot 0,8333 \cdot 0,25 \cdot (1 - 18/100) = 350194,3 \text{ (грн.)}$$

У свою чергу, приведена вартість всіх чистих прибутків ПП розраховується за формулою:

$$ПП = \sum_{i=1}^m \frac{\Delta\Pi_i}{(1+\tau)^t} \text{ [грн]}, \quad (5.16)$$

де $\Delta\Pi_i$ – збільшення чистого прибутку у кожному із років, протягом яких виявляються результати виконаної та впровадженої роботи, грн;

t – період часу, протягом якого виявляються результати впровадженої роботи, роки;

τ – ставка дисконтування, за яку можна взяти щорічний прогнозований рівень інфляції в країні; для України цей показник знаходиться на рівні 0,1;

t – період часу (в роках) від моменту початку впровадження науково-технічної розробки до моменту отримання потенційним інвестором додаткових чистих прибутків у цьому році.

Тоді приведена вартість всіх можливих чистих прибутків ПП, що їх може отримати потенційний інвестор від реалізації результатів нашої розробки, складе:

$$\text{ПП} = \frac{350194,3}{(1+0,1)^2} + \frac{350194,3}{(1+0,1)^3} + \frac{350194,3}{(1+0,1)^4} + \frac{350194,3}{(1+0,1)^5} = 1009152,5 \text{ (грн.)}.$$

Далі розраховують величину початкових інвестицій PV, які потенційний інвестор має вкласти для впровадження і комерціалізації науково-технічної розробки. Для цього можна використати формулу:

$$PV = k_{inv} \cdot 3B \text{ [грн]}, \quad (5.17)$$

де k_{inv} – коефіцієнт, що враховує витрати інвестора на впровадження науково-технічної розробки та її комерціалізацію. Це можуть бути витрати на підготовку приміщень, розробку технологій, навчання персоналу, маркетингові заходи тощо; зазвичай $k_{inv} = 2...5$, приймаємо 2.

$$PV = 2 \cdot 130902,3 = 261804,6 \text{ (грн.)}.$$

Абсолютна ефективність нашої розробки (при прогнозованому ринку збуту) складе:

$$E_{abc} = (\text{ПП} - PV) \text{ [грн]}, \quad (5.18)$$

де ПП – приведена вартість всіх чистих прибутків, що їх отримає підприємство (організація) від реалізації результатів наукової розробки, грн;

Якщо $E_{abc} \leq 0$, то результат від проведення наукових досліджень та їх впровадження буде збитковим і вкладати кошти в проведення цих досліджень ніхто не буде.

Якщо $E_{abc} > 0$, то результат від проведення наукових досліджень та їх впровадження принесе прибуток, але це також ще не свідчить про те, що інвестор буде зацікавлений у фінансуванні даного проекту (роботи).

Тоді

$$E_{abc} = (1009152,5 - 261804,6) = 747347,9 \text{ (грн.)}.$$

Оскільки $E_{abc} > 0$, то вкладання коштів на виконання та впровадження результатів роботи може бути доцільним.

Але це ще не відчить про те, що інвестор буде зацікавлене у фінансуванні даного проекту. Він буде зацікавлений це роботи тільки тоді, коли ефективність вкладених інвестицій буде перевищувати певний критичний рівень.

Розраховуємо відносну (щільну) ефективність вкладених в наукову розробку інвестицій E_v . Для цього користуються формулою:

$$E_v = \sqrt[T_{jk}]{1 + \frac{E_{abc}}{Pv}} - 1 \quad (5.19)$$

де E_{abc} – абсолютна ефективність вкладених інвестицій, грн;

T_{jk} – життєвий цикл наукової розробки, роки.

$$E_v = \sqrt[5]{1 + \frac{747347,9}{261804,6}} - 1 = 0,31 = 31\%.$$

Далі, розрахована величина E_v порівнюється з мінімальною (бар'єрною) ставкою дисконтування τ_{min} , яка визначає ту мінімальну дохідність, нижче за яку інвестиції вкладатися не будуть. У загальному вигляді мінімальна (бар'єрна) ставка дисконтування τ_{min} визначається за формулою:

$$\tau = d + f, \quad (5.20)$$

де d – середньозважена ставка за депозитними операціями в комерційних банках; в 2023 році в Україні $d = (0,16...0,22)$;

f – показник, що характеризує ризикованість вкладень; зазвичай, величина $f = (0,05 \dots 0,2)$, але може бути і значно більше.

Якщо величина $E_b > \tau_{\min}$, то інвестор може бути зацікавлений у фінансуванні даної наукової розробки. В іншому випадку фінансування наукової розробки здійснюватися не буде.

Спочатку спропонуємо величину τ_{\min} . Припустимо, що за даних умов:

$$\tau_{\min} = 0,22 + 0,1 = 0,23 = 23\%.$$

Оскільки $E_b = 31\% > \tau_{\min} = 23\%$, то інвестора може бути зацікавлений у вкладенні грошей в дану наукову розробку.

Термін окупності вкладених у реалізацію наукового проекту інвестицій T_{ok} можна розрахувати за формулою:

$$T_{ok} = \frac{1}{E_b} \text{ [років].} \quad (5.21)$$

Якщо $T_{ok} < 3 \dots 5$ -ти років, то фінансування даної наукової розробки в принципі є доцільним. В інших випадках потрібні додаткові розрахунки та обґрунтування.

$$T_{ok} = \frac{1}{0,31} = 3,23 \text{ (років).}$$

Це свідчить про можливу доцільність фінансування даної наукової розробки.

При оцінці економічної ефективності наукового дослідження було визначено та розраховано кошторис капітальних витрат на розробку нового технічного рішення, на його виробництво та впровадження, а також оцінено економічну ефективність інноваційного рішення.

Визначення капітальних витрат на розробку нового технічного рішення включало витрати на основну і додаткову заробітну плату розробників та робітників, амортизацію обладнання, витрати на електроенергію, матеріали і таке

ніч. В розрахунку економічної ефективності було виконано прогнозування загальних витрат на виконання та впровадження результатів наукової роботи, спрогнозовано комерційний ефект від реалізації результатів розробки та її ефективність вкладених інвестицій і періоду їх окупності. За результатами всіх розрахунків було виявлено доцільність проведення даної наукової роботи оскільки вона є економічно вигравданою. Термін окупності вкладених коштів у реалізацію наукового проекту становить $T_{ок}=3,23$ роки. Крім того відносна ефективність вкладень $E_b=31\%$ є більшою за мінімальну ставку дисконтування $\tau_{min}=26\%$, що може зацікавити у фінансуванні даної наукової розробки. Приведена вартість прибутків становить $ПП=1009152,5$ грн.

РОЗДІЛ 6 ОХОРОНА ПРАЦІ ТА БЕЗПЕКА В НАДЗВИЧАЙНИХ СИТУАЦІЯХ ПРИ УДОСКОНАЛЕНІ ДЕТАЛІ «РОБОЧА СЕКЦІЯ ГІДРОРОЗПОДІЛЬНИКА»

Зростання продуктивності праці відбувається в результаті збільшення фонду робочого часу завдяки скороченню внутрішньо-змінних простотів шляхом ліквідації мікротравм або зниження їх кількості, а також завдяки запобіганню передчасного стомлення шляхом раціоналізації і покращення умов праці та введенню оптимальних режимів праці відпочинку та інших заходів, які сприяють підвищенню ефективності використання робочого часу.

Під час роботи з удосконалені конструкції та технологічного процесу обробки заготовки деталі «Робоча секція гідророзподільника» на працівника могли мати вплив такі небезпечні та шкідливі виробничі фактори:

1) Фізичні: підвищена запиленість та загазованість повітря робочої зони; підвищена чи понижена температура повітря робочої зони, підвищений рівень шуму на робочому місці; підвищений рівень електромагнітного випромінювання; підвищена чи понижена іонізація повітря; пряма і відбита близькість; підвищення яскравість; недостатня освітленість робочої зони.

2) Психофізіологічні: статичне перевантаження; розумове перевантаження; емоційні перевантаження.

Відповідно до наведених факторів здійснююмо планування щодо безпечно-виконання роботи.

6.1 Технічні рішення з безпечно-виконання роботи

Загальною вимогою раціональної організації робочих місць є створення працівникам максимальної зручності для здійснення їх діяльності, вивільнення від нераціональних переміщень та рухів, зниження на цій основі витрат праці на виконувану роботу. Економія часу і сил працівника - головні критерії раціональності організації робочих місць.

Робоче місце і взаємне розташування усіх її елементів має відповідати антропометричним, фізичним і неординарним психологічним вимогам [28]. Важливе значення має також характеру роботи. Зокрема, з організацією робочого місця проектувальника мають бути дотримані такі основні умови:

- оптимальне розміщення устаткування, що до складу робочого місця;
- достатній робочий простір, що дозволяє здійснювати всі необхідні рухи, і переміщення;
- необхідне природне, і штучне висвітлення до виконання поставлених завдань;
- рівень акустичного шуму, який не перевищує допустимого значення;
- достатня вентиляція робочого місця;

Головними елементами робочого місця розробника є письмовий стіл і крісло. Основним робочим положенням є положення сидячи. Робоче місце для виконання робіт у положенні сидячи організується відповідно до вимог [29].

Необхідно передбачити при проектуванні можливість різного розміщення документів: збоку від ПК, між монітором і клавіатурою і т.п. Крім того, у випадках, коли ПК має низьку якість зображення, наприклад, помітні мигання, відстань від очей до екрана роблять більшою (блізько 700 мм), ніж відстань від ока до документа (300...450 мм). В загальному випадку, при високій якості зображення на ПК відстань від очей користувача до екрана, документа і клавіатури може бути рівним.

Велике значення надається характеристикам робочого крісла [30]. При проектуванні крісла виходять з того, що при будь-якому робочому положенні дослідника його поза повинна бути фізіологічно правильно обґрунтованою, тобто положення частин тіла повинно бути оптимальним. Для задоволення вимог фізіології, що випливають з аналізу положення тіла людини в положенні сидячи, конструкція робочого сидіння повинна відповідати таким основним вимогам:

- допускати можливість зміни положення тіла, тобто забезпечити вільне переміщення корпуса і кінцівок тіла один щодо одного;

- допускати регулювання висоти в залежності від росту працюючої людини (в межах від 400 до 550 мм);
- мати злегка увігнуту поверхню, мати невеликий нахил, тому поверхню сидіння рекомендується робити м'якою, передній край закругленим, а кут нахилу спинки робочого місла - регульованим.

Приміщення, де здійснювалася роботи з удосконалення конструкції та технологічного процесу обробки заготовки деталі «Робоча секція гідророзподільника» за небезпекою ураження електричним струмом можна віднести до 1 класу, тобто це приміщення без підвищеної небезпеки (сухе, мало запорошене, з нормальнюю температурою повітря, ізольованими підлогами і малим числом заземлених приладів) [31].

На робочому місці з усього обладнання металевим є лише корпус системного блоку комп'ютера, в якого крім робочої ізоляції передбачений елемент для заземлення та провід з заземлюючий жилою для приєднання до джерела живлення.

Електротехнічне устаткування: апаратури, кабелі керівництва, розподільні пристрої всіх видів і напруг по своїх номінальних параметрах задовільняє умовам роботи як при нормальнích режимах, так і при коротких замиканнях, перенапрутах, перевантаженнях.

Для забезпечення безпеки установлюються наступні технічні рішення:

- Забезпечено недоступність струмопровідних частин (застосована схована проводка, кабель прокладений у спеціальних ринвах).
- Забезпечено ізольовання струмопровідних частин з використанням ізоляції, опір якої не нижче $1\text{k}\Omega/\text{В}$, передбачені постійний контроль і профілактика ізоляції.
- Напруга освітлювальної мережі приймається 220 В із заземленою нейтраллю.

У випадку виникнення аварійної ситуації працівник зобов'язаний:

- у всіх випадках виявлення пошкодження проводів електричного живлення, несправності заземлення та інших пошкодженнях електрообладнання,

виникненні запаху гарі, диму - негайно вимкнути електричне живлення і повідомити про аварійну ситуацію свого безпосереднього керівника й чергового електрика;

- при попаданні людини під електричну напругу негайно звільнити її від дії струму шляхом вимкнення електричного живлення, до прибуття лікаря надати потерпілому долярську медичну допомогу;
- при будь-яких випадках порушень роботи технічного обладнання або програмного забезпечення негайно викликати представника технічної служби з питань експлуатації обчислювальної техніки;
- у випадку виникнення різі в очах, різкого погіршення зору, виникнення головного болю, більових відчуттів у пальцях та кистях рук, посилення серцевиття - негайно припинити роботу з використанням ПК, повідомити про те, що сталося, свого безпосереднього керівника й звернутися до медичної установи;
- при загорянні обладнання негайно від'єднати його від електромережі;
- про загорання повідомити свого безпосереднього керівника, оперативного чергового, пожежну службу; ужити заходів щодо ліквідації вогню за допомогою вуглекислотного або порошкового вогнегасника.

6.2 Технічні рішення з гігієни праці та виробничої санітарії

6.2.1 Мікроклімат

Робота, яка виконується проектувальником, згідно за енерговитратами відноситься до категорії I а (енерговитрати до 139Дж/с) [32]. Допустимі параметри мікроклімату для цієї категорії наведені в табл.6.1 (відповідно до ДСН 3.3.6.042-99 [33]).

Таблиця 6.1 – Параметри мікроклімату

Період року	Допустимі		
	t, °C	W, %	V, м/с
Теплий	22-28	55	0,1-0,2
Холодний	21-25	75	0,1

Для забезпечення необхідних за нормативами параметрів мікроклімату в приміщенні передбачено системи вентиляції, система кондиціювання та систематичне вологе прибирання.

Вимірювання параметрів мікроклімату проводиться на робочому місці і в робочій зоні на початку, в середині та в кінці робочої зміни. Вимірювання здійснюються не менше 2-х разів на рік (теплий та холодний періоди року) у порядку поточного санітарного нагляду, а також прийманні до експлуатації нового технологічного устаткування, внесенні технічних змін в конструкцію діючого устаткування, організації нових робочих місць тощо.

6.2.2 Склад повітря робочої зони

У сучасній техніці застосовується безліч речовин, які можуть потрапляти в повітря і становити небезпеку здоров'ю людей. Для визначення небезпечності досліджується вплив цих речовин на організм людини і встановлюють безпечні для людини концентрації та дози, які можуть потрапити різними шляхами в організм людини.

Для створення здорових і безпечних умов праці потрібно мати гігієнічне нормування шкідливих речовин, надійні способи визначення їх концентрацій у повітрі і сучасне технічне та організаційне забезпечення їх знешкодження.

В приміщенні, де здійснюється роботи з удосконалення конструкції та технологічного процесу обробки заготовки деталі «Робоча секція гідророзподільника» можливими шкідливими речовинами у повітрі є пил та озон. Джерелами цих речовин є офісна техніка. Пил потрапляє у приміщення ззовні. ГДК

шкідливих речовин, які знаходяться в досліджуваному приміщенні, наведені в таблиці 6.2.

Таблиця 6.2 – ГДК шкідливих речовин у повітрі

Назва речовини	ГДК, мг/м ³		Клас небезпечності
	Максимально-дозволена	Середньо добова	
Пил нетоксичний	0,5	0,15	4
Озон	0,16	0,03	4

Параметри іонного складу повітря на робочому місці, що обладнане ПК, повинні відповідати допустимим нормам (табл. 6.3).

Таблиця 6.3 – Рівні іонізації повітря приміщення при роботі на ПК

Рівні	Кількість іонів в 1 см ³	
	n+	n-
Мінімально необхідні	400	600
Оптимальні	1500-3000	3000-5000
Максимально необхідні	50000	50000

Для забезпечення комфорних умов використовуються як організаційні методи (раціональна організація проведення робіт залежно від пори року і доби, чергування праці і відпочинку), так і технічні засоби (вентиляція, кондиціювання повітря, опалювальна система).

6.2.3 Виробниче освітлення

Світло впливає не лише на функцію органів зору, а й на діяльність організму в цілому. У разі поганого освітлення людина швидко втомлюється, працює менш продуктивно, зростає потенційна небезпека помилкових дій і нещасних випадків.

Норми освітленості при штучному освітленні та КПО (для III пояса світлового клімату) при природному та сумісному освітленні, які необхідно забезпечити під час виконання роботи зазначені у таблиці 6.4 (відповідно ДБН В.2.5-28-2018 [34]):

Таблиця 6.4 Норми освітленості в приміщенні

Характеристика зорової роботи	Найменший розмір об'єкта розрізновання	Розряд зорової роботи	Підрозряд зорової роботи	Контраст об'єкта розрізновання з фоном	Характеристика фону	Освітленість, лк		КПО, $e_n, \%$		
						Штучне освітлення	Природне освітлення	Сумісне освітлення		
Дуже високо і точнос ті	Від 0,15 до 0,3	II	г	великий	світлий	100 0	300 30	2,5 Загальне	4,2 верхнє	1,5 Бокове

Для забезпечення достатнього освітлення передбачені такі заходи:

- 1) Систематичне очищення скла від бруду – не рідше двох разів на рік.
- 2) Система природного освітлення доповнюється загальним штучним освітленням, що створюється за допомогою люмінесцентних ламп.

6.2.4 Виробничий шум

Для робочих місць в приміщеннях із ПК характерна наявність механічних шумів (виникають внаслідок коливання деталей машин та їхнім взаємним

переміщенням), аеродинамічних шумів (виникають в пружних конструкціях у газі або рідині) та шумів електричних машин.

Деякі ПК є потенційними джерелами цілого ряду звукових коливань як чутного, так і ультразвукового діапазону. Найчастіше рівні акустичного випромінювання, що виходить від ПК, охоплюють діапазон частот від 6,3 до 40 кГц.

Санітарні норми виробничого шуму, ультразвуку та інфразвуку відображені в ДСН 3.3.6.037-99 [35]. Для умов виконання роботи допустимі рівні звукового тиску повинні наведені в таблиці 6.5.

Таблиця 6.5 – Допустимі рівні звукового тиску і рівні звуку для постійного широкополосного шуму

Характер робіт	Допустимі рівні звукового тиску (дБ) в октавних смугах зі середньогеометричними частинами (Гц)									Допустимий рівень звуку, дБА
	32	63	125	250	500	1000	2000	4000	8000	
Виробничі приміщення	86	71	61	54	49	45	42	40	38	50

Для забезпечення допустимих параметрів шуму доцільно використовувати комп'ютери з пасивним охолодженням та встановити пластикові вікна, які мають достатню звукоізоляцію.

6.2.5 Виробничі випромінювання

Під час проектування існує ризик виникнення підвищеного рівня електромагнітного поля. Несприятливу дію на організм людини мають електромагнітні випромінювання радіочастотного діапазону, джерелами яких є телевізійні і радіомовні станції, пристрой стільникового радіозв'язку, апарати високочастотного нагрівання і навіть побутова апаратура.

Електромагнітні поля чинять термічний і морфологічний вплив на організм людини, викликаючи в ньому функціональні зміни.

Допустимі значення параметрів неіонізуючих електромагнітних випромінювань від монітора комп'ютера представлени в табл. 6.6.

Таблиця 6.6 - Допустимі значення параметрів неіонізуючих електромагнітних випромінювань

Найменування параметра	Допустимі значення
Напруженість електричної складової електромагнітного поля на відстані 50см від поверхні відеомонітора	10В / м
Напруженість магнітної складової електромагнітного поля на відстані 50см від поверхні відеомонітора	0,3 А / м
Напруженість електростатичного поля не повинна перевищувати: для дорослих користувачів для дітей дошкільних установ і що вчаться середніх спеціальних і вищих навчальних закладів	20кВ / м 15кВ / м

Для зниження дії цих видів випромінювання рекомендується застосовувати монітори із зниженим рівнем випромінювання (MPR-II, TCO-92, TCO-99, TCO-03), а також дотримувати регламентовані режими праці і відпочинку.

6.3 Дослідження безпеки роботи в умовах дії загрозливих факторів надзвичайних ситуацій

6.3.1 Дія вогню на будівлі виробничих приміщень під час пожежі

Аналіз пожеж показує, що рівень гранично допустимих чинників пожежі виникає через 5-10 хв з початку пожежі, несучу здатність будівельні металеві

хоч конструкції втрачають через 10-15 хв, а середній час початку ефективних дій пожежних підрозділів становить 20-25 хв.

Пожежну небезпеку посилює зростання концентрації горючих речовин і матеріальних цінностей, що припадає на одиницю площі будівель (пожежне навантаження), що призводить до дуже високого рівня їх пожежної небезпеки.

Тяжкість наслідків від пожеж значною мірою зумовлена недостатньою захищеністю будівель та споруд системами автоматичного протипожежного захисту та їх некваліфікованим обслугуванням.

Причиною зростання кількості жертв та матеріальних збитків на пожежах стає те, що технічна оснащеність пожежної охорони значно відстає від сучасних вимог і недостатньо укомплектована засобами рятування людей та засобами пожежогасіння.

Втрати від пожеж визначаються сукупністю видів збитків від них. Втрати на пожежах пов'язані з прямими, побічними, соціальними та екологічними збитками.

Вогонь – надзвичайно небезпечний чинник пожежі, однак випадки його безпосередньої дії на людей зустрічаються досить рідко. Під час пожежі температура полум'я може досягати 1200-1400 °C і у людей, що знаходяться у зоні пожежі випромінювання полум'я можуть викликати опіки та болючі відчуття.

Дим являє собою велику кількість видимих найдрібніших твердих та (або) рідинних часточок незгорівших речовин, що знаходяться в газах у зависому стані. Він викликає інтенсивне подразнення органів дихання та слизових оболонок (сильний кашель, слізотечу тощо). Крім того, у задимлених приміщеннях внаслідок погіршення видимості сповільнюється евакуація людей, а часом провести її зовсім неможливо. Так, при значній задимленості приміщення видимість предметів, що освітлюються лампочкою потужністю 20 Вт, складає не більше 2,5 м.

Недостатність кисню спричинена тим, що в процесі горіння відбувається хімічна реакція окислення горючих речовин та матеріалів. Небезпечною для життя людини уже вважається ситуація, коли вміст кисню в повітрі знижується до 14% (норма 21 %). При цьому втрачається координація рухів, з'являється кволість, запаморочення, гальмування свідомості. При концентрації кисню 9-11% смерть настає через кілька хвилин.

Вибухи, витікання небезпечних речовин можуть бути спричинені їх нагріванням під час пожежі, розгерметизацією посудин та трубопроводів з небезпечними рідинами та газами тощо. Вибухи збільшують площу горіння і можуть призводити до утворення нових осередків пожеж. Люди, що перебувають поблизу, можуть попасті під дію вибухової хвилі, діставати ураження уламками тощо.

Руйнування будівельних конструкцій відбувається внаслідок втрати ними несучої здатності під впливом високих температур та вибухів. При цьому люди можуть одержати значні механічні травми, опинитися під уламками завалених конструкцій. До того ж, евакуація може бути просто неможливою, внаслідок завалів евакуаційних виходів та руйнування шляхів евакуації [36].

6.3.2 Визначення кількості вогнегасників

Вихідні дані: розміри приміщення (м): 13×7

Згідно ОНТП 24-86, приміщення, де використовуються персональні комп'ютери, слід оснащувати переносними вуглекслотними або порошковими вогнегасниками ємністю 3 л з розрахунку: один вогнегасник на кожні 20 м^2 підлоги приміщення.

Таким чином, орієнтовна кількість вогнегасників визначається за формулою:

$$n = S_{\Pi} / S_{\Pi 1} \text{ [шт]},$$

де S_{Π} – площа підлоги приміщення, м^2 ;

$S_{\Pi 1}$ – площа підлоги, що припадає на один вогнегасник ($S_{\Pi 1} = 20 \text{ м}^2$).

За відомими розмірами приміщення знайдемо площа підлоги приміщення:

$$S_{\Pi} = ab \text{ [м}^2\text{]}, \quad (6.2)$$

де a – довжина приміщення, м;

b – ширина приміщення, м.

Отже, площа підлоги приміщення складає

$$S_{II} = 13 \cdot 7 = 91 (\text{м}^2).$$

Таким чином визначаємо орієнтовну кількість вогнегасників:

$$n = 91 / 20 = 4,55 (\text{шт}).$$

Отримане значення заокруглюємо до найближчого більшого значення $n = 5$ шт.

6.3.3 Розробка превентивних заходів по підвищенню безпеки роботи в умовах дії надзвичайної ситуації

З метою попередження пожежі проводяться організаційні, технічні, експлуатаційні і режимні заходи.

До організаційних заходів відносяться: навчання працюючих правилам пожежної безпеки, проведення інструктажів, бесід, лекцій тощо.

До технічних – дотримування протипожежних правил і норм при встановлені опалення, вентиляційного обладнання.

До експлуатаційних – заходи, що передбачають правильну експлуатацію машин, обладнання, транспорту, правильне утримання будинків і території.

ВИСНОВКИ

В ході виконання магістерської кваліфікаційної роботи (МКР) було уdosконалено конструкцію та технологічний процес обробки заготовки деталі «Робоча секція гідророзподільника» шляхом імітаційного моделювання, що забезпечило необхідні показники місцевих втрат тиску.

Під час роботи над першим розділом МКР було проведено аналіз конструкцій секційних гідророзподільників. Проведено огляд літературних джерел по дослідженням секційних гідророзподільників.

В другому розділі складено схему гідроприводу мобільної робочої машини на основі секційного гідророзподільника. Досліджено його розрахункову схему та математичну модель. А також знайдено основні параметри режимів роботи гідроприводу мобільної робочої машини.

В третьому розділі розглянуто алгоритм проведення імітаційного дослідження течій робочої рідини по каналах деталі «Робоча секція гідророзподільника». Зроблено підбір ливарних радіусів для покращення показників місцевих втрат тиску в каналах секційного гідророзподільника. Отриманий графік залежності що, показує різницю у місцевих втрахах тиску робочої рідини під час переходу від більшого діаметру каналі в менший і навпаки. Прийнято використовувати ливарні радіуси для заготовки деталі «Робоча секція гідророзподільника» більше 3 мм. Зменшення місцевих втрат тиску досягнуто від 7,7% до 3,7% в каналах деталі «Робоча секція гідророзподільника».

Уdosконалено конструкцію деталі «Робоча секція гідророзподільника» шляхом зменшення не оброблюваних ділянок матеріалу. Це дозволило зменшити масу заготовки та покращити коефіцієнт використання матеріалу з 0,65 до 0,81.

Четвертому розділі МКР розроблено новий технологічний процес для обробки уdosконаленої деталі «Робоча секція гідророзподільника». Він включає на 1 менше операцій, ніж в аналога, що покращує продуктивність виготовлення деталі, та зменшує її вартість.

П'ятому розділі МКР розраховано економічну доцільноті виготовлення виробу в якому зазначено, що річний прибуток виробника складе більше 1009,15 тисяч грн з терміном окупності за 3,23 роки.

В шостому розділі МКР розкрито питання з охорони праці та безпеки у надзвичайних ситуаціях. Проаналізовано всі умови праці присутні на дільниці механічної обробки включаючи: виробничу санітарію, пожежну безпеку, освітлення, шум і т.д., а також дія іонізуючих та електромагнітних випромінювання на електронні та електричні системи.

СПИСОК ВИКОРИСТАНИХ ДЖЕРЕЛ

1. Козлов Л.Г. Вдосконалення системи керування гідроприводів з LS-регулюванням : дис. канд. тех. наук: 05.02.03 / Козлов Леонід Геннадійович – Вінниця, 2000р. – 320 с.
2. LUDV control block of mono and sandwich plate design / Bosch Rexroth AG. – Hydraulicsc. 2006. – Р. 15.
3. Catalogue HK. 51. A/02. Danfoss 11/91. – Р. 9-10.
4. Technical Information AVG 32 Proportional Valve Group. – Р. 246. Електронний ресурс: <https://assets.danfoss.com/documents/238670/BC152886483664en-001506.pdf>
5. BOSCH Elektrohydraulische Steuerungen fur Mobilwegeventile der Bauteilen SB12 und SB23 HP/VKD-213 eg 00514, De 3.89 – 1989. – 174 р.
6. Jonson. Load-sensing systems control speed accurately // HYDRAULICS & PNEUMATICS, MARCH 1995. – Р. 33-36.
7. Стійкість гідропривода з пропорційним керуванням при знакозмінному навантаженні / Л.Г. Козлов, к.т.н., Я.В. Шаматієнко, А.І. Ковальчук, В.М. Черніюк – Хмельницький: Вісник ХНУ, 2010. № 3. – С. 163-168.
8. Піонткевич О. В. Підвищення ефективності багаторежимного гідроприводу фронтального навантажувача [Текст] : автореф. дис. ... наук. ... : 05.02.02 / Олег Володимирович Піонткевич , Національний технічний університет України "Київський політехнічний інститут імені Ігоря Сікорського". Київ, 2019. – 27 с.
9. Гідропривод з пружно-гіdraulічним дозуванням рідини / О. П. Губарев [та ін.] // Вісник Національного технічного університету "ХПІ". Серія: Гіdraulічні машини та гідроагрегати = Bulletin of the National Technical University "KhPI". Series: Hydraulic machines and hydraulic units : зб. наук. пр. – Харків : НТУ "ХПІ", 2018. – № 17 (1293). – С. 25-33.

10. Бочаров В. П. Гідравліка та гідропневмопристрої авіаційної техніки: Навчальний посібник / В. П. Бочаров, М. М. Глазков, Г. Й. Зайончковський, [та ін.]. – К. : «НАУ-друк», 2011. – 472 с
11. Козлов Л. Г. Наукові основи розробки систем гідроприводів маніпуляторів з адаптивними регуляторами на основі нейромереж для мобільних робочих машин: дис. ... д-ра техн. наук : 05.02.02 – Машинознавство / Л. Г. Козлов. – Київ, 2015. – 421 с.
12. Improvement of the Hydraulic Units Design Based on CFD Modeling /O. Petrov, L. Kozlov, D. Lozinskiy, O. Sjontkevych// Advances in Design, Simulation and Manufacturing II. Lecture Notes in Mechanical Engineering. DSMIE 2019. LNME. Springer, Cham. 2020. P. 653-660. doi: 10.1007/978-3-030-22365-6_65
13. Drive and Control Systems for Combine Harvesters and Forage Harvesters. - Bosch Rexroth AG, 2001, RE 98071. – P. 15-19.
14. Fiebig W, Szwemin P, Zawislak M. CFD Simulation of Flow Phenomena in Selected Centrifugal Pumps, Industrial Fans and Positive Displacement Pumps [Internet]. Advanced Computational Fluid Dynamics for Emerging Engineering Processes - Eulerian vs. Lagrangian. IntechOpen; 2019. Available from: <http://dx.doi.org/10.5772/intechopen>.
15. Drive and Control Systems for Commercial Vehicles. Brueninhaus Hydromatic, 1998, RE 98075. – P. 18-26.
16. A methodology for the parametric modelling of the flow coefficients and flow rate in hydraulic valves / J.R. Valdés, J.M. Rodríguez, J. Saumell, T. Pütz // Energy conversion and management. – V. 88, 2014. pp. 598-611. DOI: 10.1016/j.enconman.2014.08.057
17. Трегубов В.О. Удосконалення конструкції секції гідророзподільника на основі інженерного аналізу / О.В. Трегубов, В.О. Ницимайлло, В.Р. Орленко // Міжнародна науково-практична інтернет-конференція «Молодь в науці: дослідження, проблеми, перспективи» (МН-2024). Вінниця: ВНТУ. – 2023. – С. 3. Режим доступу: <https://conferences.vntu.edu.ua/index.php/mn/mn2024/paper/viewFile/19738/16344>

18. Козлов Л.Г. Вплив параметрів системи керування на стійкість гідропривода інваріантного до знакозмінного навантаження / Л.Г. Козлов, І.В. Бойко, О.В. Піонткевич// Наукові нотатки: міжвузівський збірник. Луцьк, № 40, 2013. – С. 118-123.
19. Simulation of Dynamic Systems with MATLAB and Simulink. Third Edition / Harold Klee, Randal Allen. – USA : Taylor and Francis Group, CRC Press, 2018. – 853 p.
20. An Introduction to SOLIDWORKS Flow Simulation 2019 / John E. Matsson. – USA : SDC Publications, 2019. – 331 p.
21. Руденко П.О. Проектування технологічних процесів у машинобудуванні – Київ: Вища школа, 1993. – 414 с.
22. Гевко Б.М., Гевко І.Б., Радіонов Д.Л. Технологія сільськогосподарського машинобудування – К.: Кондор, 2006 – 365 с.
23. Методичні вказівки до виконання економічної частини магістерських кваліфікаційних робіт / Уклад. : В. О. Козловський, Ю. І. Лесько, В. В. Кавецький. – Вінниця : ВНТУ, 2021. – 42 с.
24. Погодинні ціни купівлі-продажу електроенергії. Режим доступу: <https://www.oree.com.ua/index.php/pricestr>
25. Тарифи на електроенергію для підприємств. Режим доступу: <https://index.mfin.com.ua/ua/tariff/electric/prom/>
26. Національна комісія, що здійснює державне регулювання у сферах енергетики та комунальних послуг. Режим доступу: <https://www.nerc.gov.ua/sferi-diyalnosti/elektroenergiya/promislovist/tarifi-na-elektroenergiyu-dlya-nepobutovih-spozhivachiv/tarifi-na-poslugi-z-rozpodilu-elektrichnoyi-energiyi>
27. Тарифи на постачання електричної енергії. Режим доступу: <https://www.nerc.gov.ua/sferi-diyalnosti/elektroenergiya/promislovist/tarifi-na-elektroenergiyu-dlya-nepobutovih-spozhivachiv/tarifi-na-poslugi-postachalnikiv-universalnih-poslug/tarifi-na-poslugi-postachalnikiv-universalnih-poslug-shcho-prodovzhuyut-diyati-z-01042023>

28. ДСТУ OHSAS 18002:2015. Системи управління гігієною та безпекою праці. Основні принципи виконання вимог OHSAS 18001:2007 (OHSAS 18002:2008, IDT). К. ІП «УкрНИУЦ», 2016. 21
29. ДСТУ 8604:2015 Дизайн і ергономіка. Робоче місце для виконання робіт у положенні сидя чи лежачи. Загальні ергономічні вимоги. URL: http://online.budstandart.com/ua/catalog/doc-page?id_doc=71028.
30. НПАОП 0.00-7_15-18 Вимоги щодо безпеки та захисту здоров'я працівників під час роботи з екранними пристроями. URL: http://sop.zp.ua/norm_npraop_0_00-7_15-18_01_ua.php
31. Правила улаштування електроустановок - [Електронний ресурс] - Режим доступу: <http://www.energiy.com.ua/PUE.html>
32. Гігієнічна класифікація праці (загрозниками шкідливості і небезпеки факторів виробничого середовища від 12.08.1986 № 4137-86. - [Електронний ресурс] - Режим доступу: <http://zakon4.rada.gov.ua/laws/show/v4137400-86>
33. ДСН 3.3.6.042-99 Санітарні норми мікроклімату виробничих приміщень. - [Електронний ресурс] - Режим доступу: <http://mozdocs.kiev.ua/view.php?id=1972>
34. ДБН В.2.5-28-2018 Природне і штучне освітлення - [Електронний ресурс] - Режим доступу: <http://document.ua/prirodne-i-shtuchne-osvitlenja-nor8+5.html>
35. ДСН 3.3.6.037-99 Санітарні норми виробничого шуму, ультразвуку та інфразвуку. - [Електронний ресурс] - Режим доступу: <http://document.ua/sanitarni-normi-virobnichogo-shumu-ultrazvuku-ta-infrazvuku-nor4878.html>
36. Методичні вказівки до самостійної та індивідуальної роботи з дисципліни "Цивільний захист та охорона праці в галузі. Частина 1. Цивільний захист" / Уклад. О. В. Поліщук, О. В. Березюк, М. С. Лемешев. – Вінниця : ВНТУ, 2017. – 32 с.

додатки

Кафедра Технологій та автоматизації машинобудування

ДОДАТОК А

ПРОТОКОЛ ПЕРЕВІРКИ КВАЛІФІКАЦІЙНОЇ РОБОТИ НА НАЯВНІСТЬ ТЕКСТОВИХ ЗАПОЗИЧЕНЬ

Назва роботи: Удосконалення конструкції та технологічного процесу обробки заготовки деталі «Робоча секція гідророзподільника»

Тип роботи: магістерська кваліфікаційна робота
(БДР, МКР)

Підрозділ Кафедра технологій та автоматизації машинобудування, ФМТ
(кафедра, факультет)

Показники зв'язку подібності Unicheck

Оригінальність 98,05 Повнота 1,95

Аналіз звіту подібності (відмітити потрібне):

- 1. Запозичення, виявлені у роботі, оформлені коректно і не містять ознак плагіату.
 - 2. Виявлені у роботі запозичення не мають ознак плагіату, але їх надмірна кількість викликає сумніви щодо цінності роботи і відсутності самостійності її виконання автором. Роботу направити на розгляд експертної комісії кафедри.
 - 3. Виявлені у роботі запозичення є недобросовісними і мають ознаки плагіату та/або в ній містяться навмисні спотворення тексту, що вказують на спроби приховання недобросовісних запозичень.

Особа, відповідальна за перевірку _____
(підпис)

Сердюк О.В.
(прізвище, ініціали)

Ознайомлені з повним звітом подібності, який був згенерований системою Unicheck щодо роботи.

Автор роботи _____
(підпись)

Орленко В.Р.
(прізвище, ініціали)

Керівник роботи _____
(підпис)

Піонткевич О.В.
(прізвище, ініціали)

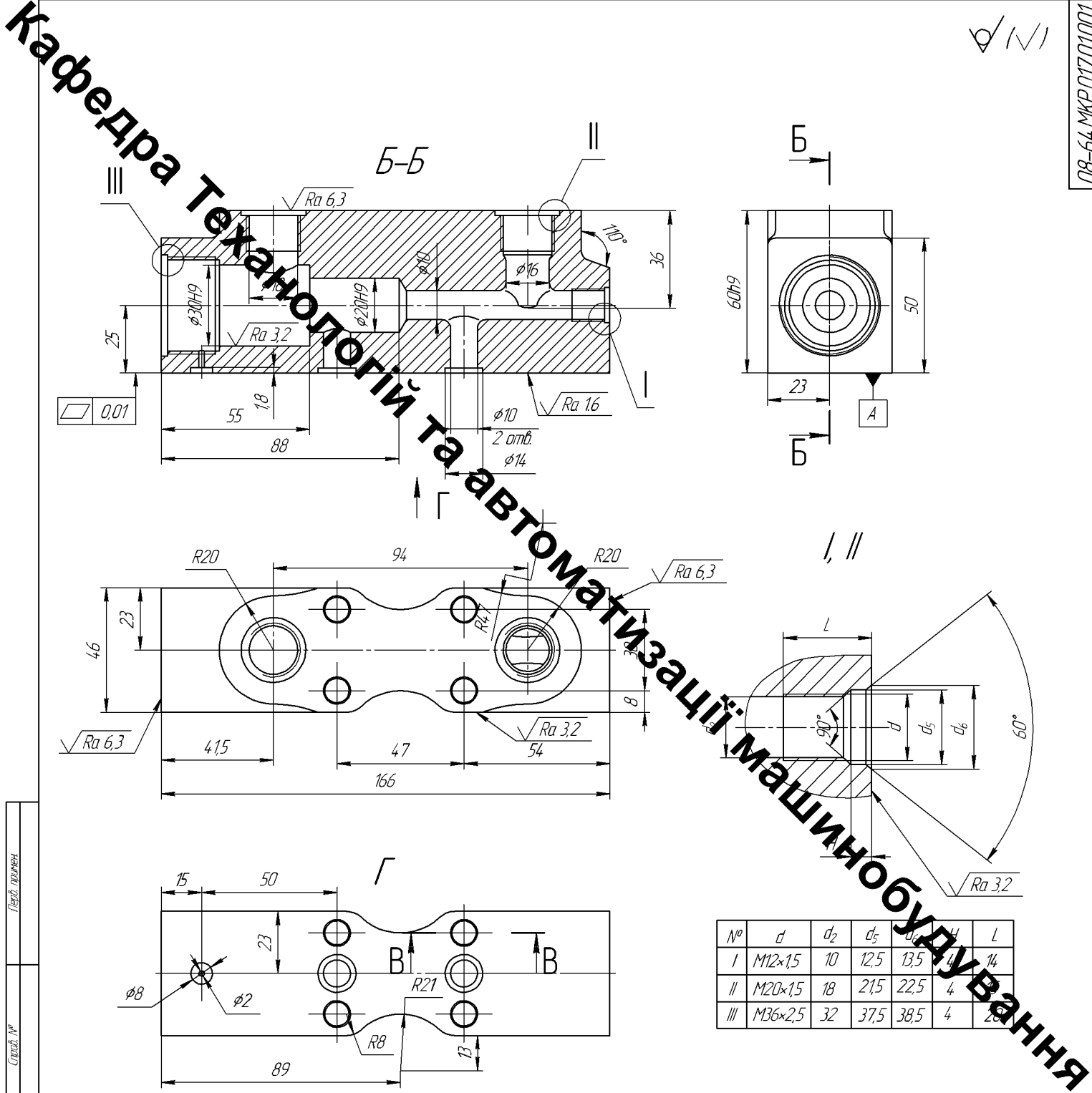
ДОДАТОК Б

ІЛЮСТРАТИВНА ЧАСТИНА

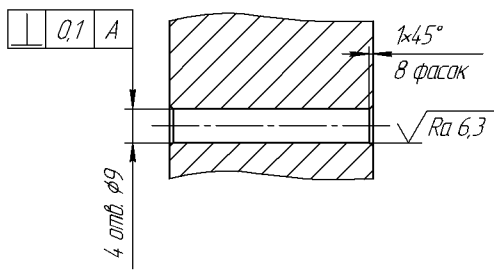
**УДОСКОНАЛЕННЯ КОНСТРУКЦІЙ ТЕХНОЛОГІЧНОГО ПРОЦЕСУ
ОБРОБКИ ЗАГОТОВКИ ДЕТАЛІ «РОБОЧА СЕКЦІЯ
ГІДРОРОЗПОДІЛЬНИКА»**

✓/✓

08-64.МКР.017.01001



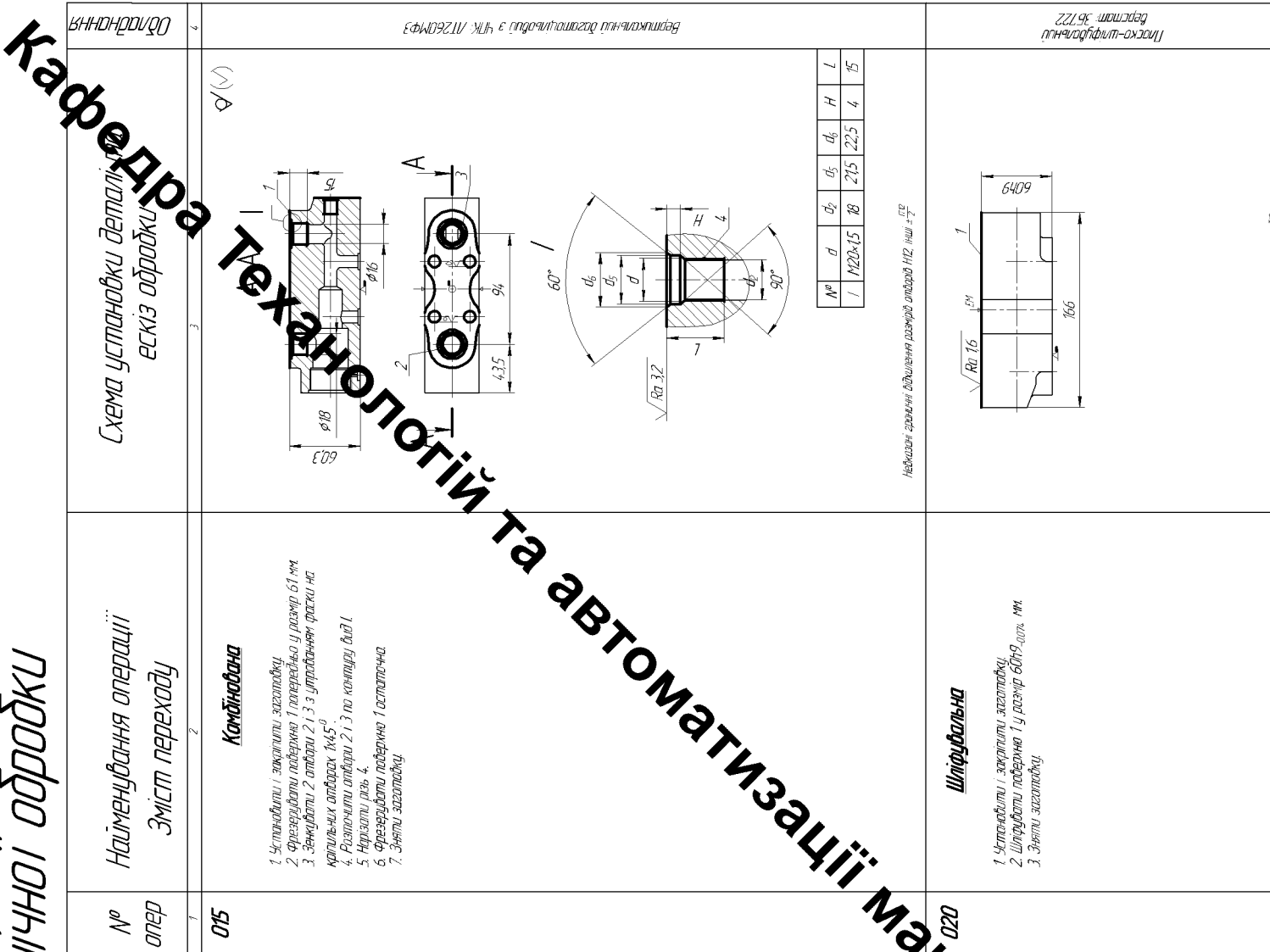
B-B

решта - ± 1 IT12

Робоча секція гідророзподільника				Літак	Маса	Масив
Ізм. лист	№ докум.	Підп.	Дата	Н	2,27	11
Рисунок	Орлінко		08.07.23			
Пров	Понтикович		07.07.23			
Г.контр.						
Н.контр.	Сердюк		08.07.23	CЧ 18 ДСТУ 3183-95		
Утвд	Козлов		08.07.23	ВНТУ, ст. гр. 2ПМ-22М		

08-64.МКР.017.01001

Маршрут механічної обробки



№ операції	Найменування операції Эміст переходу	Схема установочки деталі та ескіз обробки	
		№ операції	Найменування операції Эміст переходу
005	Комбінація	015	Комбінація
	<p>1. Чистовий / засічки засічки.</p> <p>2. Фрезерування південної поверхні 1 по перебільшенню у висоті 53 мм по 2-оій осі візуалізації.</p> <p>3. Центрування 4-го отвору 2 з утворенням фасок 45°.</p> <p>4. Свердлення 4-го отвору 2 на висоті 18 мм.</p> <p>5. Ізогнути 2 отвори 3 на висоті 18 мм.</p> <p>6. Свердлення отвір 4 з діаметром 16 мм.</p> <p>8. Виготовити отвір 4 на висоті 18 мм.</p> <p>9. Фрезерування південної поверхні 1 по висоті 44.</p> <p>11. Зняті засічки.</p>	<p>1. Чистовий / засічки засічки.</p> <p>2. Фрезерування південної поверхні 1 по перебільшенню у висоті 51 мм.</p> <p>3. Зняті засічки 2 отвори 2 і 3 з утворенням фасок 45°.</p> <p>4. Розширення отвору 4.</p> <p>5. Нарязання отвір 2 і 3 по контуру 80°.</p> <p>6. Фрезерування південної поверхні 1 по контуру 110°.</p> <p>7. Зняті засічки.</p>	<p>Бепнукавність досконалості 3 4НК IT260MФ3</p> <p>Бепнукавність досконалості 3 4НК IT260MФ3</p>
010	Токарно-револьверна з ЧПК Установка 1	020	Шлифування
	<p>1. Чистовий / засічки засічки.</p> <p>2. Гачкую південної поверхні 1 по перебільшенню у висоті 170,121; 194.</p> <p>3. Розширення отвір 2 по перебільшенню чи зниженню 85,55.</p> <p>4. Розширення отвір 2 по перебільшенню чи зниженню 53,9.</p> <p>5. Гачкую південної поверхні 1 по висоті 88.</p> <p>6. Розширення отвір 2 по висоті 88.</p> <p>7. Розширення отвір 2 по висоті 55 чи зниженню 88.</p> <p>8. Розширення отвір 2 по висоті 55 чи зниженню 88.</p> <p>9. Зняті засічки.</p>	<p>1. Чистовий / засічки засічки.</p> <p>2. Гачкую південної поверхні 1 по перебільшенню 167,36 чи зниженню 4.</p> <p>3. Утворення фасок 60°.</p> <p>4. Гачкую південної 3.</p> <p>5. Нарязання різьби 3.</p> <p>6. Зняті засічки.</p>	<p>Бепнукавність досконалості 3 4НК IT240Ф30</p> <p>Бепнукавність досконалості 3 4НК IT240Ф30</p>
011	Чистовий 2	021	Чистовий 2
	<p>1. Чистовий / засічки засічки.</p> <p>2. Гачкую південної поверхні 2 по перебільшенню 167,36 чи зниженню 4.</p> <p>3. Утворення фасок 60°.</p> <p>4. Гачкую південної 1.</p> <p>5. Нарязання різьби 3.</p> <p>6. Зняті засічки.</p>	<p>1. Чистовий / засічки засічки.</p> <p>2. Шлифування 1 по контуру 1 у висоті 60,9-60,9.</p> <p>3. Зняті засічки.</p>	<p>Бепнукавність досконалості 3 4НК IT222</p> <p>Бепнукавність досконалості 3 4НК IT222</p>

Огляд моделей фрезерних верстатів з ЧПК

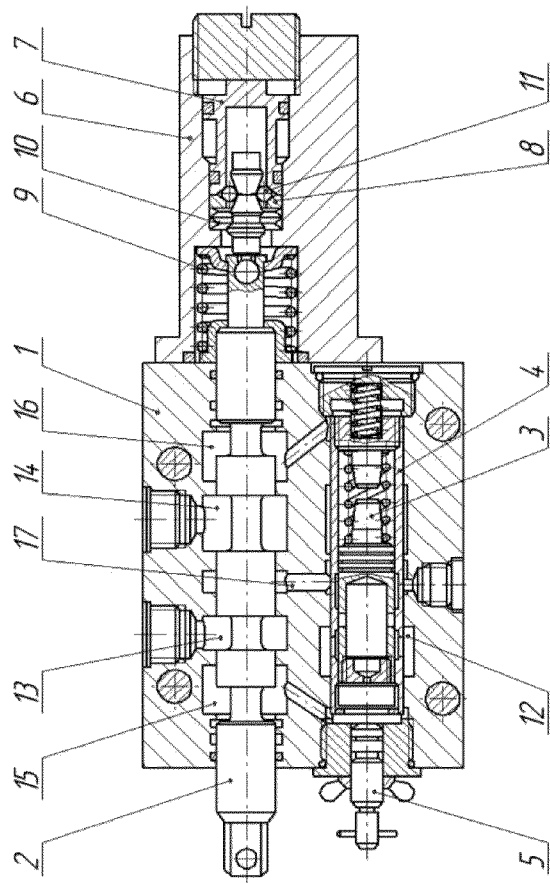


Рисунок 1 – Конструкція робочої секції
секційного гідророзподільника
розробленого в ВНТУ

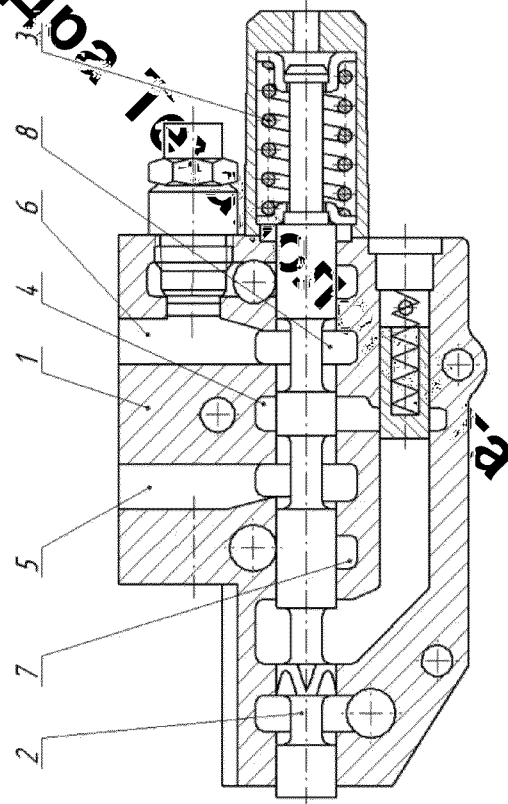


Рисунок 2 – Конструкція сечційного
гідророзподільника фірми «Rexroth»

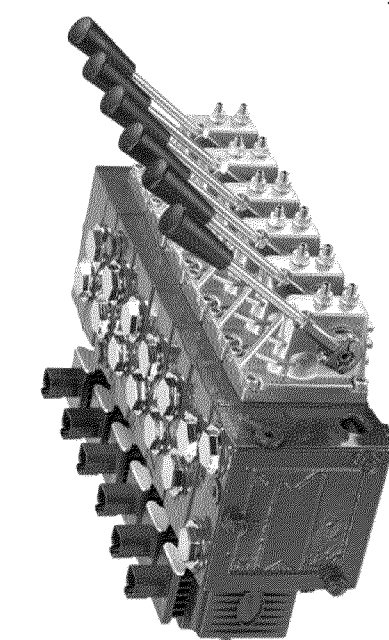


Рисунок 3 – Секційний
гідророзподільник фірми «Bosch Rexroth»

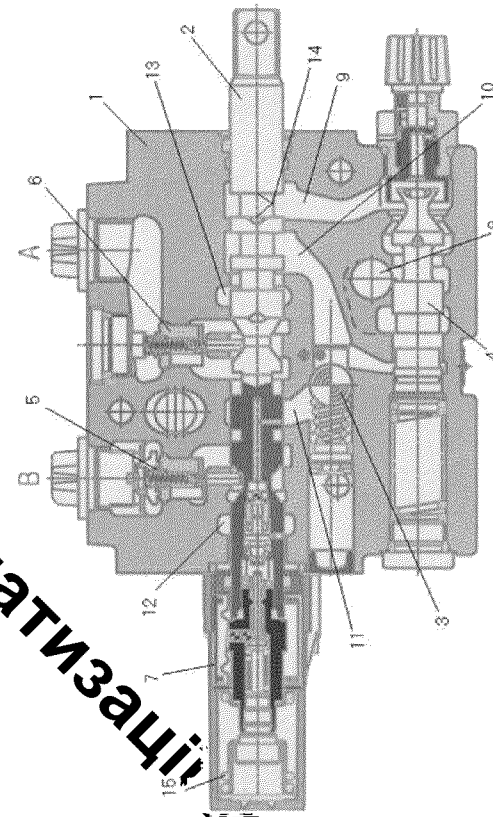
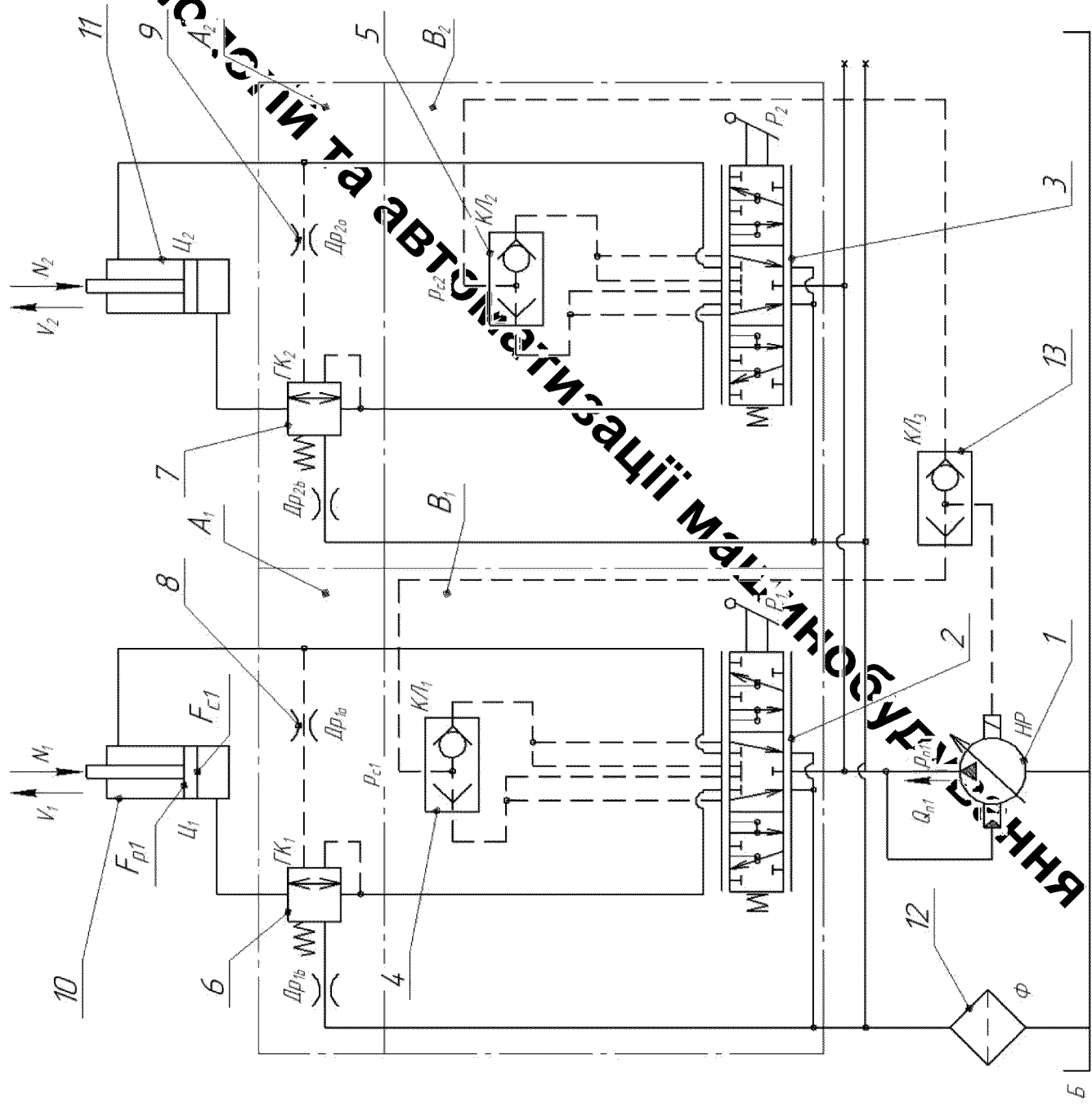


Рисунок 4 – Конструкція сечційного
гідророзподільника фірми «BOSCH»

Секційні гідророзподільники

Машини

Схема гідроприводу на два виконавчі органи для робочої мобільної



Розрахункова схема та математична модель прототипу

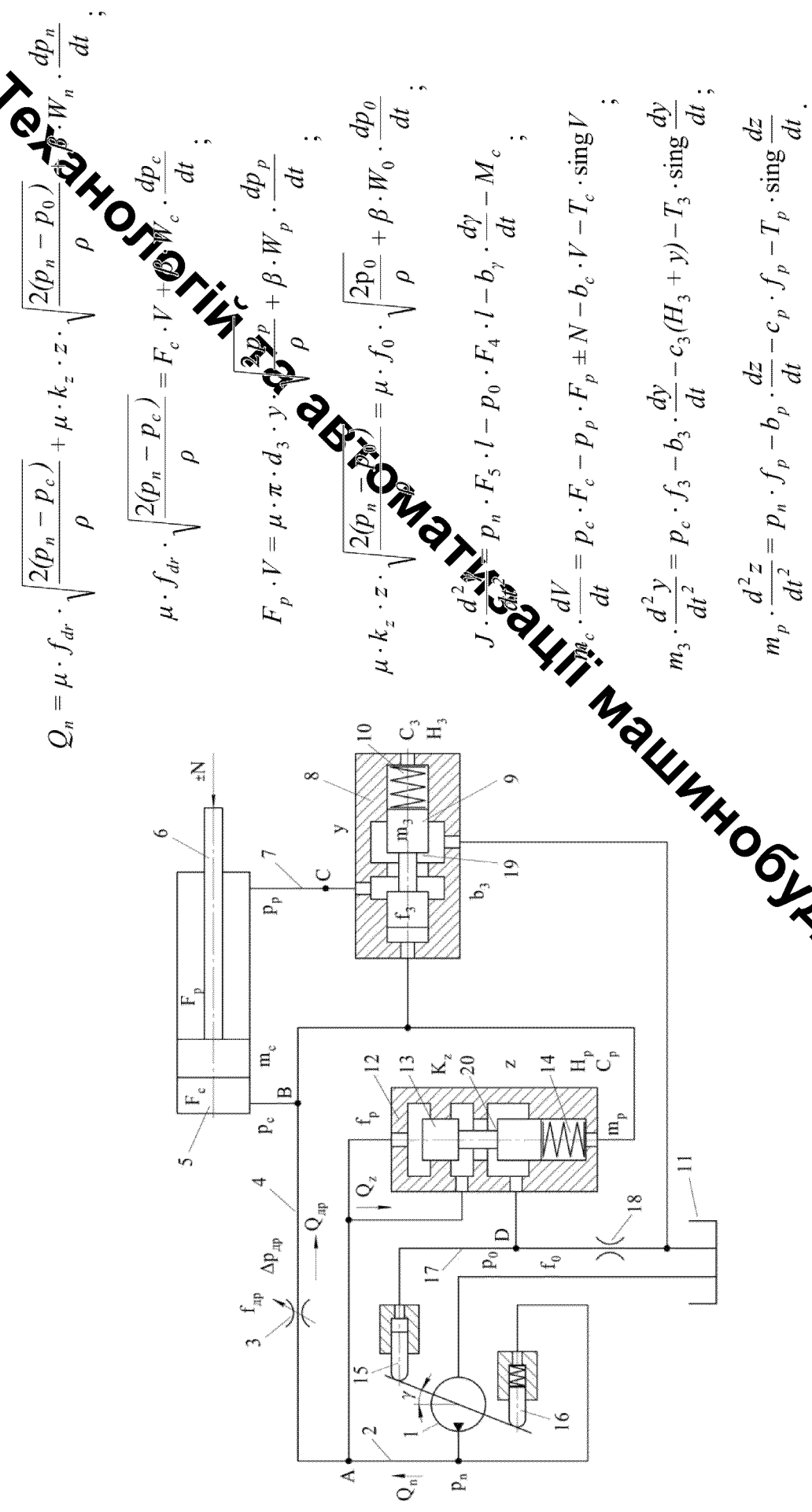


Рисунок 1 – Розрахункова схема

Рисунок 2 – Математична модель

Конструкція секційного гідророзподільника в програмі SolidWorks

Таблиця 1 – Основні конструктивні розміри елементів робочої секції

Параметр	Одиниці вимірювання	Діапазон
Прямий рух мінеральної оліви		
d_3	M	$(12...19) \cdot 10^{-3}$
Зворотній рух мінеральної оліви		
d_3	M	$(17...22) \cdot 10^{-3}$
K_3	M	$(21...27) \cdot 10^{-3}$

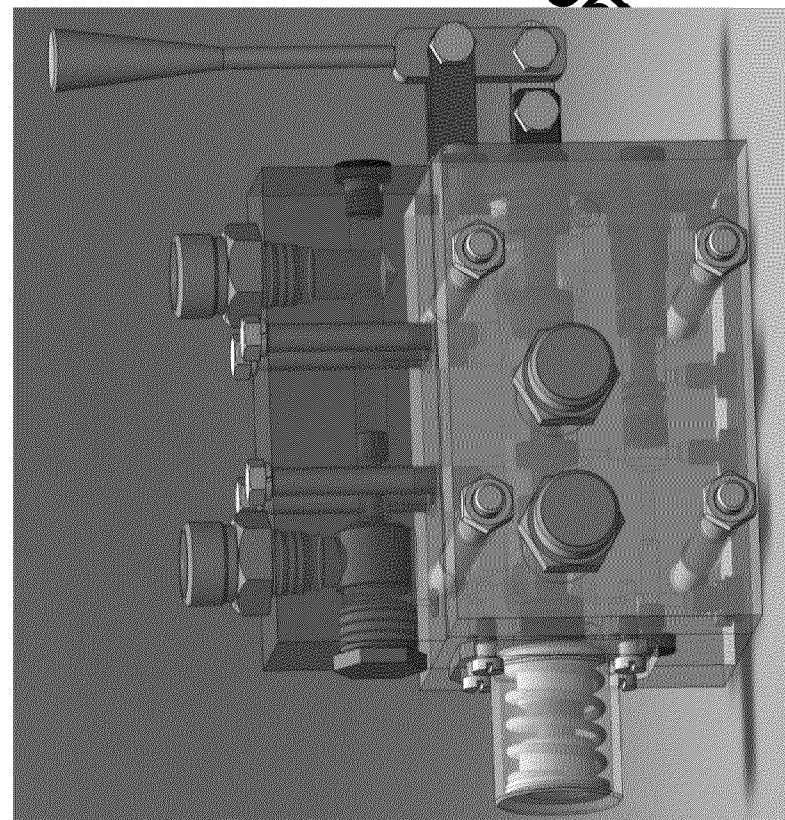


Рисунок 1 – Загальний вигляд

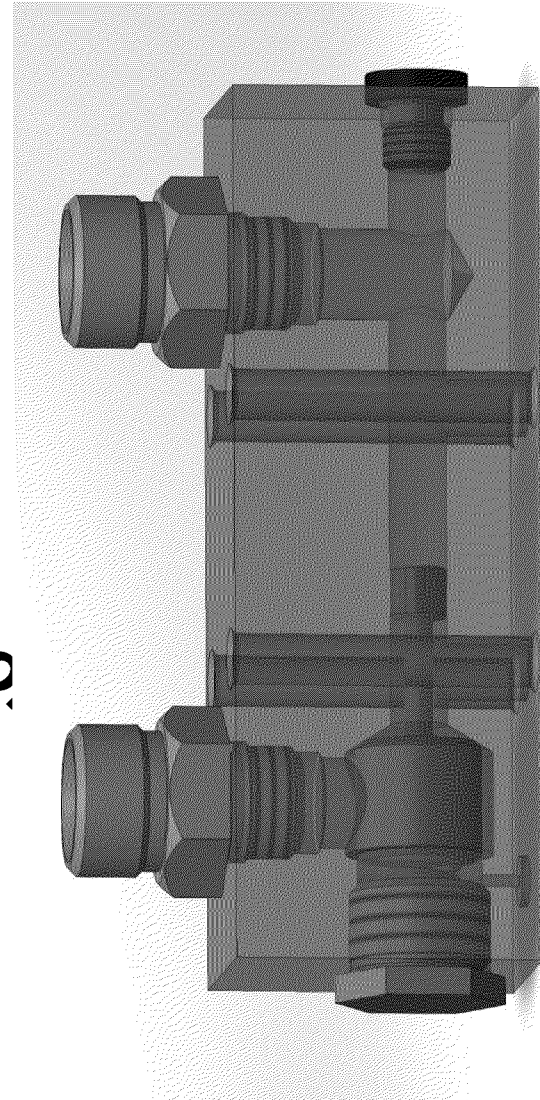


Рисунок 2 – Робоча секція гідророзподільника

Налаштування початкових умов для імітаційного моделювання в SolidWorks Simulation

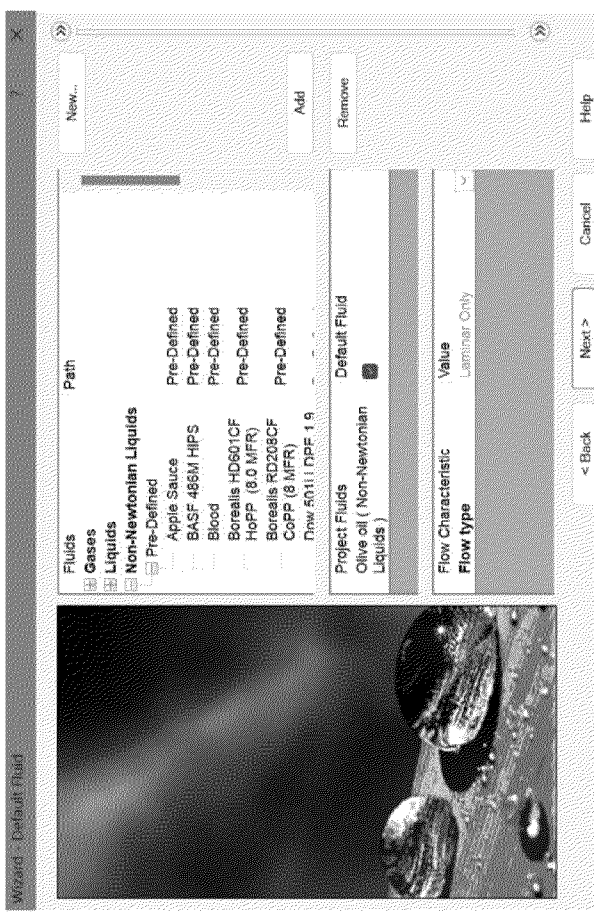


Рисунок 1 – Вибір виду робочої рідини

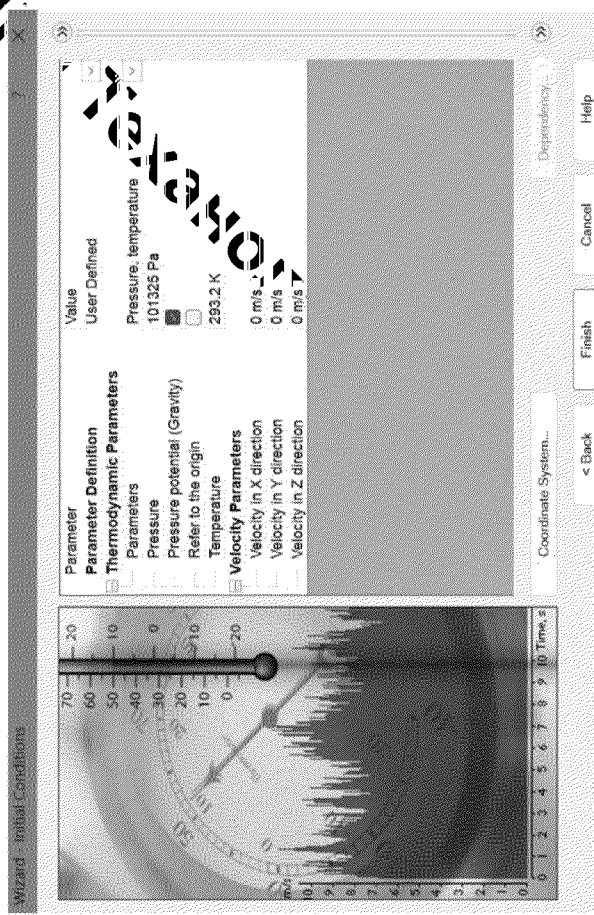


Рисунок 2 – Зовнішні умови експлуатації

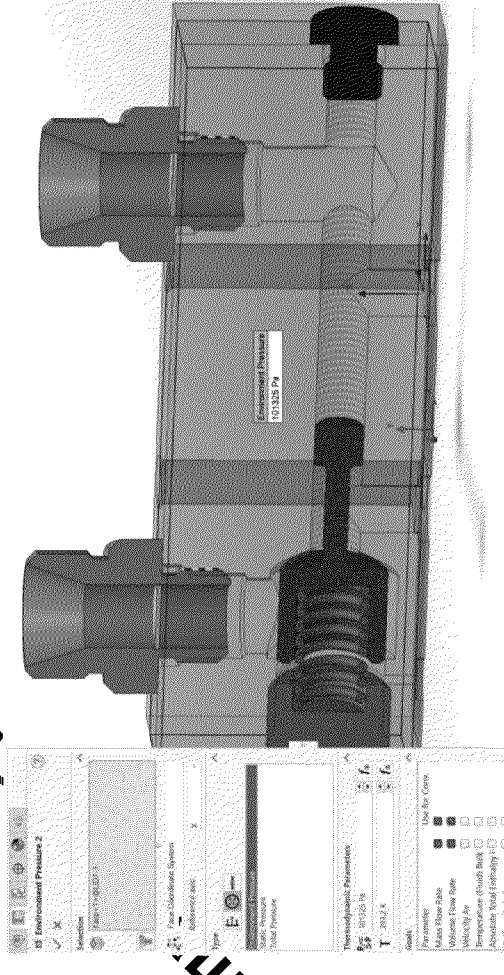


Рисунок 3 – Накладання подачі

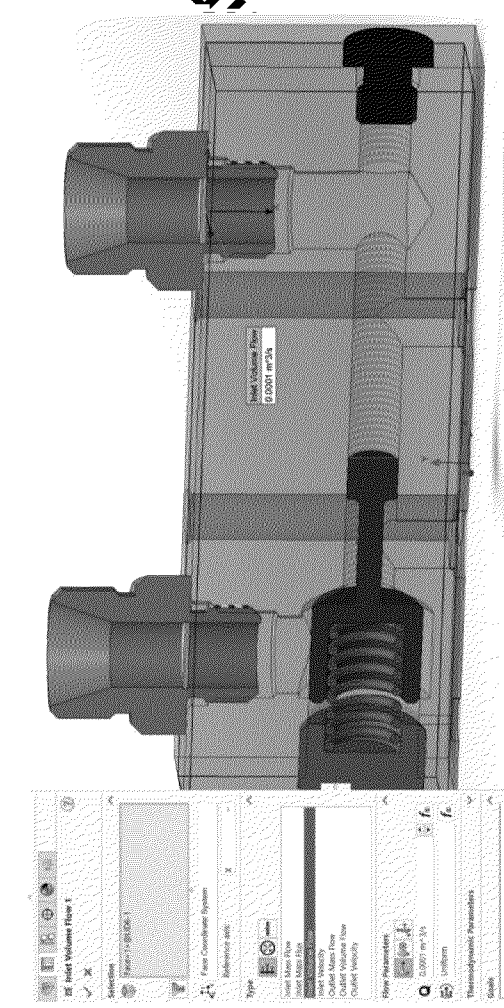
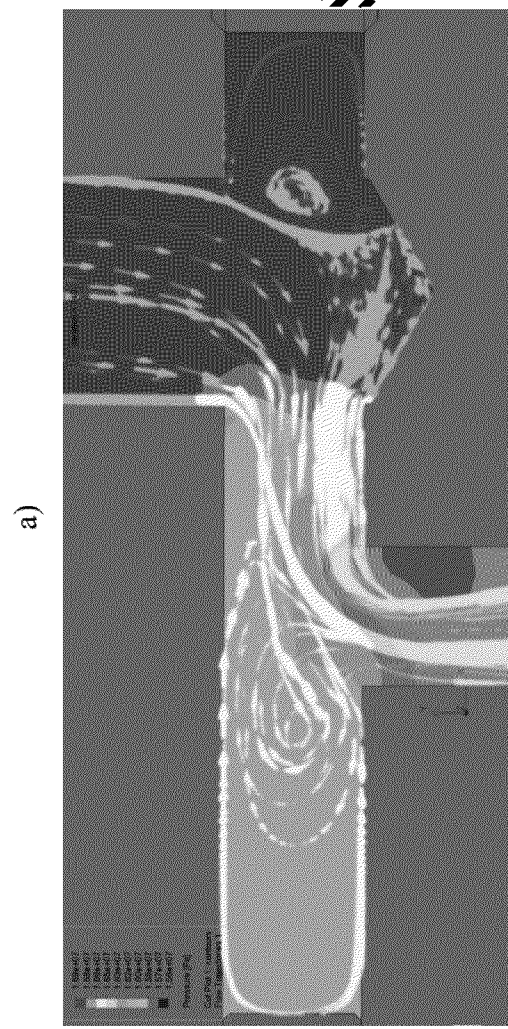
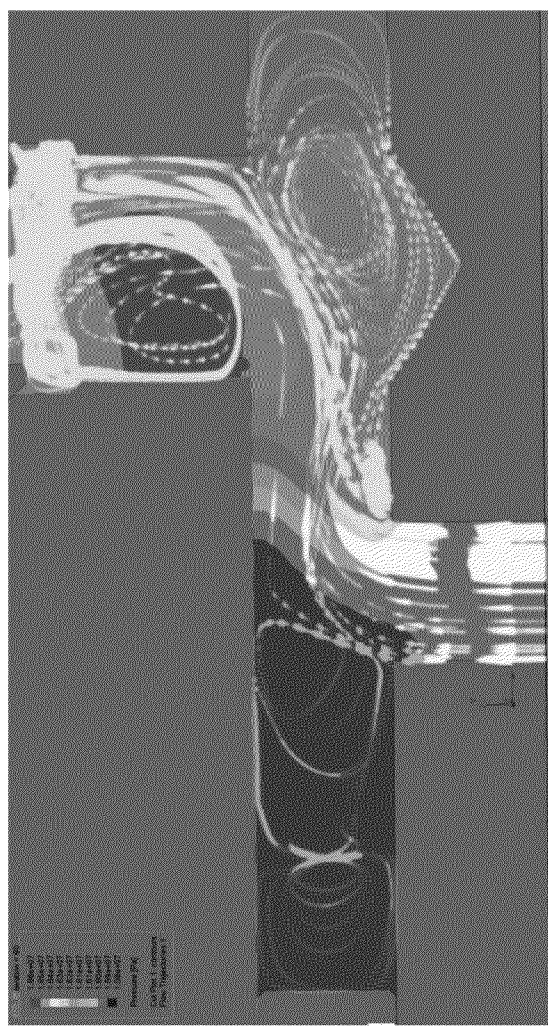


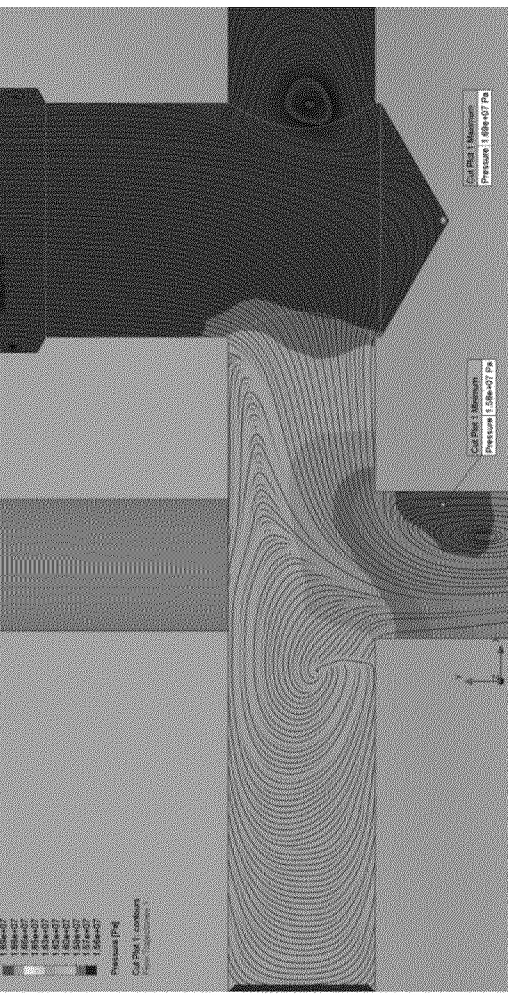
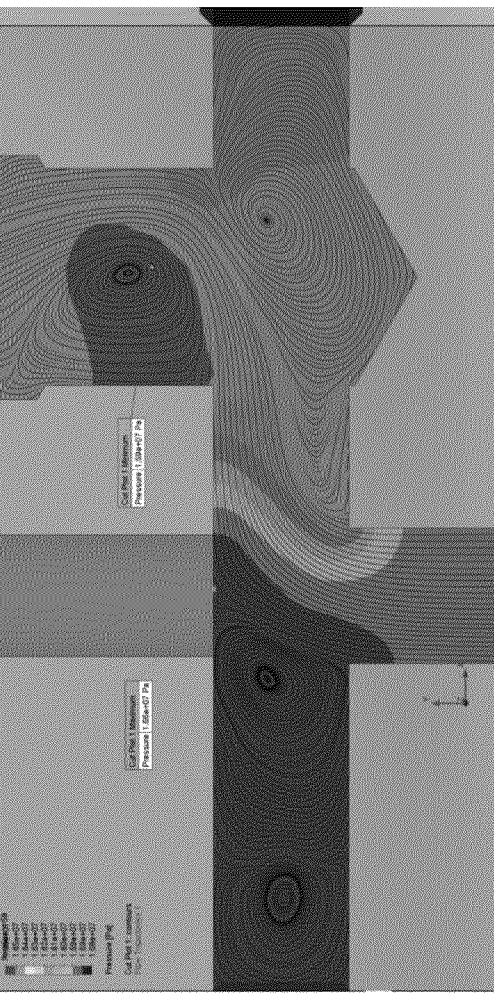
Рисунок 4 – Накладання тиску

6

Результат моделювання течії робочої рідини в каналах деталі «Робоча секція гідророзподільника» прототипу



a)



a)

б)

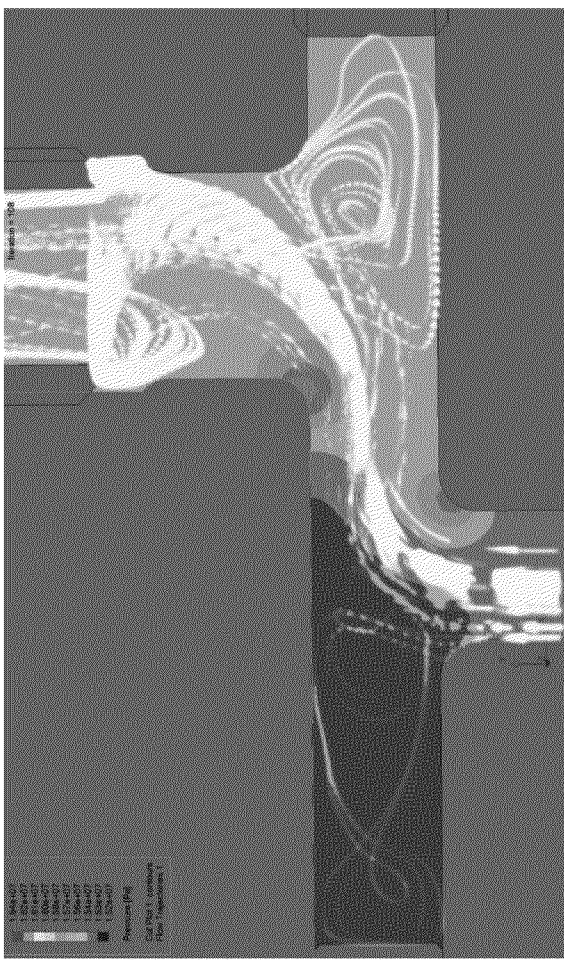
в)

Рисунок 1 – Скрін анімації течії робочої рідини

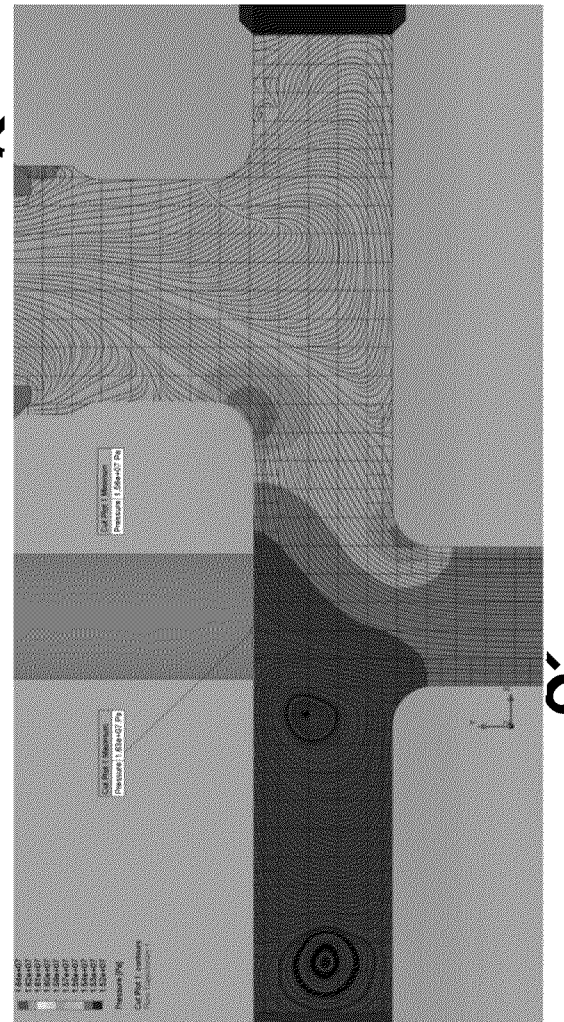
Рисунок 2 – Розріз течії робочої рідини по середині каналу

7

Результат моделювання течії робочої рідини в каналах удосконаленої деталі «Робоча секція гідророзподільника»

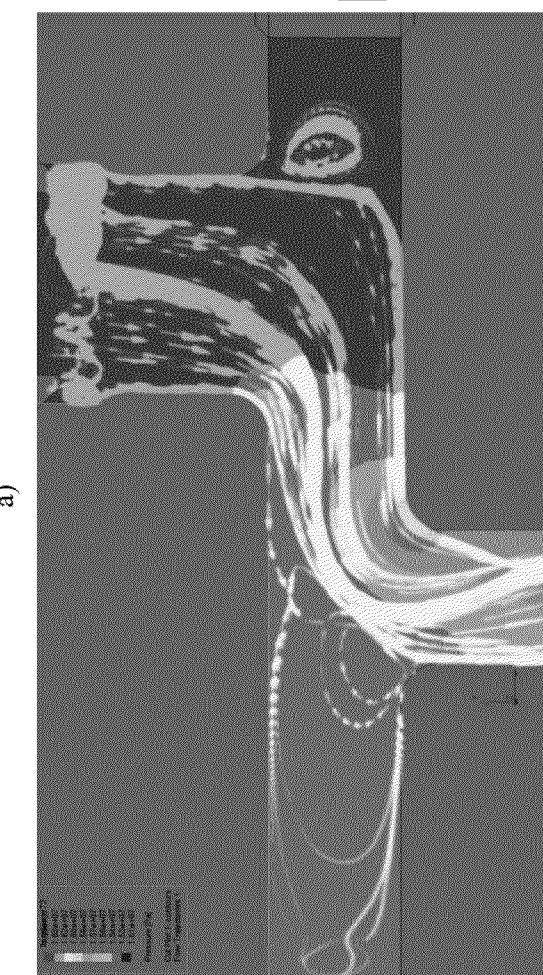


a)

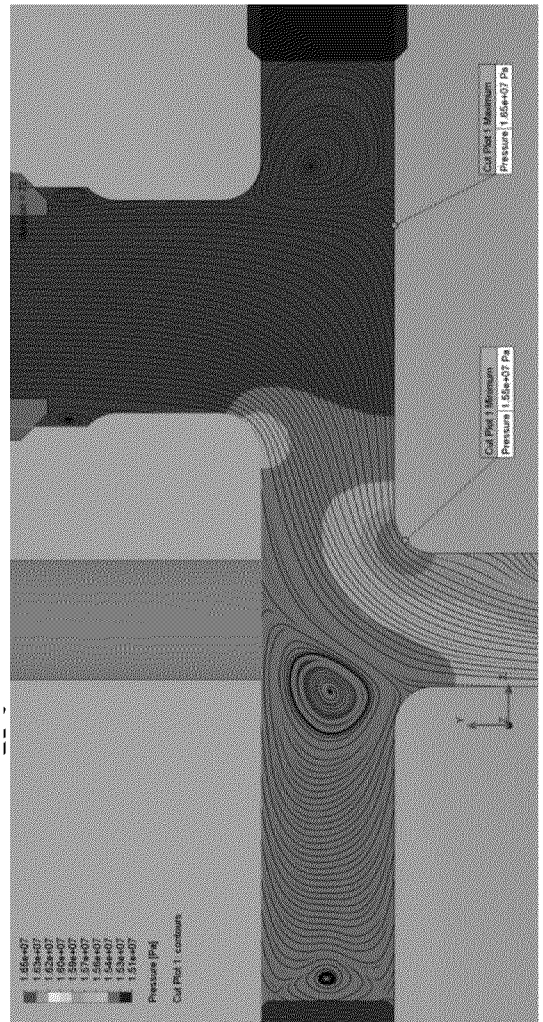


O'
x
y

a)



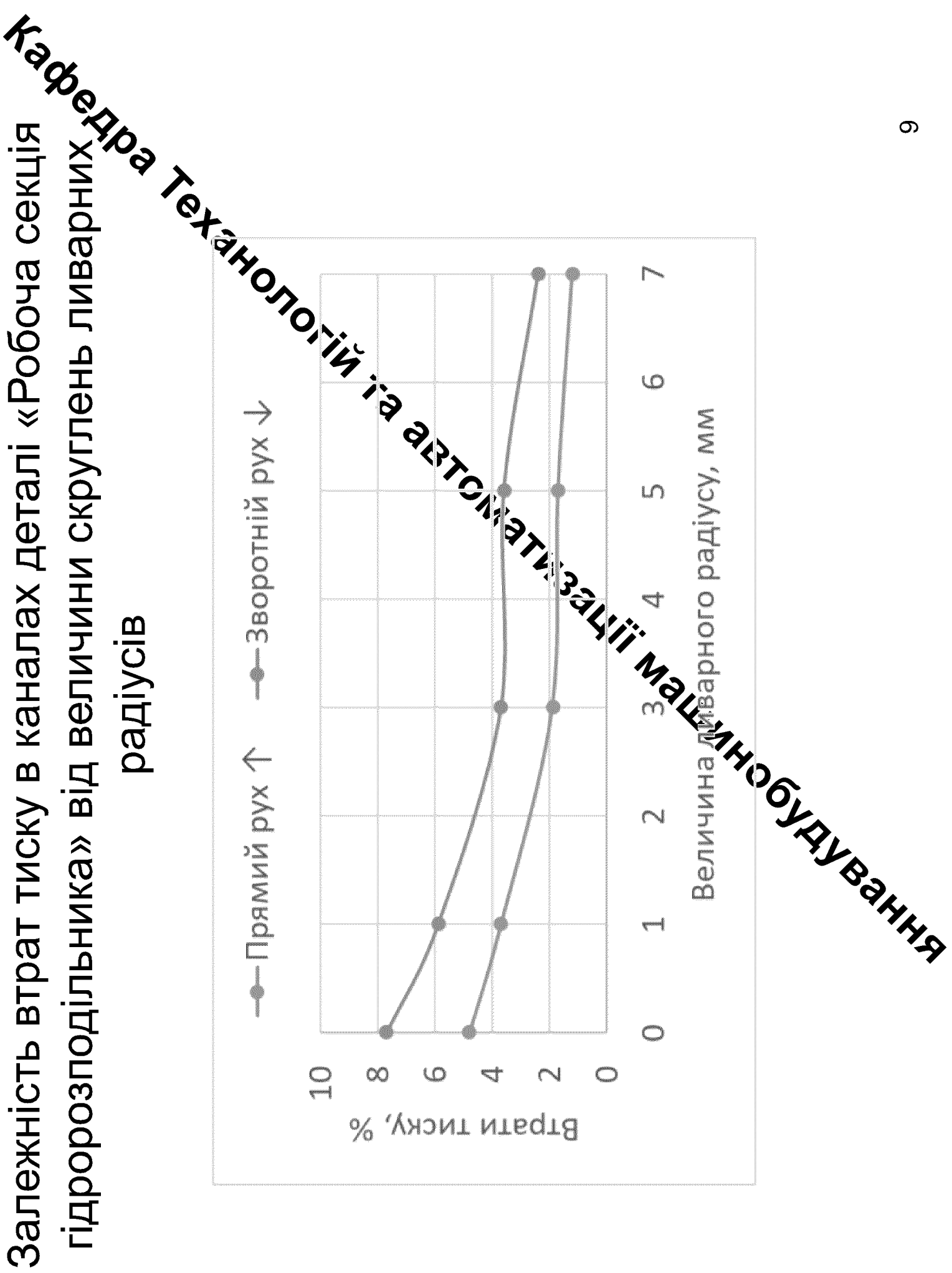
b)



b)

Рисунок 1 – Скрін анімації течії робочої рідини

Рисунок 2 – Розріз течії робочої рідини по середині каналу



Удосконалення деталі «Робоча секція гідророзподільника»

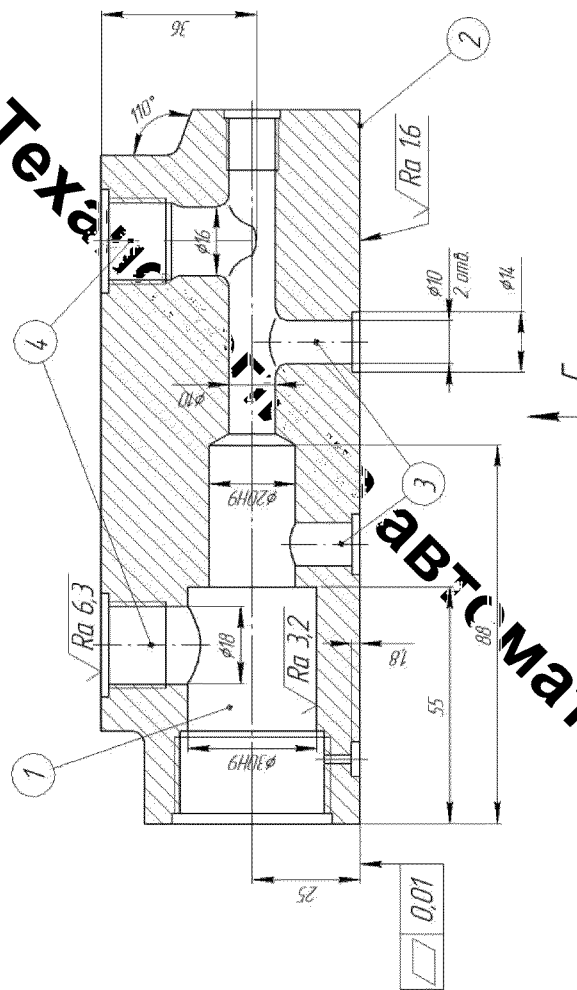
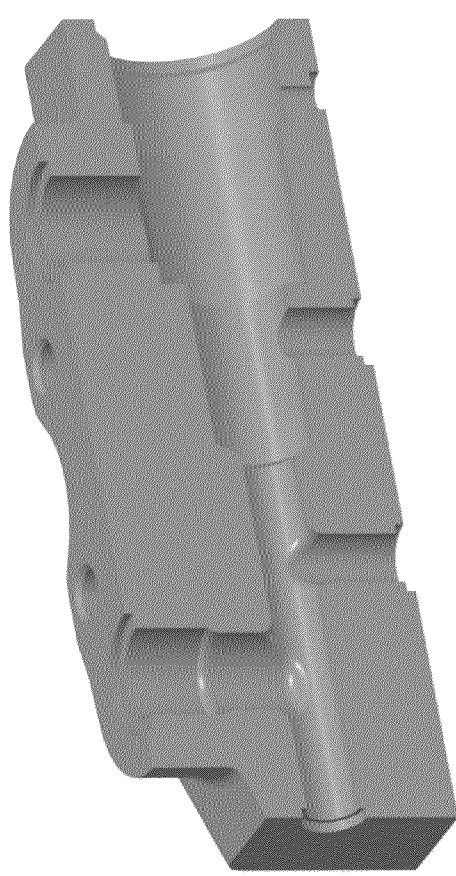


Рисунок 1 – Тривимірна модель
удосконаленої деталі «Робоча секція
гідророзподільника»

Удосконалення:

Зменшено місцеві втрати
тиску в каналах деталі «Робоча
секція гідророзподільника» з
7.7% до 3,7%.

Підвищено коефіцієнт
використання матеріалу з 65%
до 81%.

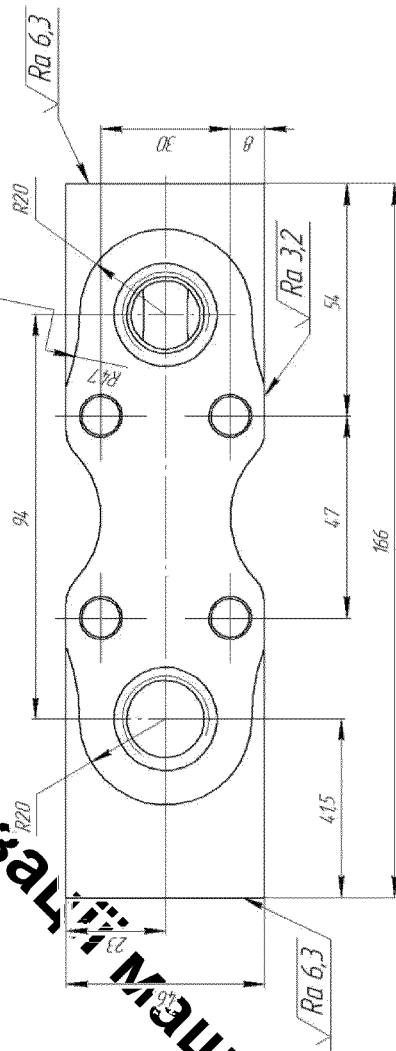


Рисунок 2 – Конструкція удосконаленої
деталі «Робоча секція гідророзподільника»

Маршрут механічної обробки

Схема установки деталі та ескіз обробки		Схема установки деталі та ескіз обробки															
№ операції	Найменування операції Зміст переходу	№ операції	Найменування операції Зміст переходу														
005	<p>Комбінована</p> <p>1. Чистовий / зварювання зварювальним методом 2. Пресування після відливки 1 і зварювання 5 з використанням фланцу 3. Демонтаж 4-ти отворів 2 з ультразвуковим фланцем 4. Свердлення 4 отворів 3 по кільцевій відповідності 5. Розмінка отворів 2/3 по кільцевій відповідності 6. Фрезерування підкладки 1 заспокоювача 7. Зварювання отворів 4 і оброблення на 20 діаметрів 10 мм. 8. Свердлення отворів 4 на 20 діаметрів 10 мм. 9. Свердлення отворів 2 з ультразвуковим методом 10. Зварювання</p>	015	<p>Комбінована</p> <p>1. Чистовий / зварювання зварювальним методом 2. Пресування після відливки 1 і зварювання 5 з використанням фланцу на 3. Зварювання 2 отворів 2/3 з ультразвуковим фланцем на 4. Канавки для фланца 5. Насадка для 4 6. Фрезерування підкладки 1 заспокоювача 7. Зварювання</p>														
010	<p>Токарно-револьверна з ЧПК</p> <p>Установка 1</p> <p>1. Чистовий / зварювання зварювальним методом 2. Гачкуючи під一经 2 з ультразвуковим методом 100/61,04 мм 3. Розмінка отворів 2 з ультразвуковим методом 85,5 мм 4. Гачкуючи під一经 2 з ультразвуковим методом 55,5 мм 5. Гачкуючи під一经 2 з ультразвуковим методом 35,5 мм 6. Розмінка отворів 2 з ультразвуковим методом 55,5 мм 7. Розмінка отворів 2 з ультразвуковим методом 35,5 мм 8. Розмінка отворів 2 з ультразвуковим методом 25,5 мм 9. Зварювання</p>	020	<p>Шлифувальна</p> <p>1. Чистовий / зварювання зварювальним методом 2. Шлифування під一经 1 з використанням 50/49,303% № 3. Зварювання</p>														
	<p>Установка 2</p> <p>1. Чистовий / зварювання зварювальним методом 2. Гачкуючи під一经 1 з ультразвуковим методом 16,7-26,05 мм 3. Розмінка отворів 2 з ультразвуковим методом 16,7-26,05 мм 3 з ультразвуковим фланцем 20 діаметрів 14 м 4. Гачкуючи під一经 1 заспокоювача 5. Насадка для 3 6. Зварювання</p>		<p>Фото-параметри деталей з таблиці 8.10</p> <table border="1"> <tr> <td>№</td><td>d</td><td>d_1</td><td>d_2</td><td>d_3</td><td>H</td><td>L</td></tr> <tr> <td>1</td><td>M2x15</td><td>80</td><td>125</td><td>135</td><td>4</td><td>%</td></tr> </table> <p>Нагадування: Використання відповідно до розміру H2 має $\pm \frac{1}{2}$</p>	№	d	d_1	d_2	d_3	H	L	1	M2x15	80	125	135	4	%
№	d	d_1	d_2	d_3	H	L											
1	M2x15	80	125	135	4	%											

Висновки

В ході виконання магістерської кваліфікаційної роботи (МКР) було уドосконалено конструкцію та технологічний процес обробки заготовки деталі «Робоча секція гідророзподільника» шляхом імітаційного моделювання, що забезпечило необхідні показники місцевих втрат тиску.

Під час роботи над першим розділом МКР було проведено аналіз конструкцій секційних гідророзподільників. Проведено огляд літературних джерел по дослідженням секційних гідророзподільників.

В другому розділі складено схему гідроприводу мобільної робочої машини на основі секційного гідророзподільника. Досліджено його розрахункову схему та математичну модель. А також знайдено основні параметри режимів роботи гідроприводу мобільної робочої машини.

В третьому розділі розглянуто алгоритм проведення імітаційного дослідження робочої рідини по каналах деталі «Робоча секція гідророзподільника». Зроблено підбір ливарних радіусів для покращення показника місцевих втрат тиску в каналах секційного гідророзподільника. Отриманий графік залежності що, показує різницю у місцевих втрахах тиску робочої рідини під час переходу від більшого діаметру каналі в менший і навпаки. Прийнято використовувати ливарні радіуси для заготовки деталі «Робоча секція гідророзподільника» більше 3 мм. Зменшення місцевих втрат тиску досягнуто від 7,7% до 3,7% в каналах деталі «Робоча секція гідророзподільника».

Удосконалено конструкцію деталі «Робоча секція гідророзподільника» шляхом зменшення не оброблюваних ділянок матеріалу. Це дозволило зменшити масу заготовки та покращити коефіцієнт використання матеріалу з 0,65 до 0,81.

Четвертому розділі МКР розроблено новий технологічний процес для обробки удосконаленої деталі «Робоча секція гідророзподільника». Він включає на 1 менше операцій, ніж в аналога, що покращує продуктивність виготовлення деталі, та зменшує її вартість.

П'ятому розділі МКР розраховано економічну доцільність виготовлення виробу в якому зазначено, що річний прибуток виробника складе більше 1009,15 тисяч гривень з терміном окупності за 3,23 роки.

В шостому розділі МКР розкрито питання з охорони праці та безпеки у надзвичайних ситуаціях. Проаналізовано всі умови праці присутніх в діяльності механічної обробки, включаючи: виробничу санітарію, пожежну безпеку, освітлення, шум і т.д. Також дія іонізуючих та електромагнітних випромінювання на електронні та електричні системи.